



รายงานการวิจัย

การศึกษาความเป็นไปได้ของการใช้เทคโนโลยีนิวเคลียร์ในการตรวจจับตุภูมาย ระเบิดและของผิดกฎหมาย

**Feasibility Study of Using Nuclear Technics in Explosive and
Contraband Detection**

ผู้วิจัย

หัวหน้าโครงการ

อาจารย์ พันเอก ดร. วรศิษย์ อุชัย

สาขาวิชาฟิสิกส์

สำนักวิชาวิทยาศาสตร์

มหาวิทยาลัยเทคโนโลยีสุรนารี

ได้รับทุนอุดหนุนการวิจัยจากมหาวิทยาลัยเทคโนโลยีสุรนารี ปีงบประมาณ พ.ศ. 2543
ผลงานวิจัยเป็นความรับผิดชอบของหัวหน้าโครงการวิจัยแต่เพียงผู้เดียว

กรกฎาคม 2546

กิตติกรรมประกาศ

ขอขอบคุณมหาวิทยาลัยเทคโนโลยีสุรนารีที่ให้เกียรติและประมายุคหันการวิจัยในครั้งนี้ และขอขอบคุณบุคคลที่มีส่วนช่วยในการวิจัยครั้งนี้ซึ่งประกอบไปด้วย Prof. Dr. Wang Chongqi จาก China Institute of Atomic Energy, China ที่ได้ทำการฝึกอบรมวิธีการใช้โปรแกรมคอมพิวเตอร์ MCNP ให้ คุณปริวรรต เสียงสนั่น สำนักงานพลังงานปรมาณูเพื่อสันติภาพ ที่ได้ให้คำแนะนำในการใช้โปรแกรม MCNP คุณสมหมาย ช่างเขียน นักศึกษาระดับปริญญาเอก และคุณนพดล ดีแท้ ผู้ช่วยสอน สาขาวิชาฟิสิกส์ สำนักวิชาวิทยาศาสตร์ มหาวิทยาลัยเทคโนโลยีสุรนารี ที่ได้ทำหน้าที่เป็นผู้ช่วยวิจัย

บทคัดย่อ

ในการวิจัยครั้งนี้ได้ทำการศึกษา 2 ประการคือ 1) ศึกษาถึงชนิดของเทคโนโลยีที่ใช้ในระบบตรวจวัดคุณภาพเบ็ดและของผิดกฎหมายที่มีอยู่ในปัจจุบัน และ 2) ศึกษาถึงความเป็นไปได้ของการใช้เทคโนโลยีทางนิวเคลียร์ในระบบตรวจวัดคุณภาพเบ็ดและของผิดกฎหมาย โดยมีวิธีการศึกษาดังนี้ (1) ในข้อ 1) ได้ทำการทบทวนวรรณกรรมชนิดต่าง ๆ ที่เกี่ยวข้องกับชนิดของเทคโนโลยีที่ใช้ในระบบตรวจวัดคุณภาพเบ็ดและของผิดกฎหมายที่มีอยู่ในปัจจุบัน และ (2) ในข้อ 2) ได้ใช้โปรแกรมคอมพิวเตอร์ MCNP เพื่อทำการจำลองการทำงานของระบบตรวจวัดคุณภาพเบ็ดและยาเสพติดที่ใช้เทคโนโลยี TNA โดยอาศัยระบบตรวจจราจรเป้าเดินทางที่ใช้ในการทดลองของ J. Bratko และ F. H. Ruddy เป็นต้นแบบ ผลการวิจัยพบว่า ณ ปัจจุบันนี้อาจแบ่งชนิดของระบบตรวจวัดคุณภาพเบ็ดและของผิดกฎหมายออกเป็น 2 ชนิด คือชนิดที่ไม่ใช้เทคโนโลยีทางนิวเคลียร์และชนิดที่ใช้เทคโนโลยีทางนิวเคลียร์ ชนิดแรกนั้นจะมีข้อดีที่มีราคาถูก ขนาดเล็ก และสามารถเคลื่อนที่ได้แต่มีข้อเสียที่ไม่สามารถตรวจวัดคุณภาพขนาดเล็ก ๆ หรือวัตถุระเบิดที่คัดแปลงรูปทรงได้ ส่วนชนิดหลังนั้นจะมีข้อดีที่สามารถตรวจวัดคุณภาพเบ็ดได้ทุกชนิด ไม่มีข้อจำกัดในด้านขนาดและรูปทรงของวัตถุระเบิด แต่มีข้อเสียที่มีภาระขนาดใหญ่ ราคาแพงและมีระดับรังสีที่สูงกว่า ในระบบตรวจวัดคุณภาพเบ็ดและของผิดกฎหมายทั้ง 2 ชนิดดังกล่าวแล้วสามารถแบ่งออกได้เป็นหลายประเภท เช่น ในกรณีของชนิดที่ไม่ใช้เทคโนโลยีทางนิวเคลียร์อาจแบ่งออกได้ 5 ประเภท คือ 1. ประเภทตรวจหาโลหะ 2. ประเภทตรวจหาสารเคมี 3. ประเภทตรวจหาคลื่น 4. ประเภทตรวจโดยใช้รังสีเอกซ์ และ 5. ประเภทตรวจโดยใช้คลื่นวิทยุ ส่วนชนิดที่ใช้เทคโนโลยีทางนิวเคลียร์นั้นอาจแบ่งออกได้เป็น 2 ประเภท คือ 1. ประเภทตรวจโดยใช้รังสีแกมมา และ 2. ประเภทตรวจโดยใช้ออนุภาคนิวตรอน สำหรับการจำลองการทำงานของระบบตรวจวัดคุณภาพเบ็ดและของผิดกฎหมายที่ใช้เทคโนโลยี TNA โดยอาศัยโปรแกรมคอมพิวเตอร์ MCNP นั้นพบว่ามีความสอดคล้องกับผลการทดลองของ J. Bratko และ F. H. Ruddy โดยสามารถตรวจพบวัตถุระเบิดที่ซุกซ่อนอยู่ในกระเบื้องเดินทางพร้อมทั้งบอกตำแหน่งของวัตถุระเบิดนั้นได้

Abstract

In this research two studies were done : 1) The study of type of technologies used in the Explosive and Contraband Detection System (ECDS) available today and 2) The study of feasibility of using nuclear technology in ECDS. The method of these studies are : (1) Various literatures relevant to ECDS were reviewed for article 1) and (2) The MCNP computer program was used to simulate the ECDS which used luggage inspection system from J. Bratko and F.H. Ruddy's experiment as simulation prototype. Research findings indicated that there are two kinds of ECDS's technologies : 1. Non-nuclear technology and 2. Nuclear technology. The first technology has advantages of being cheap price, small size and movable but has disadvantages of being unable to detect the small size explosive or explosive with irregular shape. For the second technology, it's advantages are the capability of detecting all kinds of explosive, no matter how big or small, and any kind of shape. However, it also has some disadvantages, namely, too large, too expensive and involves with higher level of radiation. In each kind of ECDS's technologies, it may be divided into different types. For example, the first kind can be divided into five types, depending of the detection method used : 1. Metal detection, 2. Chemical detection, 3. Canine detection, 4. X-ray detection, and 5. Radio wave detection. In case of the second kind, it may be divided into two types, depending of the kind of radiation used : 1. Gamma radiation and 2. Neutron radiation. For the simulation of the ECDS's TNA technology by using MCNP-computer program, the results showed that they agree with the results from the experiment of J. Bratko and F. H. Ruddy, by being able to identify the existence and position of explosive in the luggage.

สารบัญ

หน้า

กิตติกรรมประกาศ	ก
บทคัดย่อภาษาไทย	๖
บทคัดย่อภาษาอังกฤษ	๑
สารบัญ	๔
สารบัญตาราง	๗
สารบัญภาพ	๙
บทที่ 1 บทนำ	๑
บทที่ 2 ระบบตรวจคุณภาพเบ็ดเตล็ดและของผิดกฎหมายที่ไม่ใช้เทคโนโลยีทางนิวเคลียร์	๗
บทที่ 3 ระบบตรวจคุณภาพเบ็ดเตล็ดและของผิดกฎหมายที่ใช้เทคโนโลยีทางนิวเคลียร์	๑๗
บทที่ 4 การจำลองการทำงานของระบบตรวจคุณภาพเบ็ดเตล็ดและของผิดกฎหมาย โดยใช้โปรแกรมคอมพิวเตอร์มอดดิคาร์โด	๒๙
บทที่ ๕ การวิเคราะห์ผลการจำลองและสรุปผล	๔๙
บรรณานุกรม	๕๙
ประวัตินักวิจัย	๖๒

สารบัญตาราง

	หน้า
ตารางที่ 4.1 ข้อมูลป้อนเข้า (input data) สำหรับการจำลองเมื่อบรรจุระเบิด C-4 ขนาดใหญ่ไว้ที่ขอบล่างซ้ายของกระเป้าเดินทาง	38
ตารางที่ 4.2 ข้อมูลผลลัพธ์จากการจำลองเมื่อบรรจุผ้าใบ ผ้าขนสัตว์และผ้าในลอน ในกระเป้าเดินทาง	41
ตารางที่ 4.3 ข้อมูลผลลัพธ์จากการจำลองเมื่อบรรจุระเบิด C-4 ขนาดใหญ่ไว้ที่ ขอบล่างซ้ายของกระเป้าเดินทาง	42
ตารางที่ 4.4 ข้อมูลผลลัพธ์จากการจำลองเมื่อบรรจุระเบิด C-4 ขนาดกลางไว้ที่ ขอบล่างซ้ายของกระเป้าเดินทาง	43
ตารางที่ 4.5 ข้อมูลผลลัพธ์จากการจำลองเมื่อบรรจุระเบิด C-4 ขนาดกลางไว้ที่ กึ่งกลางของกระเป้าเดินทาง	44
ตารางที่ 4.6 ข้อมูลผลลัพธ์จากการจำลองเมื่อบรรจุระเบิด C-4 ขนาดกลางไว้ที่ ขอบบนขวาของกระเป้าเดินทาง	45
ตารางที่ 4.7 ข้อมูลผลลัพธ์จากการจำลองเมื่อบรรจุระเบิด C-4 ขนาดเล็กไว้ที่ กึ่งกลางของกระเป้าเดินทาง	46
ตารางที่ 4.8 ข้อมูลผลลัพธ์จากการจำลองเมื่อบรรจุระเบิด C-4 ขนาดใหญ่ กับผ้าขนสัตว์ไว้ที่ขอบล่างซ้ายของกระเป้าเดินทาง	47
ตารางที่ 4.9 ข้อมูลผลลัพธ์จากการจำลองเมื่อบรรจุระเบิด C-4 ขนาดกลางกับผ้าใบ ไว้ที่ขอบล่างซ้ายของกระเป้าเดินทาง	48
ตารางที่ 5.1 การเปรียบเทียบจำนวนรังสีแกรมนาทีวัดได้โดยหัววัดรังสีที่ 1 - 6 ในกรณีที่ บรรจุผ้าใบ ผ้าขนสัตว์และผ้าในลอนไว้ในกระเป้าเดินทาง	50
ตารางที่ 5.2 การเปรียบเทียบจำนวนรังสีแกรมนาทีวัดได้โดยหัววัดรังสีที่ 1 - 6 ในกรณีที่ บรรจุ C-4 ขนาดใหญ่ไว้ที่ขอบล่างซ้ายของกระเป้าเดินทาง	51
ตารางที่ 5.3 การเปรียบเทียบจำนวนรังสีแกรมนาทีวัดได้โดยหัววัดรังสีที่ 1 - 6 ในกรณีที่ บรรจุ C-4 ขนาดกลางไว้ที่ขอบล่างซ้ายของกระเป้าเดินทาง	52
ตารางที่ 5.4 การเปรียบเทียบจำนวนรังสีแกรมนาทีวัดได้โดยหัววัดรังสีที่ 1 - 6 ในกรณีที่ บรรจุ C-4 ขนาดกลางไว้ที่กึ่งกลางของกระเป้าเดินทาง	53
ตารางที่ 5.5 การเปรียบเทียบจำนวนรังสีแกรมนาทีวัดได้โดยหัววัดรังสีที่ 1 - 6 ในกรณีที่ บรรจุ C-4 ขนาดกลางไว้ที่ขอบบนขวาของกระเป้าเดินทาง	54

ตารางที่ 5.6 การเปรียบเทียบจำนวนรังสีแกรมมาที่วัดได้โดยหัววัดรังสีที่ 1 - 6 ในกรณีที่ บรรจุ C-4 ขนาดเล็กไว้ที่ตำแหน่งกึ่งกลางของกระเพาเดินทาง	55
ตารางที่ 5.7 การเปรียบเทียบจำนวนรังสีแกรมมาที่วัดได้โดยหัววัดรังสีที่ 1 - 6 ในกรณีที่ บรรจุ C-4 ขนาดใหญ่กับผ้าขนสัตว์ไว้ที่ขอบล่างซ้ายของกระเพาเดินทาง	56
ตารางที่ 5.8 การเปรียบเทียบจำนวนรังสีแกรมมาที่วัดได้โดยหัววัดรังสีที่ 1 - 6 ในกรณีที่ บรรจุ C-4 ขนาดกลางกับผ้าใหม่ไว้ที่ขอบล่างซ้ายของกระเพาเดินทาง	57

สารบัญภาพ

หน้า

รูปที่ 1.1 ความเสียหายของอาคารที่ทำการรัฐโอกาโญมาหลังจากถูกlobber ของระเบิด	1
รูปที่ 1.2 สำรวจอิสราเอลกำลังดับไฟที่เกิดจากระเบิดพลีชีพ	2
รูปที่ 1.3 การถูกกับระบะเบิดที่ฝังอยู่ใต้ดินขององค์กรเอกชน (NGO)	4
รูปที่ 2.1 เครื่องตรวจวัดถุรະเบิดประเภทตรวจหาโลหะ	8
รูปที่ 2.2 เครื่องตรวจวัดถุรະเบิดประเภทตรวจหาโลหะแบบมือถือ	8
รูปที่ 2.3 เครื่องตรวจระเบิดประเภทตรวจสารเคมี	10
รูปที่ 2.4 การฝึกสูนักคุมกลืนของวัตถุรະเบิดและยาเสพติด	11
รูปที่ 2.5 เครื่องตรวจวัดถุรະเบิดและยาเสพติดประเภทที่ใช้รังสีเอ็กซ์	12
รูปที่ 2.6 เครื่องตรวจวัดถุรະเบิดประเภทที่ใช้เทคโนโลยีของ Backscatter x-ray	14
รูปที่ 2.7 เครื่องตรวจวัดถุรະเบิดและยาเสพติดที่ใช้เทคโนโลยี CT	15
รูปที่ 2.8 เครื่องตรวจวัดถุรະเบิดและยาเสพติดประเภทที่ใช้เทคโนโลยี QR	16
รูปที่ 3.1 ภาพแท่งที่แสดงถึงสัดส่วน (%) ของ H , C , N และ O	17
รูปที่ 3.2 ค่าอัตราส่วน C/O ของวัตถุรະเบิด ยาเสพติด และของใช้ประจำวัน	18
รูปที่ 3.3 ขั้นตอนการทำงานของเครื่องตรวจวัดถุรະเบิด/ของผิดกฎหมาย ที่ใช้เทคโนโลยีทางนิวเคลียร์	19
รูปที่ 3.4 ระบบตรวจวัดถุรະเบิดและยาเสพติด VACIS-I	21
รูปที่ 3.5 สเปกตรัมของรังสีแกมมาที่เกิดจากระบบการตรวจระเบิดเดินทาง ที่ใช้เทคโนโลยี TNA	23
รูปที่ 3.6 เครื่องตรวจระเบิดเดินทางที่ใช้เทคโนโลยี TNA	23
รูปที่ 3.7 อุปกรณ์ในการทดลองของระบบ FNSA	25
รูปที่ 3.8 ภาพของ pulse height ที่เกิดขึ้นจากการกระเจิงของอนุภาคนิวตรอน เมื่อตกกระทบกับสารตัวอย่าง	26
รูปที่ 3.9 การเปรียบเทียบค่าที่ได้จากการวัด (จุค) และค่าคาดหวัง (เซสโตแกรม) ของสัดส่วนจำนวนอะตอมของสารตัวอย่าง	27
รูปที่ 3.10 ค่าความน่าจะเป็น (Probability) หรือโอกาสที่สารตัวอย่าง 3 ชนิด ที่นำมาทดสอบโดยวิธี FNSA	28
รูปที่ 4.1 ลักษณะและองค์ประกอบของระบบตรวจวัดถุรະเบิด/ของผิดกฎหมาย ที่ใช้ในการจำลอง	31

รูปที่ 4.2 รูปภาพตัวชี้วัดของระบบตรวจสอบเป้าเดินทาง	32
รูปที่ 4.3 ตัวແນ່ນ່າງຂອງຮະບບຂອງແຫ່ງກຳເນີດນິວຕອນ-ຫວັວດຮັງສືແກມນາ 9 ຕຳແນ່ນ່າງ ທີ່ຄຣອບຄລຸມໜ້າກວ້າງຂອງກະປົກປົກພອດີ	34
ຮູບທີ 4.4 ກະປົກປົກທີ່ບໍຣາຊຸ້ໄໝນ ພ້າບນສັກວົງ ແລະ ໄນລອນ	35
ຮູບທີ 4.5 ຕຳແນ່ນ່າງການວັດຖຸຮະເບີດໃນກະປົກປົກທີ່	36
ຮູບທີ 4.6 ກະປົກປົກທີ່ບໍຣາຊຸ້ອັນໃໝ່ປະຈຳວັນແລະວັດຖຸຮະເບີດໄວ້ທີ່ຂອບລ່າງໜ້າຍ	37

บทที่ 1

บทนำ

1.1 การก่อวินาศกรรมโดยใช้ระเบิด

ความขัดแย้งระหว่างประเทศ ระหว่างกลุ่มหรือระหว่างลัทธิ เป็นสาเหตุสำคัญอย่างหนึ่งของการก่อวินาศกรรมซึ่งสามารถกระทำได้หลายรูปแบบ ในยุคต้น ๆ นิยมใช้การจีเร็งบินโดยสาร โดยอาชญากรเป็นตัวประกันเพื่อเรียกร้องในสิ่งที่ต้องการในระยะหลังนิยมใช้การวางระเบิด ในการก่อระเบิดในร่องบิน 10 กว่าปีที่ผ่านมา ได้มีการลอบวางระเบิดตามสถานที่ต่าง ๆ หลายครั้ง ซึ่งแต่ละครั้งทำให้เกิดมีการสูญเสียห้าชีวิตและทรัพย์สินเป็นจำนวนมาก ในปี พ.ศ. 2528 เครื่องบินของสายการบินแอร์อินเดียถูกต่อต้านด้วยระเบิดในร่องบินจากกรุงมอนทรี-อล ประเทศแคนาดา ไปยังกรุงลอนדון ประเทศอังกฤษ ทำให้เครื่องบินล่มน้ำตกและมีผู้โดยสารเสียชีวิตถึง 329 คน ในปี พ.ศ. 2531 มีการลอบวางระเบิดในเครื่องบินอีกครั้ง โดยคราวนี้เป็นเครื่องบินของสายการบินแพนแอม (Pan Am) เที่ยวบินที่ 103 ที่ประเทศสกอตแลนด์ โดยคนร้ายชุดซ่อนระเบิดพลาสติกในเครื่องรับวิทยุ ซึ่งบรรจุอยู่ในกระเป๋าเดินทาง โดยปราศจากการตรวจพิสูจน์โดยเครื่องตรวจระเบิดเดินทางที่สนามบิน ระเบิดดังกล่าวเกิดระเบิดขึ้นในขณะที่เครื่องบินกำลังบินอยู่ในอากาศ ทำให้เครื่องบินล่มน้ำตกและมีผู้โดยสารเสียชีวิตจำนวน 270 คน เมื่อปี พ.ศ. 2537 มีคนร้ายใช้รถบรรทุกน้ำวัตถุระเบิดจำนวนมากมาคลุกคลอนบนทางเดินเข้าไปจอดในบริเวณอาคารที่ทำการของรัฐบาลโอกลากोมา ประเทศสาธารณรัฐอเมริกา และทำการจุดชนวนระเบิดจากระยะไกล ทำให้อาคารพังพินาศเกิดการสูญเสียอย่างมาก many มีผู้เสียชีวิตจำนวน 168 คน บาดเจ็บ 518 คน และทรัพย์สินเสียหายมูลค่ากว่า 100 ล้านเหรียญสหรัฐ รูปที่ 1 เป็นภาพความเสียหายของอาคารที่ทำการรัฐบาลโอกลากอมา หลังจากถูกคลอนบนทางเดิน

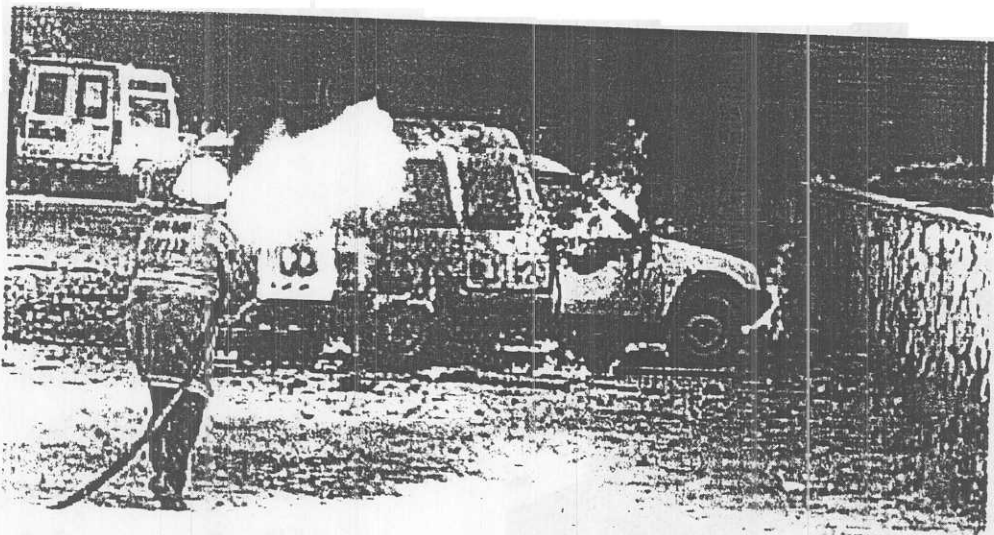


รูปที่ 1.1 ความเสียหายของอาคาร
ที่ทำการรัฐบาลโอกลากอมา
หลังจากถูกคลอนบนทางเดิน
โดยใช้รถบรรทุกน้ำวัตถุ
ระเบิดจำนวนมากไปจอด
ไว้ในบริเวณอาคารแล้วทำการ
จุดชนวนระเบิดจากระยะไกล
(ที่มา AP/Wide World Photos)

ความขัดแย้งในตะวันออกกลาง โดยเฉพาะระหว่างประเทศอิสราเอลและปาเลสไตน์ทำให้เกิดแฟชั่นใหม่ของการลอบวางระเบิด คือ “ระเบิดพลีซีพ” ซึ่งสามารถทำได้โดยง่ายในที่สาธารณะ เช่น บนรถบัสโดยสาร หรือในศูนย์การค้าต่าง ๆ เป็นต้น การลอบวางระเบิดในลักษณะนี้เป็นการยากที่จะป้องกันและทำให้รับภัยของประเทศอิสราเอล โทรศัพท์มือถือซึ่งมักจะตามมาด้วยการล้างแค้นอย่างรวดเร็วและรุนแรง ทั้งสองกรณี (ระเบิดพลีซีพและการล้างแค้น) มักจะทำให้ประชาชนที่ไม่เกี่ยวข้องหรือไม่รู้จักหนีรับกรรมเสมอ รูปที่ 1.2 เป็นภาพของเหตุการณ์ของระเบิดพลีซีพที่เมือง Yehud ประเทศอิสราเอล

การล้างแค้นต่อกลุ่มอัลกออิคที่ขับเครื่องบินชนตึกเวิร์ลเทรดและตึกแพนตามาอน ของประเทศสหรัฐอเมริกา เมื่อวันที่ 11 กันยายน พ.ศ. 2544 โดยการส่งกำลังทหารเข้าไปปล่าสมาชิกของกลุ่มดังกล่าวในอาฟغانิสถานนั้น ก่อให้เกิดผลลูกคามหรือการปฏิบัติการเอาคืนมายังทวีปเอเชียหลายครั้ง เช่น ในปี พ.ศ. 2545 ได้มีการลอบวางระเบิดสถานบันเทิง (Nightclub) บนเกาะบาหลี ซึ่งเป็นแหล่งท่องเที่ยวที่น้ำของโลกในประเทศอินโดนีเซีย ซึ่งทำให้มีผู้เสียชีวิตจำนวนมาก ในประเทศไทยเช่นเดียวกันมีการลอบวางระเบิดตามสถานที่ต่าง ๆ บ่อยครั้ง เช่น ในห้างโลตัส สถานีรถไฟหรือบนรถbus ไฟที่ภาคใต้ เป็นต้น

เหตุการณ์เหล่านี้ทำให้เกิดการสูญเสียทั้งชีวิตและทรัพย์สินของมวลมนุษยชาติเป็นอย่างมาก ซึ่งเป็นปัญหาที่ต้องได้รับการแก้ไขหรือทางป้องกันไม่ให้เกิดขึ้น



รูปที่ 1.2 ตำรวจอิสราเอลกำลังดับไฟที่เกิดจากระเบิดพลีซีพที่เมือง Yehud ประเทศอิสราเอล
(ที่มา www.guardian.co.uk)

1.2 การขนส่งของผิดกฎหมายข้ามชาติ

เป็นที่ทราบกันดีว่าในแต่ละวันมีการขนส่งสินค้าเป็นจำนวนมากทางอากาศข้ามพรมแดนทั้งระหว่างประเทศที่อยู่ติดกันและประเทศที่อยู่คนละทวีป แต่ละประเทศก็จะมีมาตรการตรวจสอบสินค้าที่ผิดกฎหมายนำเข้ามาอย่างประเทศของตน แต่เนื่องจากการนำเข้าสินค้ามีเป็นจำนวนมาก พร้อมกับเจ้าหน้าที่และเครื่องมือในการตรวจสอบสินค้ามีจำนวนจำกัด จึงทำให้ไม่สามารถตรวจสอบสินค้าได้ทุกชิ้น เป็นแต่เพียงส่วนตรวจสินค้านำเข้าชิ้นเท่านั้นเอง ดังนั้นจึงมีโอกาสที่สินค้าผิดกฎหมายจะเด็ดลอกเข้าประเทศได้ ถ้าสินค้าเหล่านี้เป็นสิ่งของเครื่องอุปโภคบริโภคที่ไม่เป็นภัยต่อสังคมก็อาจไม่มีผลกระทบมากนัก เพียงแต่เป็นการสูญเสียรายได้ของรัฐในรูปของภาษีศุลกากรเท่านั้น แต่ถ้าสินค้าเหล่านี้เป็นสิ่งที่เป็นภัยต่อสังคม โดยเฉพาะต่อความมั่นคงของประเทศ ก็จะเกิดผลกระทบอย่างมากนัก ยกตัวอย่างเช่น ยาเสพติด ซึ่งนอกจากจะเป็นภัยต่อสังคมและมีผลกระทบทางด้านความมั่นคงของประเทศแล้วยังทำให้เกิดความเสียหายทางเศรษฐกิจด้วย

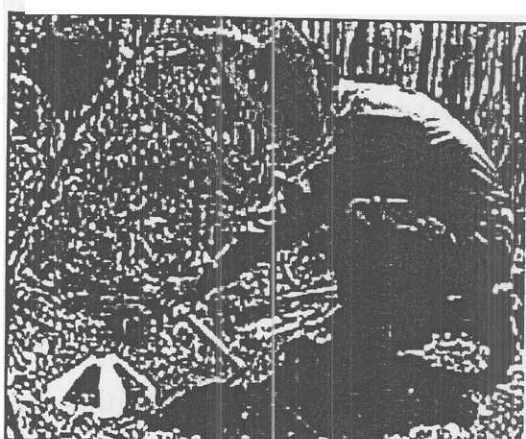
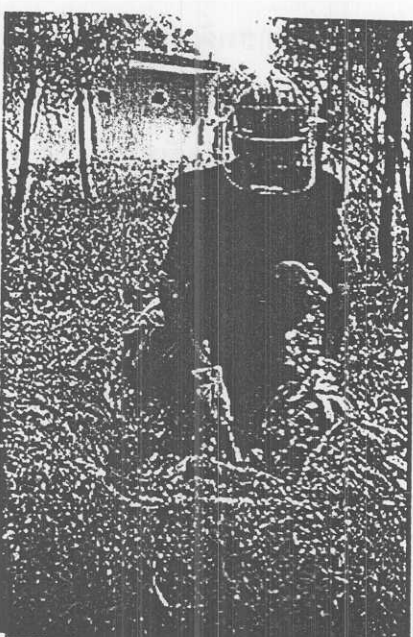
ในปัจจุบันนี้ตลาดทางการค้ายาเสพติดที่สำคัญ ๆ ก็คือประเทศไทยอุปโภคบริโภค เนื้อ ยุโรป และเอเชีย ซึ่งในแต่ละปีจะมีการนำยาเสพติดเข้าประเทศในทวีปเหล่านี้เป็นจำนวนมาก ต้นทางของการส่งยาเสพติดเข้าประเทศไทยเหล่านี้ก็มาจากหลายแห่ง มีทั้งจากทวีปอเมริกาใต้ ออฟริกาและเอเชีย ประเทศไทยก็เป็นที่รู้จักกันทั่วไปว่าเป็นศูนย์กลางของการส่งผ่านยาเสพติดที่ผลิตในเอเชียไปยังประเทศปลายทาง ดังนั้นจึงปรากฏว่ามีการจับกุมชาวต่างชาติในคดียาเสพติดอยู่เป็นจำนวนมาก ในปี พ.ศ. 2543 มีการจับกุมชาวต่างชาติในคดียาเสพติดจำนวน 2,678 คน ในคดีเหล่านี้ผู้กระทำการมีสัญชาติต่าง ๆ 63 สัญชาติ เช่น ลาว มาเลเซีย จีน กัมพูชา อังกฤษ เยอร์มัน ฝรั่งเศส อิตาลี สวีเดน อเมริกาและอสเตรเลีย เป็นต้น (1)

การแพร่กระจายหรือการค้ายาเสพติดภายในประเทศไทยนั้นมีความรุนแรงมากกว่าการส่งออกไปต่างประเทศอย่างมาก ในปี พ.ศ. 2543 มีการจับกุมคดียาเสพติดทั่วประเทศมากถึง 187,815 คน โดยมีผู้ต้องหาเกี่ยวข้องถึง 201,928 คน ชนิดของยาเสพติดที่เกี่ยวข้องมีหลากหลาย เช่น เอโรบิน เอ็กซ์เคซี ฟัน กัญชา แมทแอมเฟตามีน สารระเหย และอื่น ๆ ซึ่งมีน้ำหนักร่วมกันไม่ต่ำกว่า 90 ตัน (2) ในระยะหลัง ๆ นี้การค้ายาเสพติดในประเทศไทยนั้นจะเป็นพากยาบ้าหรือยากระตุ้นชนิดอื่น ๆ ซึ่งป้องกันหรือจับกุมได้ยาก ผลก็คือเยาวชนของชาติติดยาเสพติดอย่างมากน้ำ จนเป็นเหตุให้รัฐบาลภายใต้การนำของ พ.ต.ท. ดร. ทักษิณ ชินวัตร ประกาศสงวนยาเสพติดกับพ่อค้าและสารเคมี ได้ซึ่งถือเป็นผลงานชั้น上 ใบ้วัดของรัฐบาลเลขที่เดียว

ปัญหาของการแพร่กระจายของยาเสพติดดังกล่าวทำให้เกิดผลกระทบต่อประชาชนโลกเป็นอย่างมาก ประชาชนในแต่ละประเทศก่อภัยให้อำนาจของยาเสพติดมีเป็นจำนวนมากและในจำนวนนี้ส่วนใหญ่เป็นเยาวชน จึงทำให้ขาดกำลังสำคัญในการพัฒนาประเทศเหล่านี้

1.3 จำนวนกับระเบิดหลังสองครั้ง

ในยุคที่โลกแบ่งออกเป็น 2 ค่าย คือค่ายโลกเสรีและค่ายของโลกคอมมิวนิสต์นั้น ได้เกิด สงครามเย็นซึ่งมีการต่อสู้กันเป็นจำนวนมากทั้งระหว่างประเทศและระหว่างชนชาติเดียวกันที่นิยม ลัทธิต่างกัน ในระหว่างสงครามดังกล่าวแต่ละฝ่ายก็จะฟังกับระเบิดไว้ได้ดินตามท้องไร่ท้องนาหรือ ป่าเขาเป็นจำนวนมากเพื่อป้องกันตนเอง และเมื่อสงครามสงบส่วนหนึ่งของกับระเบิดเหล่านั้นก็ ยังคงอยู่ได้ดิน เป็นเหตุให้ประชาชนที่ไม่รู้อิโนนอีกหนึ่งพิการ (ส่วนใหญ่ขาด) เมื่อไปเหยียบกับ ระเบิดเหล่านั้นโดยบังเอิญ ในปัจจุบันมีองค์กรเอกชนต่าง ๆ (NGO) ได้พยายามทำการถูกกับระเบิดที่ ยังฟังอยู่ได้ดินในประเทศต่าง ๆ ทั่วโลก แต่ก็ยังคงไม่สามารถกำจัดให้หมดสิ้นไปได้ เพราะเหตุว่างาน ในการถูกกับระเบิดเป็นงานที่ยาก เสี่ยงอันตรายและมีกับระเบิดจำนวนมากเหลือเกิน รูปที่ 1.3 เป็นภาพ ของการถูกกับระเบิดที่ฟังอยู่ได้ดินในประเทศต่าง ๆ ทั่วโลกโดยองค์กรเอกชน (NGO) ในปัจจุบันนี้มี กับระเบิดที่ฟังอยู่ได้ดินในประเทศต่าง ๆ ทั่วโลกประมาณ 100 ล้านถูก และมีผู้เหยียบกับระเบิดโดย บังเอิญประมาณ 24,000 คนต่อปี ดังนั้นถ้าจะให้สามารถถูกกับระเบิดได้หมดโดยใช้คนหรือสัตว์อื่น ๆ เช่น วัว ไปเหยียบต้องใช้เวลาประมาณ 4,000 ปี (3)



รูปที่ 1.3 การถูกกับระเบิดที่ฟังอยู่ได้ดินในประเทศต่าง ๆ ทั่วโลกโดยองค์กรเอกชน (NGO)
(ที่มา www.clearpathinternational.org และ www.cnn.com)

1.4 พัฒนาการของระบบตรวจวัดอุตุระเบิดและของผิดกฎหมาย

จากปัญญาดังกล่าวแล้วใน 1.1 - 1.3 นั้น ย่อมเป็นเครื่องแสดงว่าระบบตรวจวัดอุตุระเบิดและของผิดกฎหมายที่มีอยู่นั้นยังไม่มีประสิทธิภาพเพียงพอ ดังนั้นจึงได้มีการพัฒนาระบบใหม่ ๆ ที่มีประสิทธิภาพสูงกว่าขึ้นมา การพัฒนาໄค์เริ่มขึ้นอย่างจริงจังหลังจากการณีเครื่องบินของสายการบินแพนแอรอนถูกกลบลงบนวงระเบิดในปี พ.ศ. 2531 เนื่องจากระบบตรวจวัดอุตุระเบิดและของผิดกฎหมายที่มีอยู่ในอดีตนั้นเป็นระบบที่อาศัยหลักการทำงานเคมี ทางคิลล์แม่เหล็กไฟฟ้า และทางการถ่ายภาพด้วยรังสีเอกซ์ ซึ่งเป็นหลักการที่อาศัยการตรวจหาส่วนประกอนอื่น ๆ ของวัตถุระเบิดและของผิดกฎหมายเป็นหลัก หรือกล่าวอีกนัยหนึ่งว่าไม่ได้ตรวจหาเนื้อของวัตถุระเบิดที่แท้จริง ดังนั้น จึงมีโอกาสเกิดความผิดพลาดค่อนข้างสูงหรือมีประสิทธิภาพในการตรวจพบค่อนข้างต่ำ ดังนั้นการพัฒนาระบบตรวจวัดอุตุระเบิดและของผิดกฎหมาย แบบใหม่จึงเน้นไปที่การตรวจหาเนื้อวัตถุระเบิดจริง ๆ เทคโนโลยีที่เหมาะสมอันหนึ่งสำหรับการตรวจในลักษณะนี้คือเทคโนโลยีทางนิวเคลียร์ซึ่งมีข้อดีที่สำคัญคือไม่มีการทำลายสิ่งที่ถูกตรวจ (non-destructive) มีอำนาจทะลุทะลวงสูง (high penetrability) และไม่ขึ้นกับรูปร่างของสิ่งที่ถูกตรวจ คุณสมบัติดังกล่าวจะเป็นที่ต้องการสำหรับระบบตรวจวัดอุตุระเบิดและของผิดกฎหมาย

อาจถือได้ว่าบริษัท Science Application International Corporation (SAIC) ซึ่งเป็นบริษัทในประเทศสหรัฐอเมริกาเป็นบริษัทแรกที่นำเสนอระบบตรวจวัดอุตุระเบิดและของผิดกฎหมายแบบใหม่นี้ โดยใช้เทคโนโลยีทางนิวเคลียร์ บริษัท SAIC ได้ทำการศึกษาวิจัยและพัฒนาต้นแบบและทดสอบการใช้งานของระบบตรวจวัดอุตุระเบิดและของผิดกฎหมาย ดังกล่าวในปี พ.ศ. 2523 ซึ่งสามารถทำงานได้ผลเป็นที่น่าพอใจในระดับหนึ่ง การวิจัยของบริษัท SAIC ครั้นนั้นได้รับการสนับสนุนงบประมาณในการวิจัยและพัฒนาจากกองบินพลเรือนของสหรัฐอเมริกา (The U.S. Federal Aviation Administration) เป็นจำนวนมหาศาล (4)

อย่างไรก็ตามยังมีปัญหาอีกหลายประการเกี่ยวกับการตรวจวัดอุตุระเบิดและของผิดกฎหมายของบริษัท SAIC ดังนั้นจึงได้มีการวิจัยและพัฒนาระบบอื่น ๆ มาอย่างต่อเนื่อง การวิจัยในครั้นนี้มีวัตถุประสงค์ 2 ประการ คือ

1. เพื่อศึกษาถึงพัฒนาการและชนิดของเทคโนโลยีที่ใช้ในระบบตรวจวัดอุตุระเบิดและของผิดกฎหมายที่มีอยู่ในปัจจุบันนี้
2. เพื่อศึกษาความเป็นไปได้ของการใช้เทคโนโลยีทางนิวเคลียร์ในระบบตรวจวัดอุตุระเบิดและของผิดกฎหมาย

ผู้วิจัยมีความคาดหวังว่า หลังจากการวิจัยครั้งนี้จะทราบว่า ณ ปัจจุบันนี้มีเทคโนโลยีที่ใช้ในระบบตรวจวัดอุณหภูมิและของพิคกูร์หมายอะไรมากขึ้น ข้อดี-ข้อเสียของเทคโนโลยีเหล่านี้คืออะไร นอกจากนั้นยังคาดหวังว่าจะได้ทราบถึงขีดความสามารถสามารถของระบบตรวจวัดอุณหภูมิและของพิคกูร์ที่ใช้เทคโนโลยีทางนิวเคลียร์

เนื่องจากระบบตรวจวัดอุณหภูมิและของพิคกูร์ที่มีอยู่ในปัจจุบันนี้อาจแบ่งออกได้เป็น 2 ชนิด คือ ชนิดที่ไม่ใช้เทคโนโลยีทางนิวเคลียร์และชนิดที่ใช้เทคโนโลยีทางนิวเคลียร์ ดังนั้น บทที่ 2 และบทที่ 3 จะกล่าวถึงรายละเอียดของเทคโนโลยีของระบบตรวจวัดอุณหภูมิทั้งสองชนิดนี้ โดยบทที่ 2 จะเป็นชนิดที่ไม่ใช้เทคโนโลยีทางนิวเคลียร์ ส่วนบทที่ 3 จะเป็นชนิดที่ใช้เทคโนโลยีทางนิวเคลียร์ ส่วนที่เหลือของรายงานฉบับนี้จะประกอบด้วยบทที่ 4 และบทที่ 5 โดยบทที่ 4 จะกล่าวถึงการจำลองการทำงานของระบบตรวจวัดอุณหภูมิและของพิคกูร์โดยใช้โปรแกรมคอมพิวเตอร์และบทที่ 5 จะกล่าวถึงการวิเคราะห์ผลการจำลองด้วยโปรแกรมคอมพิวเตอร์และสรุปผล

บทที่ 2

ระบบตรวจวัตถุระเบิดและของผิดกฎหมายที่ไม่ใช้เทคโนโลยีทางนิวเคลียร์

2.1 ประเภทของระบบตรวจวัตถุระเบิดและของผิดกฎหมายที่ไม่ใช้เทคโนโลยีทางนิวเคลียร์

เรามาแบ่งประเภทของระบบตรวจวัตถุระเบิดและของผิดกฎหมายชนิดที่ไม่ใช้เทคโนโลยีทางนิวเคลียร์ได้ดังนี้

1. ประเภทตรวจหาโลหะ
2. ประเภทตรวจหาสารเคมี
3. ประเภทตรวจหากลิ่น
4. ประเภทตรวจโดยใช้รังสีเอ็กซ์
5. ประเภทตรวจโดยใช้คลื่นวิทยุ

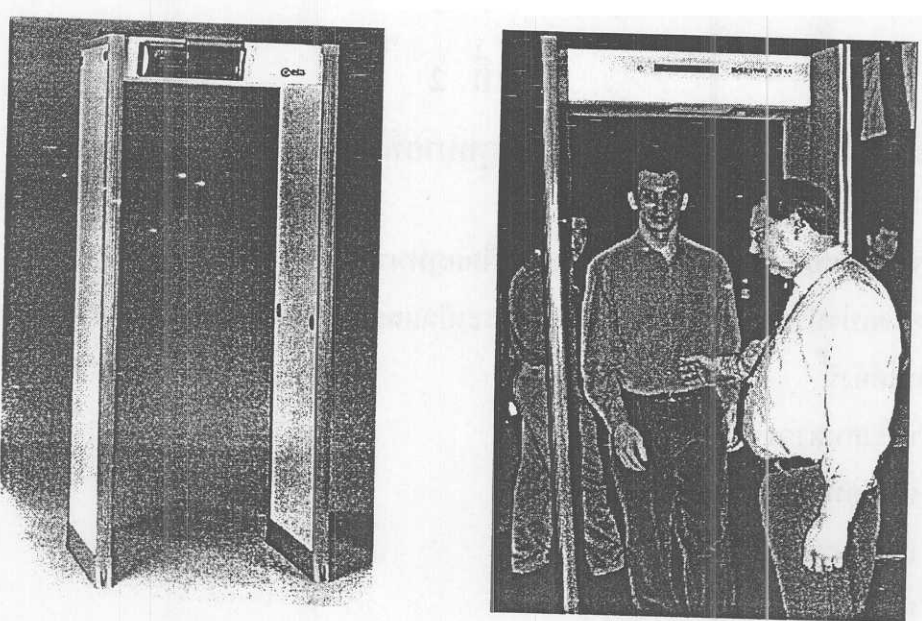
ในหัวข้อต่อไปนี้จะกล่าวถึงรายละเอียดของหลักการทำงาน ข้อดี - ข้อเสียและความเหมาะสมในการใช้งานของแต่ละประเภท

2.2 หลักการทำงานของระบบตรวจวัตถุระเบิดและของผิดกฎหมายแต่ละประเภท

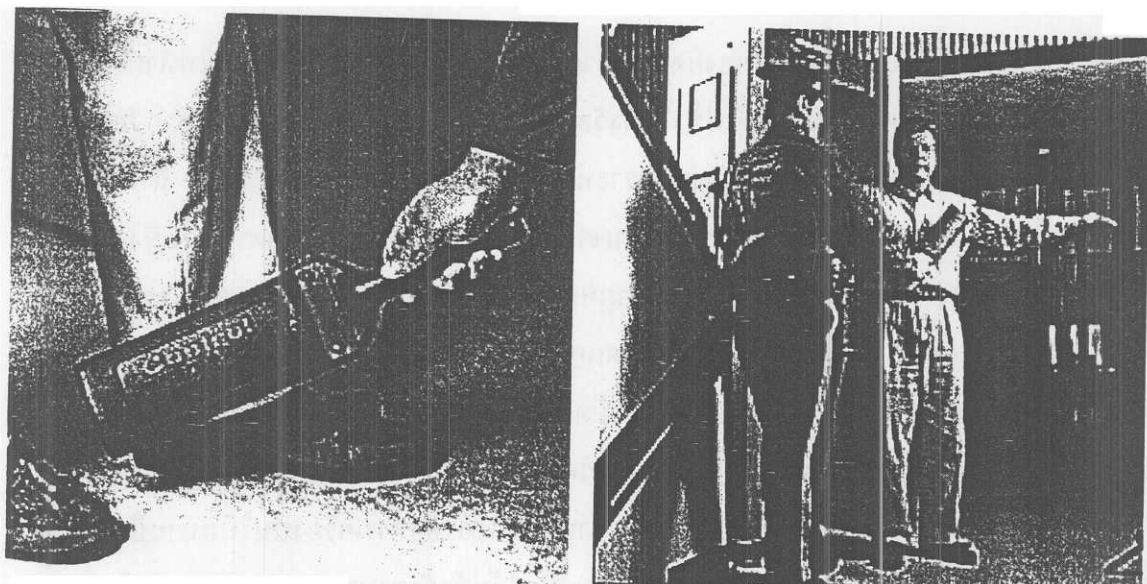
2.2.1 ประเภทตรวจหาโลหะ

ระบบตรวจวัตถุระเบิดและของผิดกฎหมาย ประเภทนี้จะใช้คลื่นแม่เหล็กไฟฟ้าเป็นสื่อในการตรวจโดยทำการยิงคลื่นแม่เหล็กไฟฟ้าไปยังวัสดุที่ต้องการตรวจ คลื่นที่สะท้อนจากวัสดุจะถูกตรวจจับโดยหัววัด (detector) แล้วทำการวิเคราะห์หาความยาวคลื่นของคลื่นสะท้อน ถ้าหากความยาวของคลื่นสะท้อนตรงกับค่าของคลื่นสะท้อนจากโลหะก็แสดงว่าวัสดุที่ถูกตรวจนั้นมีโลหะเป็นองค์ประกอบซึ่งอาจเป็นวัตถุระเบิดและของผิดกฎหมายก็ได้ เนื่องจากเครื่องประเภทนี้ตรวจหาโลหะซึ่งเป็นองค์ประกอบของวัตถุระเบิดและของผิดกฎหมายเท่านั้น จึงไม่ถือว่าเป็นเครื่องตรวจวัตถุระเบิดโดยตรง แต่เป็นเครื่องช่วยตรวจหาวัตถุระเบิด (Accessory to Explosive Detection)

เราจะใช้เครื่องประเภทนี้สำหรับตรวจวัตถุระเบิดและของผิดกฎหมาย ณ ประตูทางเข้าสถานที่สำคัญต่าง ๆ เช่น ห้องประชุมและทางเข้าห้องพักรอโดยสารเครื่องบินในสนามบินเป็นต้น เครื่องประเภทนี้นอกจากจะสามารถตรวจหาวัตถุระเบิดได้แล้วยังสามารถตรวจหาอาวุธชนิดอื่น ๆ เช่น ปืน มีด และของมีคมอื่น ๆ ได้อีกด้วย รูปที่ 2.1 เป็นภาพของเครื่องตรวจวัตถุระเบิดประเภทตรวจหาโลหะซึ่งนิยมใช้ ณ ทางเข้าสถานที่สำคัญต่าง ๆ รูปที่ 2.2 เป็นภาพของเครื่องตรวจหาวัตถุระเบิดประเภทตรวจหาโลหะชนิดมือถือ (hand held-metal detector)



รูปที่ 2.1 เครื่องตรวจวัตถุระเบิดประเภทตรวจหาโลหะซึ่งนิยมใช้ ณ ทางเข้าสถานที่สำคัญต่าง ๆ
(ที่มา www.academy.jccbi.gov)



รูปที่ 2.2 เครื่องตรวจวัตถุระเบิดประเภทตรวจหาโลหะแบบมือถือ
(ที่มา www.controlscreening.com)

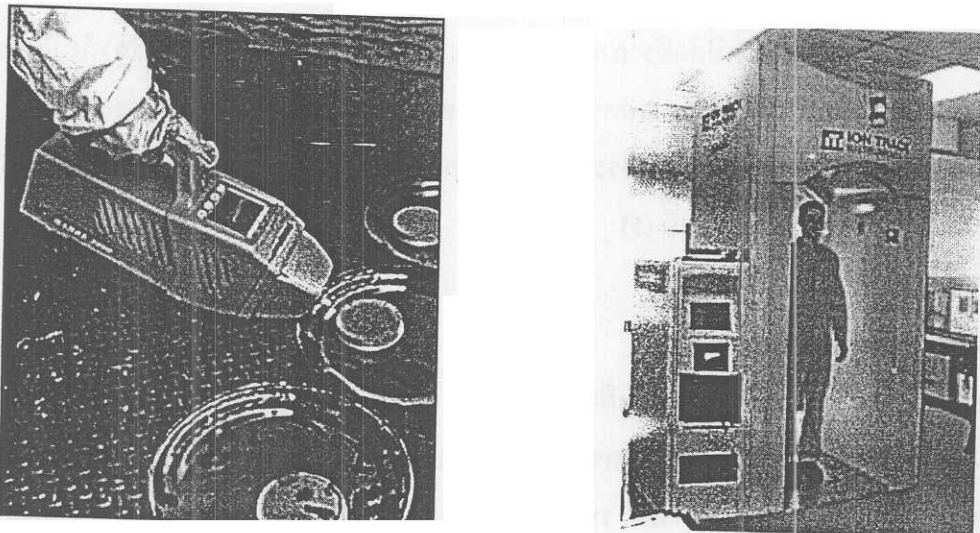
ข้อดีของเครื่องประเภทนี้คือมีราคาถูก (ประมาณ 2,000 - 20,000 เหรียญสหรัฐฯ) ไม่มีอันตรายในการใช้งานแต่ก็มีข้อเสียที่ไม่สามารถตรวจสอบหาวัตถุระเบิดที่ไม่มีโลหะเป็นองค์ประกอบได้ ในปัจจุบันนี้ถือได้ว่าเทคโนโลยีของเครื่องประเภทนี้ได้รับการพัฒนาถึงจุดสูงสุดแล้ว ไม่อาจพัฒนาให้มีประสิทธิภาพในการตรวจได้สูงกว่านี้ (5)

2.2.2 ประเภทตรวจหาสารเคมี

เครื่องตรวจวัตถุระเบิดและของพิษภัยหมายประเภทนี้จะตรวจสารเคมีที่เป็นเนื้อของวัตถุระเบิดและของพิษภัยหมาย โดยจะตรวจทางไอ (vapor) หรืออนุภาคขนาดเล็ก (microscopic particle) ซึ่งปลดปล่อยออกมานอกจากวัสดุที่ทำการตรวจสอบนั้น เนื่องจากไอหรืออนุภาคขนาดเล็กที่ปลดปล่อยออกมานี้มีปริมาณค่อนข้างมากจึงเป็นการยากที่จะตรวจพบและยากที่จะออกแบบให้เครื่องตรวจประเภทนี้มีประสิทธิภาพ ตัวอย่างเช่น วัตถุระเบิดที่ทำด้วยสารประกอบประเภท Ethylene Glycol Dinitrate (EGDN) ซึ่งถือเป็นวัตถุระเบิดที่มีปริมาณไอสูงสุดของคินระเบิดไคนามาต์ (dynamite) จะมีความดันไอ (vapor pressure) เพียง 64 ppm (6 ส่วนในอากาศ 10^6 ส่วน) ในกรณีของคินระเบิด Trinitro Toluene (TNT) ค่าความดันไออยู่ในช่วง 6 ppb (6 ส่วนในอากาศ 10^9 ส่วน) เท่านั้น สำหรับคินระเบิดประเภท Pentaery Tetranitrate (PETN) และ Cyclonite (RDX) ซึ่งเป็นวัตถุระเบิดที่มีอยู่ในวัตถุระเบิดชนิด Datasheet และ C-4 จะมีความดันไอเพียง 6 ppt (6 ส่วนในอากาศ 10^{12} ส่วน) เท่านั้น (6) ดังนั้นจึงเป็นการยากที่จะออกแบบให้เครื่องตรวจวัตถุระเบิดประเภทนี้มีประสิทธิภาพในการตรวจเท่ากับเครื่องตรวจวัตถุระเบิดประเภทอื่น ๆ

เทคโนโลยีที่ใช้ในเครื่องตรวจวัตถุระเบิดและของพิษภัยหมายประเภทนี้มีหลายแบบ เช่น Electron-Capture Detector (ECD), Chemiluminescence, Ion Mobility Spectrometry (IMS) และ Gas Chromatography/Surface Acoustic Wave (GC/SAW) เป็นต้น

เครื่องตรวจหาวัตถุระเบิดประเภทนี้จะสามารถตรวจหาวัตถุระเบิดได้หลายชนิด เช่น EGDN, NG, AN, TNT, RDX และ PETN เป็นต้น ข้อดีของเครื่องประเภทนี้คือมีขนาดเล็ก เคลื่อนที่ได้และมีราคาไม่สูงนักประมาณ 20,000 – 150,000 เหรียญสหรัฐฯ (6) แต่มีข้อเสียที่บางครั้งต้องทำการเปิดภาชนะหรือกล่องที่บรรจุสิ่งที่ต้องการตรวจ เพื่อให้สามารถตรวจหาไอของสารที่เป็นองค์ประกอบของวัตถุระเบิดในภาชนะนั้นได้อย่างมีประสิทธิภาพ เครื่องตรวจวัตถุระเบิดและของพิษภัยหมายประเภทตรวจหาสารเคมีนี้เหมาะสมสำหรับใช้ตรวจบุคคล เพราะไม่เป็นอันตรายต่อผู้ปฏิบัติงาน และในปัจจุบันนี้มีขายในท้องตลาดทั่วไปอยู่หลายแบบด้วยกัน เช่น Model 85 Entry Scan Portal, SecureScan Portal, Federal Aviation Administration/Sandia National Laboratories Portal และ ORION Walk-Through เป็นต้น รูปที่ 2.3 เป็นภาพของเครื่องตรวจประเภทตรวจหาสารเคมีซึ่งมีทั้งแบบเคลื่อนที่ได้ และแบบที่ใช้ตรวจคนที่ผ่านเข้าสถานที่สำคัญ



รูปที่ 2.3 เครื่องตรวจระเบิดประเภทตรวจสารเคมี (ก) แบบเคลื่อนที่ได้ และ (ข) แบบประจำที่ซึ่ง
เหมาะสมในการตรวจคนผ่านเข้า-ออกบริเวณที่สำคัญ (ที่มา www.bombdetection.com
และ www.mne.psu.edu)

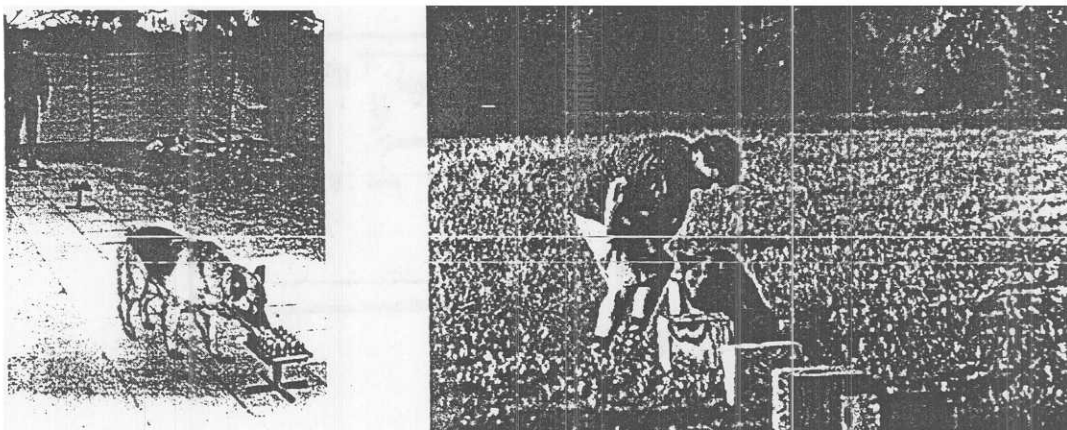
2.2.3 ประเภทตรวจหากลิ่น

สุนัขคอมกลิ่นจัดเป็นเทคโนโลยีในเครื่องตรวจวัตถุระเบิดและยาเสพติดประเภทหนึ่งซึ่งสามารถตรวจหาวัตถุระเบิดที่ซุกซ่อนอยู่ตามสถานที่ต่าง ๆ ได้โดยการคอมกลิ่น สุนัขคอมกลิ่นเป็นที่นิยมใช้ในหน่วยงานของรัฐที่รับผิดชอบทางด้านความมั่นคง เช่น หน่วยงานของทหารตรวจและหน่วยรักษาความปลอดภัย เป็นต้น กระทรวงกลาโหมของสหรัฐอเมริกาเป็นหน่วยที่ใช้สุนัขคอมกลิ่นมากที่สุดและเคยใช้ในสงครามต่างๆ ตั้งแต่สงครามโลกครั้งที่ 1 โดยใช้ในด้านการเฝ้าตรวจและลาดตระเวน ในปัจจุบันนี้กระทรวงกลาโหมสหรัฐ้มีสุนัขคอมกลิ่นประจำการอยู่ตามที่ต่างๆทั่วโลกประมาณ 13,000 ตัวและมากกว่า 500 ตัวที่สามารถตรวจวัตถุระเบิดได้ (7)

โดยหลักการเดี๋ยวนี้ว่าสุนัขคอมกลิ่นสามารถตรวจหาวัตถุระเบิดและยาเสพติดได้ทุกชนิดถ้าได้รับการฝึก และเป็นประเภทการตรวจหาวัตถุระเบิดและยาเสพติดที่ซุกซ่อนตามสถานที่ต่าง ๆ ที่มีประสิทธิภาพสูงสุดคือว่าระบบตรวจวัตถุที่มุ่ยสร้างขึ้นทุกชนิด ข้อดีของสุนัขคอมกลิ่นคือมีความคล่องตัวในการเคลื่อนที่ เพราะสุนัขสามารถเคลื่อนที่ไปได้ทุกจุดที่ผู้ควบคุมสามารถไปได้ แม้แต่จุดที่เป็นอันตราย เช่น สนามกับระเบิด (mine field) และสามารถสะกกรอหาตำแหน่งซุกซ่อนของวัตถุระเบิดและยาเสพติดได้ ข้อเสียของสุนัขคอมกลิ่นคือไม่สามารถปฏิบัติงานได้เป็นเวลานานโดยต่อเนื่อง โดยปกติจะปฏิบัติงานไม่เกิน 40-60 นาที ต้องหยุดพักดังนั้นจึงไม่เหมาะสมกับปฏิบัติการณ์ที่ใช้เวลานาน ๆ ข้อเสียอีกอย่างคือไม่สามารถบอกชนิดของวัตถุระเบิดหรือยาเสพติดที่ตรวจพบได้

นอกจากนี้การใช้สูนัขคอมกลืนยังมีข้อจำกัดในการตรวจวัตถุระเบิดและยาเสพติดที่ซุกซ่อนในคน เพราะอาจเป็นอันตรายต่อคนหรือทำให้คนตกใจกลัว

ค่าใช้จ่ายในการใช้สูนัขคอมกลืน ถือได้ว่าไม่สูงโดยประมาณด้วย ค่าจัดหาสูนัข ค่าฝึกค่าอาหารและค่าวรักษาป่วย ซึ่งตามมาตรฐานของสหรัฐอเมริกา จะมีค่าจัดหาสูนัขอยู่ระหว่าง 5,000-10,000 เหรียญสหรัฐ ค่าฝึกสูนัขอยู่ระหว่าง 6,000-12,000 เหรียญสหรัฐ ค่าอาหารประมาณ 1,000 เหรียญสหรัฐต่อปีและค่าวรักษาป่วย 600 เหรียญสหรัฐต่อปี (7) รูปที่ 2.4 เป็นภาพของสูนัขที่กำลังได้รับการฝึกให้คอมกลืน

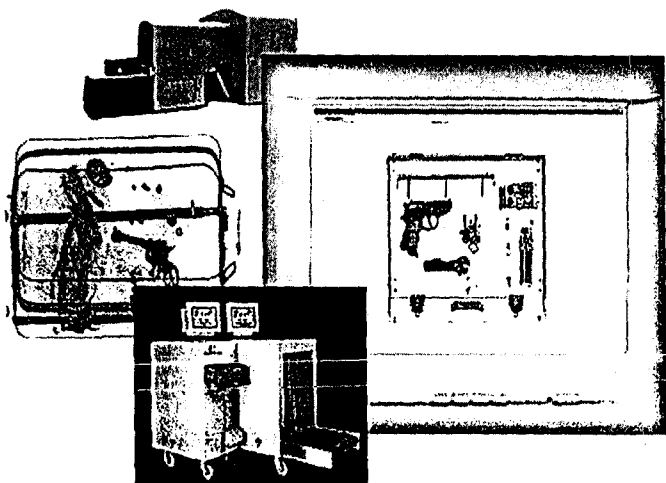


รูปที่ 2.4 การฝึกสูนัขคอมกลืนของวัตถุระเบิดและยาเสพติด (ที่มา www.hdic.jmu.edu และ www.kernel101.com)

2.2.4 ประเภทตรวจโดยใช้รังสีเอ็กซ์

เทคโนโลยีในการตรวจวัตถุระเบิดโดยใช้รังสีเอ็กซ์นี้เป็นเทคโนโลยีที่ทำการตรวจวัสดุทั้งก้อนเพื่อหาค่าสัมประสิทธิ์บางอย่างที่เป็นสมบัติของวัสดุนั้น ทั้งนี้เพื่อที่จะวินิจฉัยว่ามีวัตถุระเบิดอยู่ในวัสดุที่ทำการตรวจหรือไม่ การตรวจกระทำโดยการฉายรังสีเอ็กซ์จากไปยังวัสดุที่ต้องสงสัยนั้นแล้วทำการวัดปริมาณรังสีเอ็กซ์ที่ทะลุผ่านหรือสะท้อนกลับ จากปริมาณรังสีเอ็กซ์ที่ทะลุผ่านหรือสะท้อนกลับจะสามารถหาค่าสัมประสิทธิ์ที่เกี่ยวข้องกับสมบัติของวัสดุที่ถูกตรวจได้ เช่น ค่าสัมประสิทธิ์การดูดกลืน (absorption coefficient) ค่าสัมประสิทธิ์ของการสะท้อนกลับ (backscatter coefficient) และค่าสัมประสิทธิ์การทะลุผ่าน(transmission coefficient) เป็นต้น จากค่าเหล่านี้จะสามารถคำนวณหาค่าที่เกี่ยวข้องกับสมบัติของสารที่เป็นองค์ประกอบของวัสดุที่ถูกตรวจ เช่น มวลความหนาแน่น ปริมาณของไนโตรเจน และค่าเลขอะตอมบั้งพล (effective atomic number) เป็นต้น ค่าเหล่านี้จะถูกนำมาใช้ในการแปลงเป็นภาพดำของวัสดุที่ถูกตรวจซึ่งสามารถแสดงรูปร่างพร้อม

ตีสันบนจอกคอมพิวเตอร์ให้ผู้ควบคุมทำการวินิจฉัยได้ รูปที่ 2.5 เป็นภาพของเครื่องตรวจวัตถุระเบิด และของผิดกฎหมายประเกทที่ใช้รังสีเอ็กซ์ซึ่งสามารถแสดงลักษณะภาพให้ปรากฏในจอกคอมพิวเตอร์ ถ้าผู้ควบคุมได้รับการฝึกอบรมในด้านการอ่านภาพจะสามารถวินิจฉัยได้ว่าวัสดุที่ถูกตรวจนั้นมีวัตถุระเบิดหรืออาชุธหรือไม่ เทคโนโลยีที่ใช้ในเครื่องตรวจวัตถุระเบิดประเภทนี้มีหลายแบบ เช่น Transmission/Dual-Energy X-Ray, Backscatter X-Ray และ Computed Tomography เป็นต้น หัวข้อต่อไปนี้จะกล่าวถึงรายละเอียดของหลักการทำงาน ข้อดี-ข้อเสีย ของแต่ละแบบ



รูปที่ 2.5 เครื่องตรวจวัตถุระเบิดและยาเสพติดประเภทที่ใช้รังสีเอ็กซ์ซึ่งสามารถแสดงลักษณะภาพให้ปรากฏบนจอกคอมพิวเตอร์

1) Transmission / Dual-Energy X-Ray

การใช้รังสีเอ็กซ์พลังงานเดียวเพื่อด้วยภาพวัสดุในแนวเดี่นตรงที่รังสีเดินทางผ่านนั้นจะได้ภาพของวัตถุชนิดเดียวไม่ว่าวัสดุที่ถูกด้วยภาพนั้นจะประกอบด้วยวัตถุชนิดเดียวหรือหลายชนิด ดังนั้นเครื่องตรวจวัตถุระเบิดที่ใช้รังสีเอ็กซ์พลังงานเดียวจึงไม่สามารถแยกแยะความแตกต่างของวัตถุ 2 ชนิดได้ แต่ถ้าใช้รังสีเอ็กซ์ 2 พลังงาน (dual-energy-x-ray) จะทำให้ได้ภาพที่สามารถแยกวัตถุ 2 ชนิด ออกจากกันได้ ทั้งนี้ เพราะค่าสัมประสิทธิ์ของการดูดกลืนรังสีของวัตถุ ขึ้นอยู่กับพลังงานของรังสีเอ็กซ์

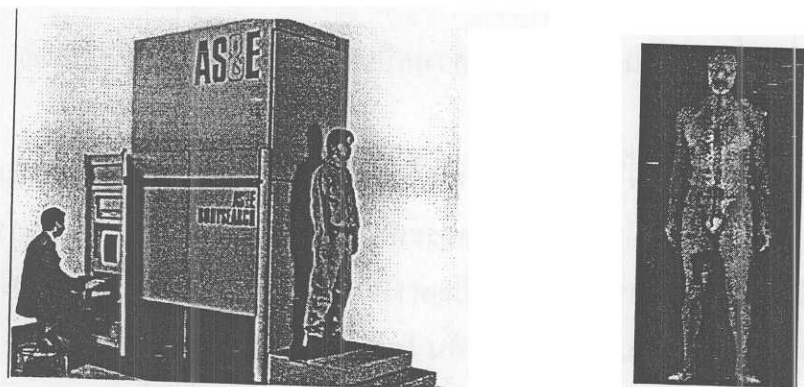
อย่างไรก็ตามการอาศัยรังสีเอ็กซ์ที่มี 2 พลังงานอย่างเดียวโดยไม่คำนึงถึงทิศทางการฉายรังสีเอ็กซ์ทั้งสองนั้นก็จะไม่สามารถแยกวัตถุระเบิดออกจากวัสดุชนิดอื่น ๆ ได้เช่นกัน ทั้งนี้ เพราะว่าวัตถุระเบิดส่วนใหญ่ประกอบด้วยธาตุที่มีเลขอะตอมต่ำ (low atomic number) ซึ่งไม่ค่อยทำอันตราริษากับรังสีเอ็กซ์ ดังนั้นค่าสัมประสิทธิ์ต่างๆที่วัดได้จะไม่ค่อยถูกต้อง ซึ่งจะส่งผลให้การคำนวณค่าเลข

จะต้องยังคงของวัสดุที่ถูกตรวจสอบไม่ค่อยตรงตามความเป็นจริง และจะได้ภาพ (image) ที่ไม่สะท้อนความเป็นจริง

วิธีนี้ที่จะสามารถแก้ปัญหานี้ได้คือต้องทำให้เครื่องตรวจวัดถูกระเบิดสามารถวัดความหนาของวัสดุที่ถูกตรวจสอบ แต่โชคไม่ดีที่เครื่องตรวจวัดถูกระเบิดที่ใช้เทคโนโลยีชีนิคก็ไม่สามารถวัดความหนาของวัสดุได้ ดังนั้นวิธีดังกล่าวจึงไม่อาจแก้ปัญหาได้ วิธีการที่แก้ไขปัญหานี้คือต้องทำให้รังสีเอ็กซ์ 2 พลังงานนั้นอยู่ในแนวแกน 2 แกนที่ต่างกัน โดยแต่ละแกนทำมุม 90 องศาต่อกัน วิธีนี้จะทำให้ได้ค่าสัมประสิทธิ์ต่างๆที่ใช้ในการคำนวณหาค่าเฉลี่ยของความยังคงของวัสดุที่ทำการตรวจสอบ มีผลลัพธ์ที่ใกล้เคียงความเป็นจริงซึ่งทำให้สามารถวินิจฉัยได้ถูกต้องมากขึ้น (8) อย่างไรก็ตาม หลักการวินิจฉัยของเครื่องตรวจวัดถูกระเบิดชนิดนี้ยังไม่แน่นอน เพราะไม่ได้วินิจฉัยว่ามีวัตถุระเบิดหรือไม่แต่จะวินิจฉัยว่ามีวัตถุที่มีลักษณะคล้ายวัตถุระเบิดหรือเปล่าเท่านั้นเอง

2) Backscatter X-Ray

เครื่องตรวจวัดถูกระเบิดชนิดนี้จะใช้เทคโนโลยีการสร้างภาพถ่ายโดยอาศัยสัญญาณจากการสะท้อนกลับของรังสีเอ็กซ์ (backscatter x-ray) ร่วมกับสัญญาณการทะลุผ่าน (transmission-x-ray) ในลักษณะนี้จะได้ภาพของวัสดุที่ถูกตรวจสอบจากสัญญาณทั้งสองชนิดที่มีลักษณะแตกต่างกัน ทั้งนี้เนื่องจากสัญญาณทั้งสองทำอันตราริบิกับวัตถุแตกต่างกัน โดยภาพที่ได้จากสัญญาณการสะท้อนกลับของรังสีเอ็กซ์จะมีสีสันที่สว่างขึ้นมากกว่าภาพที่ได้จากสัญญาณการทะลุผ่าน เนื่องจากรังสีเอ็กซ์จะสะท้อนกลับได้ดีเมื่อต้องกระทบกับวัสดุที่ประกอบด้วยธาตุที่มีเลขอะตอมต่ำๆ และบังเอิญวัตถุระเบิดก็ประกอบด้วยธาตุที่มีเลขอะตอมต่ำๆ ดังนั้นภาพที่เกิดจากสัญญาณการสะท้อนกลับของรังสีเอ็กซ์ก็คือภาพที่เกิดจากรังสีเอ็กซ์กระทบกับวัตถุที่น่าจะเป็นวัตถุระเบิดนั้นเอง เมื่อเปรียบเทียบลักษณะภาพที่เกิดจากสัญญาณการทะลุผ่านกับภาพที่เกิดจากสัญญาณการสะท้อนกลับจะทำให้สามารถวินิจฉัยได้ว่าวัสดุที่ถูกตรวจสอบนั้น เป็นวัตถุระเบิดหรือไม่ รูปที่ 2.6 เป็นภาพที่เกิดจากเครื่องตรวจวัดถูกระเบิดและยาเสพติดที่ใช้เทคโนโลยี Backscatter x-ray ซึ่งสามารถใช้ตรวจหาวัตถุระเบิดและของผิดกฎหมายที่ซุกซ่อนภายในได้แม่นยำมาก (9)(10) อย่างไรก็ตามในกรณีที่มีวัสดุอื่นๆ ที่มีเลขอะตอมสูง วางอยู่ด้านหลังของวัตถุระเบิดอย่างหนาแน่นก็จะเกิดปัญหาในการวินิจฉัยอยู่ดี ทั้งนี้เพราะว่าภาพที่ได้จากสัญญาณการสะท้อนกลับไม่มีความแตกต่างจากภาพของสัญญาณการทะลุผ่าน ดังนั้นจึงต้องแก้ไขโดยการใช้ชุดถ่ายภาพ 2 ชุด วางอยู่ในแนวตรงกันข้าม ในลักษณะเช่นนี้ภาพถ่ายที่ได้จากสัญญาณการสะท้อนกลับจะแสดงให้เห็นความแตกต่างกับภาพที่ได้จากสัญญาณการทะลุผ่านซึ่งทำให้สามารถวินิจฉัยได้อย่างถูกต้องมากขึ้น



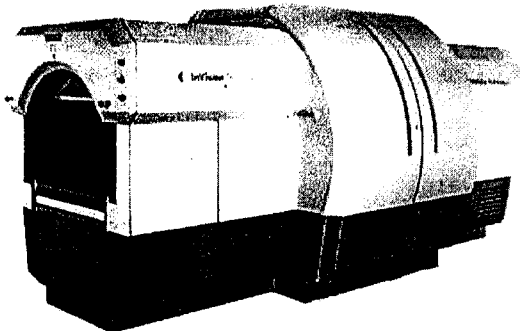
รูปที่ 2.6 ภาพที่เกิดจากการใช้เครื่องตรวจวัตถุระเบิดประเภทที่ใช้เทคโนโลยีของ Backscatter x-ray ซึ่งสามารถแสดงให้เห็นว่ามีการซุกซ่อนอาวุธและของผิดกฎหมายได้รุ่นผ้า
(ที่มา www.as-e.com)

3) Computed Tomography (CT)

CT เป็นเทคโนโลยีของการถ่ายภาพสองมิติของวัสดุที่ถูกตรวจสอบโดยอาศัยรังสีเอ็กซ์ที่ทะลุผ่าน ภาพที่ได้จะเป็นภาพของหน้าตัด (cross section) ของวัสดุที่ถูกตรวจสอบในแนวนอนเดินของรังสีเอ็กซ์ เมื่อทำการถ่ายภาพของหน้าตัดต่าง ๆ ที่อยู่ติดกันจำนวนมาก ๆ แล้วใช้คอมพิวเตอร์ทำการรวมภาพสองมิติของแต่ละหน้าตัดที่อยู่ติดกันเข้าด้วยกันจะกลายเป็นภาพสามมิติของวัสดุที่ถูกตรวจสอบ เทคโนโลยีดังกล่าวจะชัดเจนปัญหาในการวินิจฉัยถึงความแตกต่างของวัสดุที่ต้องสงสัยจากวัสดุอื่น ๆ ที่อยู่รอบ ๆ ทั้งนี้ เพราะภาพที่ได้เกิดจากการแปลงค่าสัมประสิทธิ์ของการคูณกันรังสีของวัตถุในแต่ละหน้าตัดของวัสดุที่ถูกตรวจสอบซึ่งจะสะท้อนความเป็นจริงมากขึ้น (11)(12)

ดังได้กล่าวมาแล้วว่าวัตถุระเบิดส่วนใหญ่จะประกอบด้วยชาตุที่มีเลขอะตอมต่ำๆ ดังนั้นแม้เครื่องตรวจวัตถุระเบิดชนิดนี้จะสามารถวัดเลขอะตอมบั้งผลของวัสดุที่ถูกตรวจสอบได้ตรงความเป็นจริงและถ้าตรวจพบว่าวัสดุที่ต้องสงสัยมีเลขอะตอมต่ำๆ ไม่ได้หมายความว่าวัสดุนั้นจะเป็นวัตถุระเบิดเสมอไปทั้งนี้ เพราะสิ่งของอื่นๆ ที่ปะปนอยู่ก็อาจประกอบด้วยวัตถุที่มีเลขอะตอมต่ำ เช่นเดียวกัน ดังนั้นจึงต้องใช้ข้อมูลอื่นๆ เพื่อประกอบการวินิจฉัยให้แม่นยำขึ้น เช่น ข้อมูลความหนาแน่น เป็นต้น

นับเป็นความโชคดีที่วัตถุระเบิดจะมีความหนาแน่นแตกต่างจากสิ่งของอื่นๆ ดังได้กล่าวมาแล้วและเครื่องตรวจวัตถุระเบิดชนิดนี้ สามารถวัดความหนาแน่นของวัสดุที่ถูกตรวจสอบได้ดังนั้นจึงสามารถใช้ข้อมูล 2 อย่างนี้ประกอบการวินิจฉัยซึ่งทำให้สามารถวินิจฉัยได้อย่างถูกต้อง ข้อดีของเครื่องตรวจวัตถุระเบิดชนิดที่ใช้เทคโนโลยี CT นี้นอกจากจะสามารถวินิจฉัยได้อย่างถูกต้องแล้ว ยังสามารถทำงานได้อย่างขัดโน้มติดแต่เมื่อข้อเสียคือ ราคาสูง ระดับรังสีเอ็กซ์ที่ใช้สูงและใช้เวลาในการตรวจงาน รูปที่ 2.7 แสดงภาพของเครื่องตรวจระเบิดและของผิดกฎหมายที่ใช้เทคโนโลยี CT



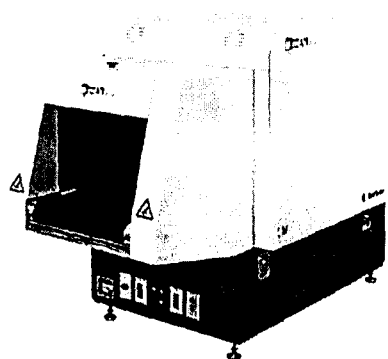
รูปที่ 2.7 เครื่องตรวจวัดถูรณะเบิดและของผิดกฎหมายที่ใช้เทคโนโลยี CT ที่ผลิตโดยบริษัท Invision Technologies ประเทศสหรัฐอเมริกา

2.2.5 ประเภทตรวจโดยใช้คลื่นวิทยุ

เครื่องตรวจวัดถูรณะเบิดและของผิดกฎหมายที่ใช้เทคโนโลยีประเภทนี้จะอาศัยหลักการของ Quadrupole Resonance (QR) ซึ่งจะมีหลักการทำงานโดยอาศัยสมบัติทางแม่เหล็กไฟฟ้าของ นิวเคลียสของธาตุที่เป็นองค์ประกอบของวัสดุถูรณะเบิดหรือยาเสพติด เนื่องจากในโครงสร้างเป็นธาตุ องค์ประกอบหลักของวัสดุถูรณะเบิดและยาเสพติด ดังนั้นเครื่องตรวจวัดถูรณะเบิดและของผิดกฎหมาย ประเภทนี้จะอาศัยสมบัติทางแม่เหล็กไฟฟ้าของนิวเคลียสของในโครงสร้าง (N-14) เป็นดัชนีในการ วินิจฉัย

เนื่องจากนิวเคลียสที่ไม่เป็นทรงกลมทุกชนิดจะมีโมเมนต์ชันดูหนึ่งซึ่งเรียกว่า “electric quadrupole moment” โดยโมเมนต์ดังกล่าวจะทำอันตรายร้ายกับค่าเกรเดียนต์ของสนามไฟฟ้า (electric field gradient) ที่เกิดจากสิ่งอื่น ๆ ที่อยู่รอบ ๆ นิวเคลียสทำให้นิวเคลียสดังกล่าวเกิดการหมุน ควง (precess) ไปรอบ ๆ สนามไฟฟ้านั้น การหมุนคงที่จะทำให้เกิดโมเมนต์แม่เหล็ก (magnetic moment) ซึ่งหมุนควงไปพร้อม ๆ กับนิวเคลียสด้วยความถี่ที่เท่ากัน ความถี่ดังกล่าวจะเป็นค่าเฉพาะ ค่าหนึ่ง ซึ่งแสดงถึงสมบัติของนิวเคลียสแต่ละชนิด เมื่อทำการกระตุ้นนิวเคลียสดังกล่าวโดยใช้คลื่น ความถี่วิทยุ (radio frequency) จะทำให้นิวเคลียสนั้นอยู่ในภาวะถูกกระตุ้นหรือไม่สมดุลและเมื่อ นิวเคลียสเหล่านี้กลับสู่ภาวะสมดุลจะปลดปล่อยอนุภาคโฟตอนที่มีความถี่เฉพาะค่าหนึ่งของอนุ อนุภาคโฟตอนนี้จะแสดงสมบัติของนิวเคลียสที่ถูกกระตุ้นนั้น และเมื่อตรวจจับอนุภาคโฟตอน ดังกล่าวแล้วทำการวิเคราะห์ก็จะสามารถวินิจฉัยได้ว่าสิ่งที่ถูกตรวจสอนนั้นคืออะไร

ในปี พ.ศ. 2536 ห้องปฏิบัติการของกองทัพเรือสหราชอาณาจักร ได้สร้างต้นแบบ (prototype) ของ เครื่องตรวจวัดถูรับเบิดและของผิดกฎหมายชนิดนี้ขึ้นมา (13) ซึ่งสามารถตรวจวัดถูรับเบิดได้ทุกชนิด รวมทั้งระบบที่พลาสติก และบริษัท Quantum Magnetics (San Diego, CA) ได้ทำสัญญา กับกองทัพเรือ สหราชอาณาจักร เพื่อสร้างเครื่องตรวจวัดถูรับเบิดและของผิดกฎหมายชนิดดังกล่าว ในปี พ.ศ. 2537 เพื่อใช้ ในการพาณิชย์ ซึ่งมีรูปลักษณะดังรูปที่ 2.8



รูปที่ 2.8 เครื่องตรวจวัดถูรับเบิดและของผิดกฎหมายประเภทที่ใช้ เทคโนโลยี QR จาก บริษัท Quantum Magnetics (San Diego, CA) ซึ่งมีขนาดกะทัดรัดสามารถใช้ตรวจระป่าเดินทาง ของผู้โดยสารเครื่องบิน ได้อย่างมีประสิทธิภาพ

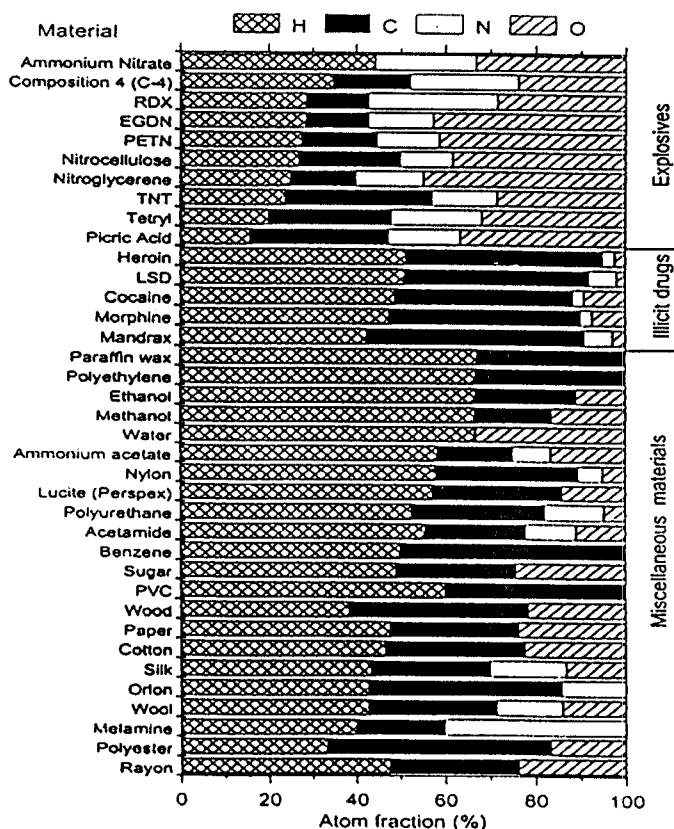
บทที่ 3

ระบบตรวจวัตถุระเบิดและของพิคกูหมายที่ใช้เทคโนโลยีทางนิวเคลียร์

3.1 ลักษณะทั่วไปของวัตถุระเบิดและของพิคกูหมาย

ก่อนที่จะกล่าวถึงระบบการตรวจวัตถุระเบิดและของพิคกูหมายโดยใช้เทคโนโลยีทางนิวเคลียร์นั้น มีความจำเป็นที่จะต้องอธิบายถึงลักษณะทั่วไปของวัตถุระเบิดและของพิคกูหมาย เสียงก่อน ทั้งนี้เพื่อให้สามารถเข้าใจในหลักการทำงานของระบบตรวจวัตถุระเบิดและของพิคกูหมาย ที่ใช้เทคโนโลยีทางนิวเคลียร์แต่ละประเภทได้ดีขึ้น คำว่าของพิคกูหมายที่ปรากฏในบทนี้นั้นในที่นี้จะหมายถึงยาเสพติดเท่านั้น

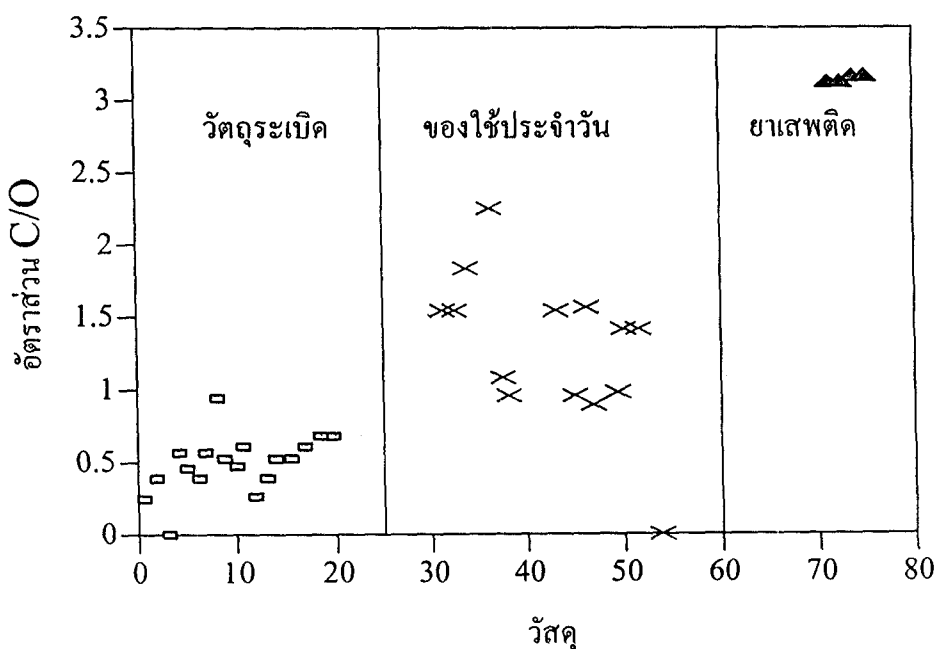
สำหรับวัตถุระเบิดที่มีอยู่ในปัจจุบันนี้ไม่ว่าจะใช้ในทางทหารหรือทางพาณิชย์ล้วนแต่ประกอบด้วยธาตุหลัก ๆ 4 ธาตุคือ ไฮโดรเจน (H) คาร์บอน (C) ในไฮdroเจน (N) และออกซิเจน (O) ความหนาแน่นของธาตุเหล่านี้ในวัตถุระเบิดและยาเสพติดจะแตกต่างจากที่มีอยู่ในสิ่งของเครื่องใช้ต่าง ๆ ที่ใช้อยู่ในชีวิตประจำวัน



รูปที่ 3.1 กราฟแท่งที่แสดงถึงสัดส่วน (%) ของ H , C , N และ O ที่มีอยู่ในระเบิด ยาเสพติดและสิ่งของเครื่องใช้ประจำวัน

รูปที่ 3.1 เป็นกราฟแท่งที่แสดงถึงสัดส่วน (%) ของค่าความหนาแน่นของธาตุต่าง ๆ ที่มีอยู่ในวัตถุระเบิด ยาเสพติดและสิ่งของ-เครื่องใช้ในชีวิตประจำวัน (14) จะสังเกตเห็นว่าส่วนใหญ่ของวัตถุระเบิดจะมีค่าความหนาแน่นของ N และ O สูงเมื่อเทียบกับของใช้ประจำวัน แต่ค่าความหนาแน่นของ H และ C ในวัตถุระเบิดจะมีค่าใกล้เคียงกับค่าในของใช้ต่าง ๆ ในกรณีของยาเสพติดนั้นค่าความหนาแน่นของ N และ O จะต่ำกว่าค่าในวัตถุระเบิดแต่ใกล้เคียงกับค่าในของใช้ประจำวันและค่าความหนาแน่นของ C จะสูงเมื่อเทียบกับค่าอื่น

จากข้อมูลความหนาแน่นของธาตุในวัสดุเหล่านี้จะเห็นว่าค่าอัตราส่วน C/O ของวัตถุระเบิด ยาเสพติดและของใช้ประจำวันจะแตกต่างกัน รูปที่ 3.2 แสดงการเปรียบเทียบระหว่างค่าอัตราส่วน C/O ของวัสดุดังกล่าวซึ่งเห็นได้ชัดว่ามีความแตกต่างกัน ค่าอัตราส่วน C/O ของยาเสพติดจะอยู่ระหว่าง 3.0 - 3.5 ในขณะที่ค่าอัตราส่วน C/O ของวัตถุระเบิดและสิ่งของอื่น ๆ จะอยู่ระหว่าง 0.0 - 1.0 และ 1.0 - 2.5 ตามลำดับ ของข้อมูลของค่าอัตราส่วน C/O ในวัสดุเหล่านี้จะเป็นอีกข้อมูลหนึ่งที่สามารถนำมาใช้ในการวิเคราะห์วัตถุระเบิดและยาเสพติดได้เป็นอย่างดี



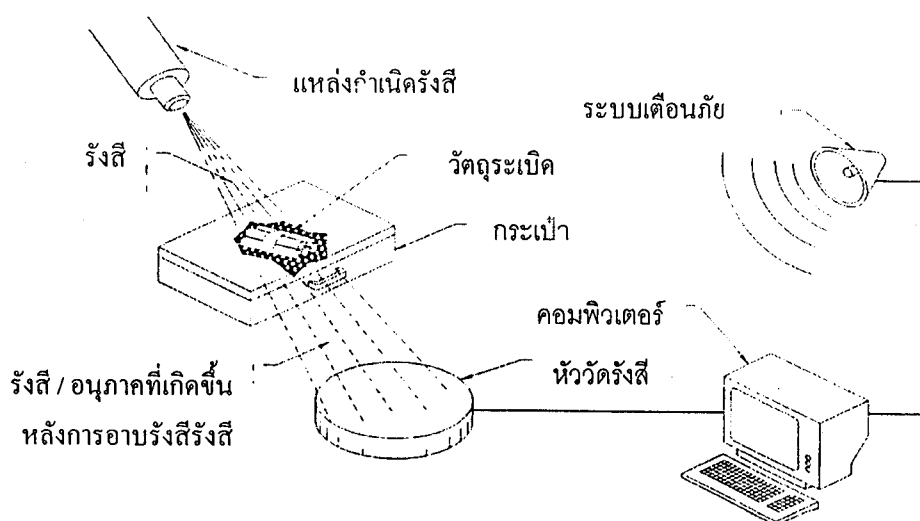
รูปที่ 3.2 ค่าอัตราส่วน C/O ของวัตถุระเบิด ยาเสพติด และของใช้ประจำวันซึ่งแสดงให้เห็นว่ามีค่าแตกต่างกัน

3.2 ประเภทของเทคโนโลยีทางนิวเคลียร์ที่ใช้ในการตรวจวัดอุตสาหกรรมเบิดและของผิดกฎหมาย

ถ้าหากยึดเอาชนิดของรังสีหรืออนุภาคที่ใช้เป็นสื่อในการตรวจเป็นเกณฑ์เราอาจจัดประเภทของเทคโนโลยีทางนิวเคลียร์ที่ใช้ในการตรวจวัดอุตสาหกรรมเบิดและของผิดกฎหมาย ได้ดังนี้

- 1) ประเภทตรวจโดยใช้รังสีแกมมา
- 2) ประเภทตรวจโดยใช้ออนุภาคนิวตรอน

หลักการทำงานของระบบตรวจวัดอุตสาหกรรมเบิดและของผิดกฎหมายทั้งสองประเภทนี้จะคล้ายกัน ซึ่งอาจแสดงถึงขั้นตอนการทำงานได้ดังรูปที่ 3.3



รูปที่ 3.3 ขั้นตอนการทำงานของเครื่องตรวจวัดอุตสาหกรรมเบิดและของผิดกฎหมายที่ใช้เทคโนโลยีทางนิวเคลียร์

รังสีแกมมาหรืออนุภาคนิวตรอนจากแหล่งกำเนิดจะถูกยิงกราด (scan) ไปยังวัตถุที่ต้องการตรวจสอบ เช่น กระเบ้าเดินทาง หรือตู้บรรทุกสินค้า แล้วทำอันตรายร้ายกับธาตุที่เป็นองค์ประกอบของวัสดุที่บรรจุอยู่ภายในนั้น ซึ่งจะทำให้เกิดรังสีหรืออนุภาคใหม่ขึ้นมา รังสีหรืออนุภาคที่เกิดขึ้นใหม่นี้จะถูกตรวจจับโดยหัววัดรังสี (radiation detector) และส่งสัญญาณที่วัดได้ไปยังคอมพิวเตอร์ เพื่อทำการวิเคราะห์ ผลของการวิเคราะห์จะถูกส่งไปยังระบบแจ้งเตือน (alarm) เพื่อส่งสัญญาณเตือนถ้าหากพบว่าสิ่งที่ทำการตรวจนั้นมีวัตถุระเบิดหรือยาเสพติดอยู่ด้วย

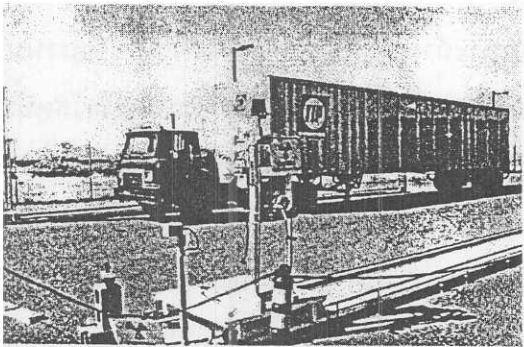
หัวข้อต่อไปนี้จะกล่าวถึงหลักการทำงาน ความเหมาะสมในการใช้งานและข้อดี - ข้อเสียของเครื่องตรวจวัดอุตสาหกรรมเบิดและของผิดกฎหมายที่ใช้เทคโนโลยีทางนิวเคลียร์แต่ละประเภท

3.2.1 ประเภทตรวจโดยใช้รังสีแกมมา

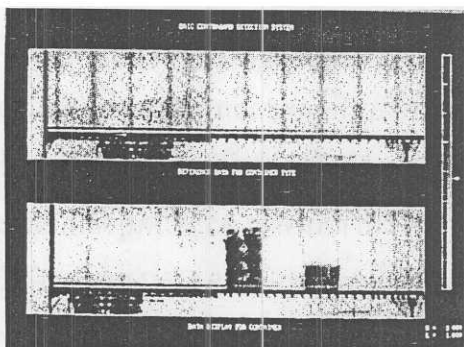
การใช้รังสีแกมมาเป็นสื่อในการตรวจวัตถุระเบิดและยาเสพติดนั้นอาศัยการสร้างภาพถ่ายโดยใช้รังสีแกมมา (gamma-ray radiography) ซึ่งมีหลักการทำงานคล้ายกับการใช้รังสีเอ็กซ์ เมื่อยิงรังสีแกมมาจากแหล่งกำเนิดกราดไปยังวัสดุที่ต้องสงสัย รังสีเอ็กซ์จะทำอันตรายร้ายกาบของคปประจำบนวัสดุนั้นแล้วบางส่วนจะทะลุผ่าน (transmitted) บางส่วนเกิดการกระเจิง (scattered) และบางส่วนจะสะท้อนกลับ (back-scattered) และเมื่อทำการวัดรังสีเหล่านี้ด้วยหัววัดรังสีชนิดโซเดียมไออกไซด์ (NaI) จะสามารถนำสัญญาณจากหัวคามาแปลงเป็นภาพในลักษณะเดียวกันกับภาพที่เกิดจากการถ่ายรังสีเอ็กซ์ ภาพเหล่านี้จะแสดงรูปร่างและสีสันที่ผู้ชำนาญสามารถวินิจฉัยได้ว่ามีอะไรบ้างอยู่ในวัสดุที่ทำการตรวจสอบนั้น

ในปัจจุบันนี้บริษัท SAIC (15) ได้มีการนำเทคโนโลยีของการสร้างภาพถ่ายด้วยรังสีแกมมา มาใช้ในระบบการตรวจขานพาหนะที่ผ่านค่ามาตรฐานศุลกากรของสหรัฐอเมริกาแล้ว มีชื่อเรียกว่า Vehicle and Cargo Container Inspection System (VACIS) ระบบ VACIS-I ซึ่งเป็นรุ่นที่ 1 ของระบบ VACIS สามารถใช้ตรวจรถบรรทุกน้ำมันหรือรถบรรทุกสินค้าโดยมีแหล่งพลังงานรังสีแกมมาและชุดหัววัดเคลื่อนที่ไปบนรางพร้อม ๆ กันเพื่อยิงรังสีแกมมาไปยังรถบรรทุก ระบบนี้ใช้ Cs-137 เป็นแหล่งพลังงานรังสีแกมมา ซึ่งมีความแรง 1 กิริ และมีหัววัดรังสี NaI เป็นหัววัดรังสีแกมมากำจานวน 16 หัววัด โดยหัววัดทั้งหมดประกอบกันเป็นແຕวในแนวตั้ง ทำหน้าที่ตรวจรังสีแกมมาที่มาจากการเคลื่อนต่าง ๆ ของวัสดุที่ถูกตรวจสอบ สัญญาณที่วัดได้จะนำไปประมวลในคอมพิวเตอร์อย่างทันทีทันใด (on-line) และเปล่งเป็นภาพเพื่อแสดงบนจอคอมพิวเตอร์และเมื่อเปรียบเทียบภาพที่ได้กับภาพของสิ่งนั้นในขณะที่ยังไม่บรรจุสิ่งของใด ๆ (เช่น รถบรรทุกเปล่าที่ยังไม่บรรจุสินค้า) ซึ่งได้ทำการบันทึกภาพไว้ก่อนแล้ว จะสามารถวินิจฉัยได้ว่าสิ่งที่ทำการตรวจสอบนั้นบรรจุของผิดกฎหมายหรือไม่

รูปที่ 3.4 (ก) แสดงภาพของระบบตรวจวัตถุระเบิด VACIS-I ที่ติดตั้งอยู่ตามค่ามาตรฐานศุลกากรของสหรัฐอเมริกา (ข) แสดงลักษณะภาพที่เกิดจากระบบ VACIS-I โดยภาพบนเป็นภาพของตู้บรรทุกเปล่า แต่ภาพล่างเป็นภาพขณะที่บรรจุสินค้าค่าง ๆ แล้ว (รวมทั้งยาเสพติดชนิดโโคเคน) จะสังเกตเห็นในภาพล่างว่ามียาเสพติดซุกซ่อนอยู่ในรถบรรทุกคันนั้น รูปที่ 15 แสดงภาพรถบรรทุกน้ำมันที่กำลังเคลื่อนที่ผ่านระบบ VACIS-I เพื่อทำการตรวจสอบก่อนผ่านค่ามาตรฐานศุลกากรของสหรัฐอเมริกา ขณะนี้ได้มีการพัฒนาระบบ VACIS-I ที่ติดตั้งบนรถขนต์บ้านดีลิก (Van) ซึ่งสามารถเคลื่อนที่ไปตรวจที่ใดก็ได้ นอกจากนี้ยังได้มีการพัฒนาระบบ VACIS-II สำหรับตรวจรถไฟ และ VACIS-III สำหรับตรวจรถขนต์แล้วด้วย (15) ข้อดีของระบบนี้คือสามารถตรวจวัตถุขนาดใหญ่ได้ มีระดับรังสีต่ำใช้พลังงานน้อยไม่ต้องมีระบบรักษาความเย็นไม่ต้องอุ่นเครื่องก่อนใช้ เคลื่อนที่ได้และมีราคาถูก



(ก)



(จ)

รูปที่ 3.4 (ก) รถบรรทุกกำลังรอตรวจโดยระบบตรวจวัดคุณภาพเบิดและยาเสพติด VACIS-I ก่อนผ่านด่านศุลกากรของสหรัฐอเมริกา
 (จ) ลักษณะภาพที่ได้จากการบันทึกภาพบนเป็นภาพถ่ายบรรทุกเปล่า (ยังไม่บรรทุกลิ่งของ) แต่ภาพล่างเป็นภาพถ่ายบรรทุกที่มียาเสพติดบรรจุอยู่

3.2.2 ประเภทตรวจโดยใช้อุปกรณ์นิวตรอน

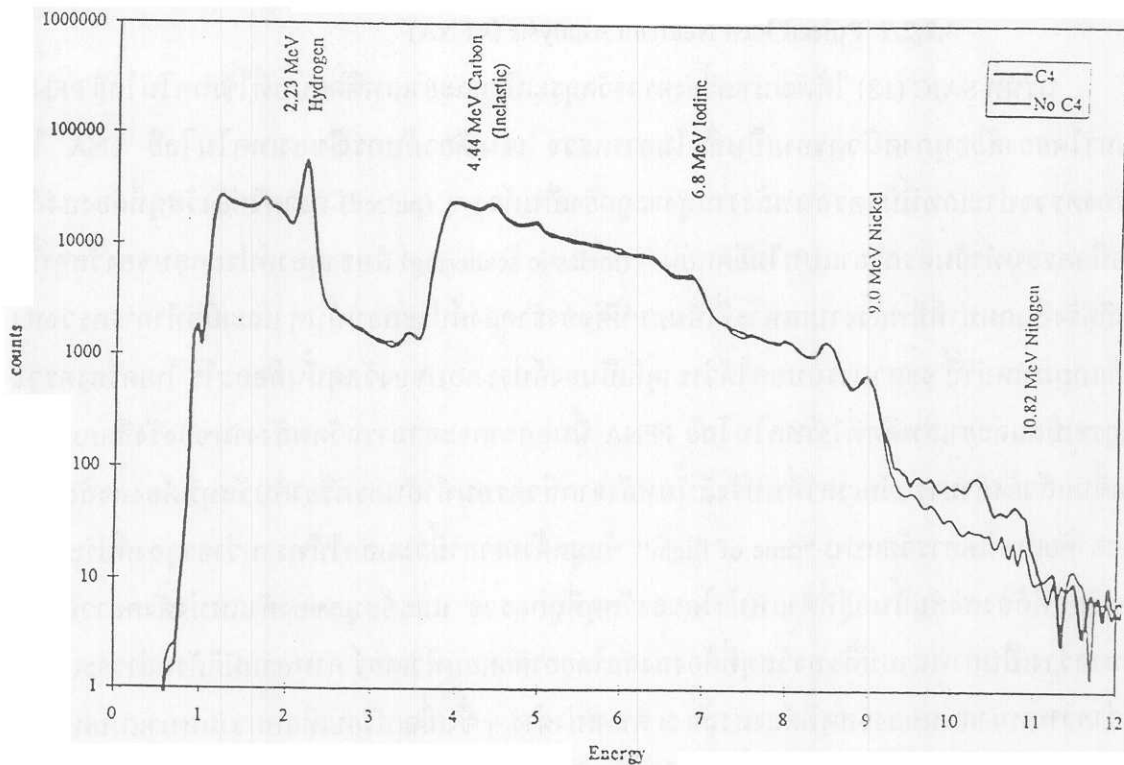
ระบบตรวจวัดคุณภาพเบิดและของผิดกฎหมายที่ใช้นิวตรอนเป็นสื่อในการตรวจนี้มีหลายแบบ T. Gozani ได้สรุปแบบของเทคโนโลยีที่ใช้อุปกรณ์นิวตรอนในการตรวจวัดคุณภาพเบิดและของผิดกฎหมาย ไว้ในตารางที่ 2 ของเรื่อง Inspection Techniques Based On Neutron Interrogation (16) ในตารางนี้จะอธิบายถึงชื่อของเทคโนโลยี ชนิดของนิวตรอนที่ใช้ อันตรกิษทางนิวเคลียร์ที่เกี่ยวข้อง รังสีหรืออนุภาคที่ใช้เป็นสื่อ แหล่งกำเนิดนิวตรอน ดัชนีชี้วัด และขีดความสามารถในการสร้างภาพ สามารถดูของเทคโนโลยีแต่ละแบบ ในที่นี้จะไม่ยกถ้ารายละเอียดของทุกแบบแต่จะเลือกอธิบายเฉพาะ 3 แบบหลัก ๆ ดังต่อไปนี้

3.2.2.1 Thermal Neutron Analysis (TNA)

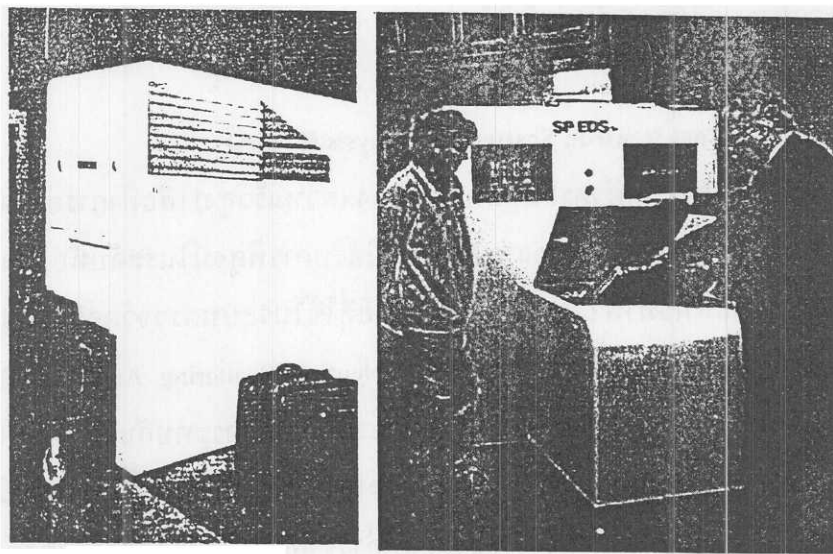
เนื่องจากอุปกรณ์นิวตรอนไม่มีประจุจึงไม่ค่อยทำอันตรกิษกับวัตถุใดและสามารถทะลุทะลวงวัสดุค้างๆ ได้ดีกว่าอนุภาคอื่น ๆ คังนั้นจึงเหมาะสมสำหรับใช้เป็นเครื่องมือในการตรวจวัดคุณภาพเบิดที่ซุกซ่อนอยู่ในกล่องขนาดใหญ่หรือกระเบื้องเดินทาง ในเครื่องตรวจวัดคุณภาพเบิดและยาเสพติดแบบที่ใช้เทคโนโลยี TNA นืออุปกรณ์นิวตรอนจะถูกยิงกราดไปยังวัสดุที่ต้องการตรวจสอบซึ่งถ้าเป็นวัตถุคุณภาพเบิดหรือยาเสพติด จะมีในตรีเจน (N) เป็นองค์ประกอบอยู่เป็นจำนวนมาก เมื่อนิวตรอนถูกคุกคักในตรีเจนจะยุ่งในสภาพแวดล้อมและเมื่อกลับสู่สภาพปกติจะปลดปล่อยรังสีแกมมาซึ่งมีพลังงาน 10.8 ล้านอิเล็กตรอนโวลต์ (MeV) ออกมายังรังสีแกมมาที่เกิดจากชาตุชนิด

อื่น ๆ เครื่องตรวจวัดรังสีจะทำการตรวจจับรังสีที่เกิดขึ้นและถ้าตรวจพบรังสีแกรมมานิดนึง ย่อมแสดงว่าสลดนั้น มีในโตรเจนเป็นองค์ประกอบ และโดยเฉพาะถ้าพบรังสีแกรมมากถ้าว่าเป็นจำนวนมาก ย่อมแสดงว่าสลดที่ถูกตรวจพบนั้น ประกอบด้วยในโตรเจนเป็นจำนวนมากดังนั้นแสดงว่าสลดนั้นมีโอกาสสูงที่จะเป็นวัตถุระเบิดหรือยาเสพติด รูปที่ 3.5 แสดงภาพสเปกตรัมของรังสีแกรมมาที่เกิดจาก การตรวจกระเพาเดินทาง ตรวจวัตถุระเบิดและของผิดกฎหมายที่ใช้เทคโนโลยี TNA ซึ่งจะมีรังสี แกรมมานิดนึงที่มีพลังงาน 10.8 MeV อยู่ด้วย ดังนั้นย่อมแสดงว่าในกระเพาเดินทางมีวัสดุที่มี N เป็นองค์ประกอบ นอกจากนี้ยังมีรังสีแกรมมาที่เกิดจากการที่ชาติอื่น ๆ (H, C, Cl, Al และ Fe) เมื่อคุณลักษณะ อนุภาคนิวตรอนอิกด้วย

แต่ความเป็นจริงยังมีสิ่งของอื่นๆ ที่ใช้ในชีวิตประจำวันเป็นจำนวนมากที่มีในโตรเจนเป็นองค์ประกอบ เช่น เสื้อผ้าที่ทำด้วยขนสัตว์ ในลอน และผ้าไหม เป็นต้น สิ่งเหล่านี้จะทำให้เกิดรังสีแกรมมานิดเดียว กัน (10.8 MeV) เมื่อคุณลักษณะนิวตรอนจึงเป็นปัญหาหรือมีความยุ่งยากในการวินิจฉัย อย่างไรก็ตามความหนาแน่นของในโตรเจนในของใช้ประจำวันเหล่านี้มีค่าแตกต่างจากค่าในวัตถุระเบิดหรือยาเสพติดดัง ได้แก่ ตามที่เราสามารถใช้ความหนาแน่นของในโตรเจน เป็นเครื่องมือหรือดัชนีเพิ่มเติมในการวินิจฉัยที่ถูกต้องได้ บริษัท SAIC (17) “ได้พัฒนาเครื่องตรวจวัตถุระเบิดชนิดนี้ขึ้นมาและทดลองใช้ตรวจกระเพาเดินทางในสนามบินของเมืองต่างๆ ในประเทศ สหรัฐฯ และโดยมีผลการทดลองเป็นที่น่าพอใจ อย่างไรก็ตามข้อเสียของเครื่องตรวจวัตถุระเบิดชนิดนี้คือ มีราคาแพง (900,000 เหรียญสหรัฐฯ) มีขนาดใหญ่ และมีน้ำหนักมากเกินไป (~3,000 ปอนด์) รูปที่ 3.6 เป็นภาพของเครื่องตรวจกระเพาเดินทางที่ใช้เทคโนโลยี TNA เทคโนโลยีนี้นอกจากจะใช้ตรวจวัตถุระเบิดและของผิดกฎหมายแล้วยังสามารถนำมาประยุกต์ใช้ตรวจกับระเบิดที่อยู่ใต้ดินได้อิกด้วย



รูปที่ 3.5 สเปกตรัมของรังสีแกมมาที่เกิดจากระบบการตรวจกระเพาเดินทางที่ใช้เทคโนโลยี TNA
ซึ่งจะปรากฏรังสีแกมมาพลังงาน 10.8 MeV ในตอนท้ายของสเปกตรัม



รูปที่ 3.6 เครื่องตรวจกระเพาเดินทางที่ใช้เทคโนโลยี TNA

3.2.2.2 Pulsed Fast Neutron Analysis (PFNA)

บริษัท SAIC (18) ได้พัฒนาเครื่องตรวจวัดถูรณะเบิดและยาเสพติดแบบที่ใช้เทคโนโลยี PFNA ขึ้นมาโดยอาศัยอนุภาคนิวตรอนเป็นสื่อในการตรวจ เช่นเดียวกับกรณีของเทคโนโลยี TNA ในเครื่องตรวจประเภทนี้นิวตรอนพลังงานสูงจะถูกยิงเป็นห่วง ๆ (pulsed) hardt ไปยังวัสดุที่ต้องสงสัย เมื่อนิวตรอนทำอันตราริยาแบบไม่ยึดหยุ่น (inelastic scattering) กับธาตุองค์ประกอบของวัสดุนั้น จะเกิดรังสีแกมมาที่มีพลังงานเฉพาะที่เป็นสมบัติของธาตุองค์ประกอบนั้นๆ และเมื่อทำการตรวจหารังสีแกมมาเหล่านี้ จะสามารถบอกได้ว่าธาตุที่เป็นองค์ประกอบของวัสดุนั้นคืออะไร ในเครื่องตรวจวัดถูรณะเบิดและยาเสพติดที่ใช้เทคโนโลยี PFNA นี้นอกจากจะสามารถตรวจพลังงานของรังสีแกมมาที่เกิดขึ้นแล้วยังสามารถวัดเวลาที่พบรังสีนั้นหลังจากนิวตรอนทำอันตราริยา กับวัสดุที่ต้องสงสัยแล้ว โดยอาศัยเทคนิคการวัดแบบ “time of flight” ข้อมูลด้านเวลานี้จะบอกให้ทราบว่าธาตุองค์ประกอบของวัสดุที่ต้องสงสัยนั้นอยู่ที่ตำแหน่งใดของวัสดุที่ถูกตรวจ และข้อมูลของตำแหน่งดังกล่าวจะถูกนำมาสร้างเป็นภาพสามมิติของวัสดุที่ต้องสงสัย โดยอาศัยคอมพิวเตอร์ ภาพสามมิติดังกล่าวจะแสดงถึงค่าความหนาแน่นของวัสดุที่ต้องสงสัย ตำแหน่งต่าง ๆ ซึ่งเมื่อเปรียบเทียบความหนาแน่นเหล่านี้ กับความหนาแน่นของวัสดุเบิดที่มีอยู่ในปัจจุบันซึ่งมีอยู่ในฐานข้อมูลของคอมพิวเตอร์แล้วจะสามารถวินิจฉัยอย่างอัตโนมัติ ว่าธาตุองค์ประกอบเหล่านี้ เป็นวัสดุเบิดหรือไม่

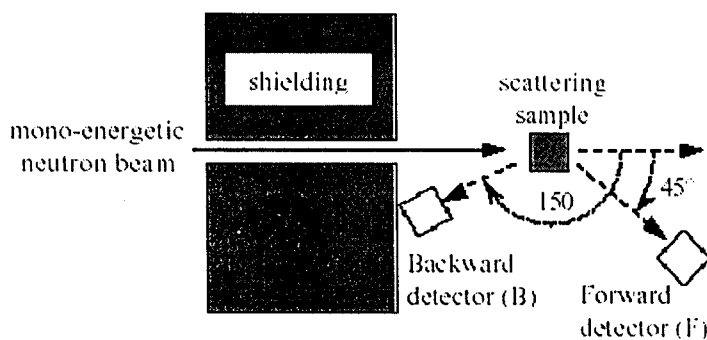
เครื่องตรวจวัดถูรณะเบิดชนิดนี้สามารถตรวจกราะเป้าเดินทางได้เร็วประมาณ 900-1,000 ใบต่อชั่วโมงและมีความแม่นยำกว่า 90 % อัตราความผิดพลาดเกือบเป็นศูนย์ (18) นอกจากนี้แล้ว บริษัท SAIC ยังได้ทำการพัฒนาระบบตรวจสินค้า (Cargo Inspection System, CIS) โดยใช้เทคโนโลยี PFNA ซึ่งสามารถตรวจบรรทุกได้ถึง 5 คันต่อชั่วโมง (19)

3.2.2.3 Fast Neutron Scattering Analysis (FNSA)

การใช้เทคนิคของอนุภาคนิวตรอนที่มีพลังงานสูง (ความเร็วสูง) เพื่อทำการตรวจวัดถูรณะเบิด และยาเสพติดในกระเบ้าเดินทางของผู้โดยสารเครื่องบินได้รับการพิสูจน์ในระดับห้องทดลองแล้วว่า สามารถใช้ได้ดีและมีประสิทธิภาพ (20)(21) เทคโนโลยีที่ใช้ในระบบตรวจวัดถูรณะเบิดและของผิดกฎหมายที่ใช้นิวตรอนพลังงานสูงนี้มีชื่อเรียกว่า “Fast Neutron Scattering Analysis (FNSA)” ซึ่ง อาศัยคุณลักษณะการกระเจิง (scattering) ของอนุภาคนิวตรอนเมื่อตกกระแทกกับวัสดุที่ต้องสงสัยหรือสารตัวอย่าง (sample) ลักษณะของการกระเจิงของอนุภาคนิวตรอนจะขึ้นอยู่กับชนิดของธาตุ องค์ประกอบ (clement) ของสารตัวอย่าง โดยจะแตกต่างจากกันถ้าสารตัวอย่างมีองค์ประกอบที่แตกต่างกัน ดังนั้นจึงสามารถใช้ลักษณะดังกล่าวเป็นค่าชนิดในการวิเคราะห์ว่าสารตัวอย่างนี้

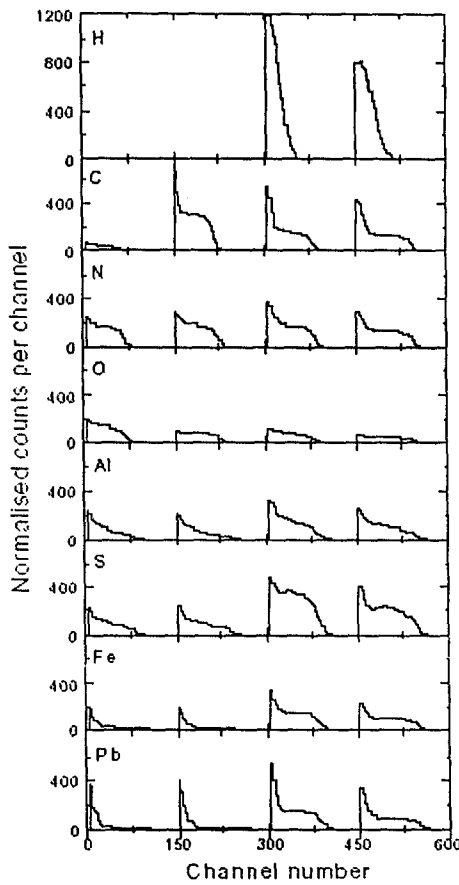
ประกอบด้วยธาตุอะไรมีน้ำหนัก原子 mass ของธาตุองค์ประกอบนี้จะบอกให้ทราบว่าสารตัวอย่างนั้นใช้วัตถุระเบิดหรือยาเสพติดหรือไม่

Andy Buffler (14) ได้นำเสนอระบบตรวจวัตถุระเบิดและของผิดกฎหมายที่ใช้เทคนิค FNSA และได้ทำการทดลองการทำงานของระบบดังกล่าวโดยมีองค์ประกอบของระบบดังแสดงในรูปที่ 3.7



รูปที่ 3.7 อุปกรณ์ในการทดลองของระบบ FNSA ซึ่งประกอบด้วยลำของอนุภาคนิวตรอนพลังงานเดียว ถูกยิงกราดไปปะสสารตัวอย่าง อนุภาคนิวตรอนที่กระเจิงหลังจากกระทบกับสารตัวอย่างจะถูกตรวจวัดในทิศทางที่ทำมุม 45° และ 150° กับแนวเดิม

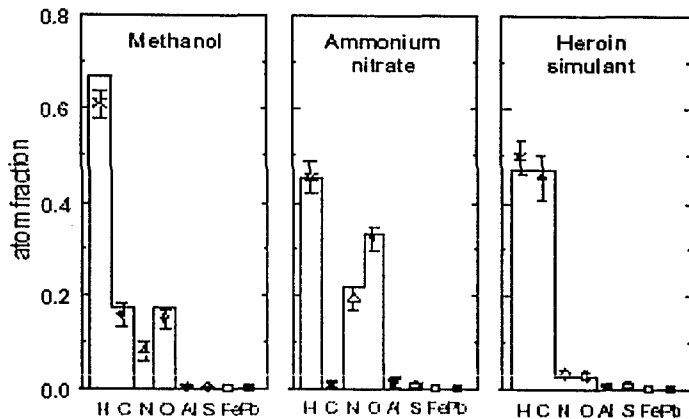
ในการทดลองในรูป 3.7 นั้น Buffler ได้ทำการวัดการกระเจิงของอนุภาคนิวตรอนใน 2 ทิศทางคือ 45° (forward scattering) และ 150° (backward scattering) โดยใช้นิวตรอนที่มีพลังงาน 2 ค่า คือ 6.8 และ 7.5 ด้านอิเล็กตรอนโวลต์ (MeV) ธาตุที่ใช้เป็นสารตัวอย่างในการทดลองมี 8 ธาตุ ด้วยกันคือ ไฮโดรเจน (H) คาร์บอน (C) ในไตรเจน (N) ออกซิเจน (O) อะลูминิียม (Al) ชัลเฟอร์ (S) เหล็ก (Fe) และตะกั่ว (Pb) ลักษณะของสัญญาณแบบ pulse height ที่เกิดจากการกระเจิงของอนุภาคนิวตรอนมีอัตราการกระทบสารตัวอย่างดังกล่าวมีรูปร่างดังแสดงในรูปที่ 3.8 ในรูปนี้ 2 กราฟแรกเป็นการกระเจิงไปข้างหน้า (forward scattering) ด้วยค่าพลังงาน 6.8 และ 7.5 MeV ตามลำดับ 2 กราฟหลังเป็นการกระเจิงไปข้างหลัง (backward scattering) ด้วยพลังงานของอนุภาคนิวตรอนค่าเดียวกัน กราฟของ H เกิดจากการใช้น้ำ (H_2O) เป็นสารตัวอย่าง แต่ได้หักค่าที่เกิดจาก O แล้วโดยค่าที่เกิดจาก O นั้นใช้ออกซิเจนเหลว (liquid oxygen) เป็นสารตัวอย่าง



รูปที่ 3.8 กราฟของ pulse height ที่เกิดขึ้นจากการกระเจิงของอนุภาคนิวตรอนเมื่อตกกระทบกับสารตัวอย่างที่เป็น H, C, N, O, Al, S, Fe และ Pb ทุกรายการที่เกิดขึ้นจากจำนวนอนุภาคนิวตรอนและจำนวนอะตอม ($100 N_A$) ของสารตัวอย่างที่เท่ากัน

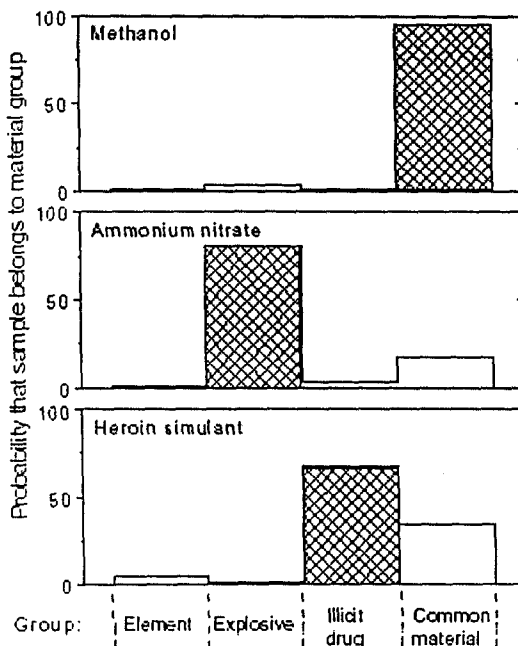
ลักษณะของกราฟที่เกิดจากสารประกอบ (มีหลาบชาตุพสมกัน) นั้นสามารถสร้างขึ้นมาได้โดยการรวมสัญญาณของชาตุองค์ประกอบของสารตัวอย่างเข้าด้วยกันโดยวิธี linear combination และเมื่อนำสารตัวอย่างที่ต้องการตรวจสอบมาทำการวัดการกระเจิงของอนุภาคนิวตรอนก็จะได้กราฟที่เป็นลักษณะเฉพาะของสารตัวอย่างดังกล่าว ถ้าทำการแยกกราฟรวมให้เป็นกราฟของแต่ละชาตุองค์ประกอบของสารตัวอย่าง (unfolding the scattering signature) ก็จะได้สัดส่วนของจำนวนอะตอม (atom fraction) ของสารตัวอย่างที่ทำการตรวจสอบ รูปที่ 3.9 แสดงการเปรียบเทียบระหว่างค่าที่ได้จากการวัด (จริง) และค่าคาดหวัง (ซิสโตแกรน) ของสัดส่วนจำนวนอะตอมของสารตัวอย่าง 3 ชนิดคือ เมธานอล (methanol) และไนโตรเจนไนเตรท (ammonium nitrate) และสารเชโรอิน (heroin stimulant)

ที่นำมาทำการทดสอบ ซึ่งแสดงให้เห็นว่าค่าจากการวัดและค่าคาดหวัง (ซึ่งเป็นค่าจริง) มีความสอดคล้องกัน สารตัวอย่าง 3 ชนิดนี้คือตัวแทนของวัสดุ 3 ประเภทคือ วัสดุทั่วไป วัตถุระเบิด และยาเสพติด ความสอดคล้องดังกล่าวแสดงให้เห็นว่าเทคนิค FNSA สามารถวิเคราะห์สารตัวอย่างได้อย่างถูกต้อง



รูปที่ 3.9 การเปรียบเทียบค่าที่ได้จากการวัด (ชุด) และค่าคาดหวัง (ฮีสโตร์แกรม) ของสัดส่วนจำนวนอะตอมของสารตัวอย่าง 3 ชนิด เมทานอล แอมโมเนียมไนเตรท และไฮโรอีน

ค่าสัดส่วนจำนวนอะตอมที่ได้จากการวิเคราะห์โดยเทคนิค FNSA นี้อาจนำมาใช้ในการคำนวณเพื่อวินิจฉัยว่าสารตัวอย่างนั้นเป็นสารประกอบหรือธาตุชนิดใด (ชาตุบริสุทธิ์ วัตถุระเบิด ยาเสพติดหรือวัสดุทั่ว ๆ ไป) รูปที่ 3.10 แสดงค่าความน่าจะเป็น (Probability) หรือโอกาส ที่สารตัวอย่าง 3 ชนิดที่นำมาทดสอบนั้นจะเป็นอะไรในจำนวนสารประกอบ 4 ชนิดดังกล่าว ซึ่งปรากฏว่ามีโอกาสเป็นชาตุบริสุทธิ์ 1% วัตถุระเบิด 80% ยาเสพติด 2% และวัสดุทั่ว ๆ ไป 17% ค่าจากการคำนวณนี้แสดงให้เห็นว่าเทคนิค FNSA มีความแม่นยำและสามารถใช้ตรวจสอบสารตัวอย่างได้อย่างมีประสิทธิภาพ



รูปที่ 3.10 ค่าความน่าจะเป็น (Probability) หรือโอกาสที่สารตัวอย่าง 3 ชนิด (เมธานอล แอนโนมเนียม-ไนเตรท และสารเอนโรอิน) ที่นำมาทดสอบโดยบิวตี้ FNSA ว่าจะเป็นสารประกอบชนิดใด และปรากฏว่ามีโอกาสเป็นชาตุบริสุทธิ์ 1% วัตถุระเบิด 80% ยาเสพติด 2% และวัสดุทั่วๆไป 17%

บทที่ 4

การจำลองการทำงานของระบบตรวจวัดอุตสาหกรรมและของผิดกฎหมาย โดยใช้โปรแกรมคอมพิวเตอร์มอนติคาร์โล

4.1 โปรแกรมคอมพิวเตอร์มอนติคาร์โล

โปรแกรมคอมพิวเตอร์มอนติคาร์โลที่ใช้ในการจำลองการทำงานของระบบตรวจวัดอุตสาหกรรมและของผิดกฎหมายในการวิจัยครั้งนี้คือโปรแกรม MCNP ซึ่งย่อมาจากคำว่า “Monte Carlo N-Particles” โปรแกรมนี้เป็นโปรแกรมที่ใช้ในการจำลองการเคลื่อนที่ของอนุภาคผ่านวัตถุซึ่งเริ่มต้นพัฒนาขึ้นมาครั้งแรกที่ห้องทดลองแห่งชาติของประเทศสหรัฐอเมริกาที่เมืองลากอส อลามอส (Los Alamos National Laboratory) ในสมัยสงครามโลกครั้งที่ 2 ซึ่งมีส่วนเกี่ยวข้องในการออกแบบระบบเบิดปรมาณูที่นำมาทิ้งที่ประเทศญี่ปุ่นในสงครามโลกครั้งนั้น

ในระยะแรก MCNP ใช้ได้กับเฉพาะอนุภาคนิวตรอนเท่านั้น แต่ต่อมาได้รับการพัฒนาให้สามารถใช้ได้กับอนุภาคอื่น ๆ ด้วย ดังนั้น อักษร N ในชื่อของโปรแกรมจึงหมายถึงอนุภาคอื่นอีกหลายอนุภาค ในการพัฒนาโปรแกรม MCNP นั้น นอกจากพัฒนาให้สามารถใช้ได้กับอนุภาคหลาย ๆ ชนิดแล้ว ยังพัฒนาให้มีประสิทธิภาพสูงขึ้นด้วย ถ้าันดึงปัจจุบันนี้ได้มีการพัฒนามาถึงรุ่น MCNP - 4C แล้วโดยมีผู้เกี่ยวข้องกับการพัฒนาในโปรแกรมนี้มากกว่า 400 คน-ปี (man-year) (22)

วิธีการของโปรแกรม MCNP นี้จะแตกต่างจากวิธี “Deterministic Method” ซึ่งใช้วิธีแก้สมการ Integro-differential transport equation เพื่ออธิบายการเคลื่อนที่ของอนุภาค แต่ในวิธีของ MCNP นั้น จะไม่มีการแก้สมการการเคลื่อนที่แต่จะอาศัยหลักสถิติเพื่อทำการจำลองการเคลื่อนที่ของแต่ละอนุภาคแล้วบันทึกค่าเฉลี่ยของพฤติกรรมบางอย่างของอนุภาคนั้นเอาไว้ ค่าเฉลี่ยของพฤติกรรมของอนุภาคในระบบถูกพาร์เจนจาร์ฟาร์ดหาได้จากค่าที่บันทึกไว้ในการจำลองนั้นเอง

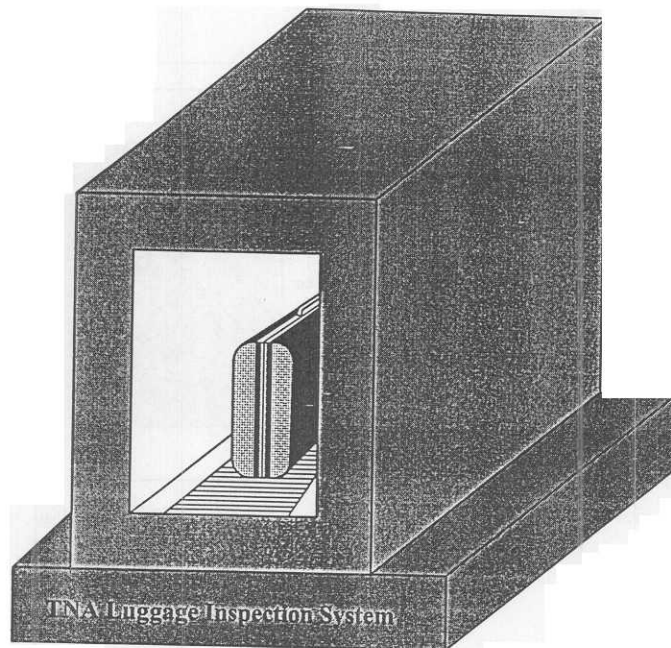
หลักในการจำลองของโปรแกรม MCNP นี้จะใช้หลักการ “สุ่มตัวอย่าง” (Random Sampling) ซึ่งคล้ายกับการสุ่มทิ้งไฟ หรือ การทอยลูกเต๋าในเกมส์การพนันทั่ว ๆ ไป ดังนั้นจึงเป็นที่มาของชื่อโปรแกรมที่ว่า “Monte Carlo” ซึ่งเป็นชื่อของเมืองมอนติคาร์โลที่มีบ่อนการพนันอันเลื่องชื่อนั้นเอง

ในการใช้โปรแกรมนี้จำเป็นต้องอาศัยข้อมูลเกี่ยวกับ Cross Section ของอันตรกริยะระหว่างนิวตรอนและรังสีแกมมากับวัตถุ เพื่อกำหนดหาค่าโอกาสที่จะเกิดอันตรกริยะกับวัสดุชนิดต่าง ๆ ในขณะที่นิวตรอนและรังสีแกมมาเคลื่อนที่ผ่านวัสดุเหล่านั้น ข้อมูลเหล่านี้จะอยู่ในรูปของระบบฐานข้อมูลที่ได้มาจากการพัฒนาโดยนักวิจัยที่ห้องทดลองแห่งชาติลากอส อลามอส ซึ่งมีชื่อเรียกว่า “The Evaluated Nuclear Data File B-VI” หรือ ENDF/B-VI นั้นเอง

ในการวิจัยครั้งนี้โปรแกรมคอมพิวเตอร์ MCNP จะถูกใช้จำลองอันตรภัยที่เกิดขึ้นเมื่ออนุภาคนิวตรอนอุณหภูมิ (พลังงาน 0.025 eV) เคลื่อนที่ผ่านธาตุองค์ประกอบของวัสดุที่นำมาทำการตรวจสอบ อนุภาคนิวตรอนดังกล่าว เมื่อถูกดูดซึม (absorb) โดยธาตุองค์ประกอบของวัสดุที่นำมาตรวจสอบจะปลดปล่อยรังสีแกมมาชนิดหนึ่ง叫做รังสีแกมนานี้จะถูกตรวจจับด้วยหัวรังสีแกมมา จำนวนและพลังงานของรังสีแกมมาที่ตรวจจับได้ในหัวรังสีนี้จะถูกจำลองโดยโปรแกรม MCNP

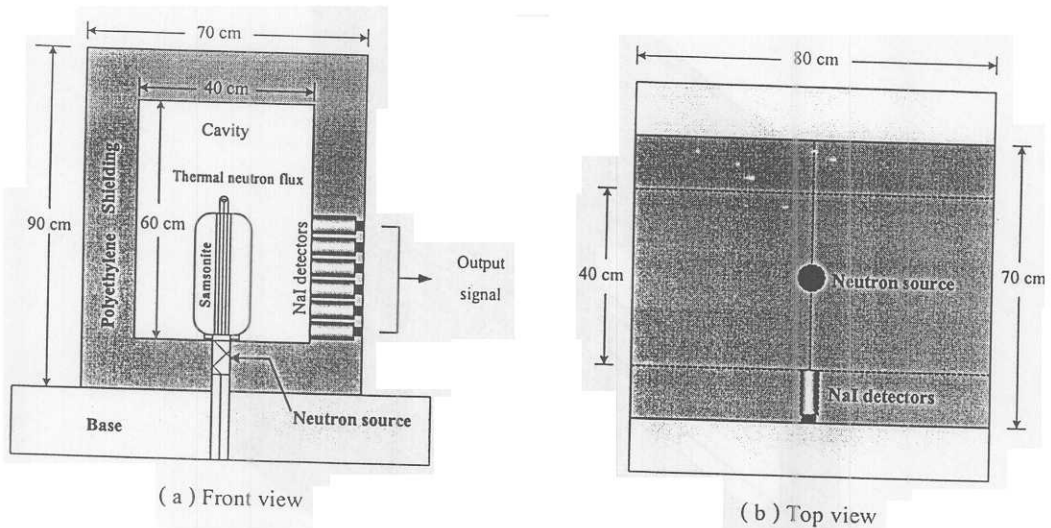
4.2 ระบบสำหรับการจำลองด้วยโปรแกรม MCNP

ในระบบการตรวจวัดอุตสาหกรรมเบิกแต่ของพิคกูหมายที่ใช้เทคโนโลยีทางนิวเคลียร์นั้นนับว่า TNA เป็นเทคโนโลยีที่ได้รับการพัฒนาขึ้นเป็นครั้งแรกและเป็นเทคโนโลยีที่ตรงไปตรงมาไม่ลับซับซ้อน แต่สามารถใช้งานได้อย่างมีประสิทธิภาพ ดังนั้นระบบตรวจวัดอุตสาหกรรมเบิกแต่ของพิคกูหมายที่ใช้เทคโนโลยี TNA จึงถูกนำมาเป็นระบบสำหรับการจำลองด้วยโปรแกรม MCNP ในการวิจัยครั้งนี้ J. Bartko and F.H. Ruddy จาก Westinghouse Science & Technology Center (23) ได้ทำการทดลองเพื่อทดสอบประสิทธิภาพในการตรวจวัดอุตสาหกรรมเบิกของเทคโนโลยี TNA ซึ่งได้ผลเป็นที่น่าพอใจ ในเวลาต่อมาองค์การการบินพลเรือนของสหรัฐอเมริกา (Federal Aviation Administration) ได้สร้างเครื่องด้านแบบของเทคโนโลยี TNA ขึ้นมาและนำไปทดสอบในสถานการณ์จริง ณ สนามบินของเมืองชิคาโก และฟิลลดาเดลฟีย์ แล้วพบว่าเทคโนโลยีนี้มีประสิทธิภาพในการวัด (detection rate) เกือบ 100% โดยมีอัตราความผิดพลาด (False Alarm Rate) ต่ำกว่า 5% การวิจัยในครั้งนี้เป็นการจำลองระบบการตรวจวัดอุตสาหกรรมเบิกและของพิคกูหมายที่ใช้ในการทดลองของ J. Bartko and F.H. Ruddy ข้อแตกต่างที่สำคัญในการจำลองครั้งนี้เมื่อเทียบกับการทดลองดังกล่าวคือการใช้การหัวรังสีแกมมาชนิดโซเดียมไอโอดีนแทนหัวรังสีชนิดพลาสติกซินทิเลเตอร์ (Plastic Scintilator) ทั้งนี้ เพราะเหตุว่าหัวรังสีโซเดียมไอโอดีนมีประสิทธิภาพในการวัดสูงกว่า นอกจากนี้แหล่งกำเนิดรังสีนิวตรอนที่ใช้ในการวิจัยครั้งนี้ยังเป็นแบบที่ปลดปล่อยเฉพาะนิวตรอนอุณหภูมิ ส่วนประกอบอื่น ๆ ของระบบทั้งสองนั้นมีลักษณะคล้ายกัน รูปที่ 4.1 แสดงลักษณะและองค์ประกอบของระบบตรวจวัดอุตสาหกรรมเบิกและของพิคกูหมายที่ใช้ในการจำลองในครั้งนี้



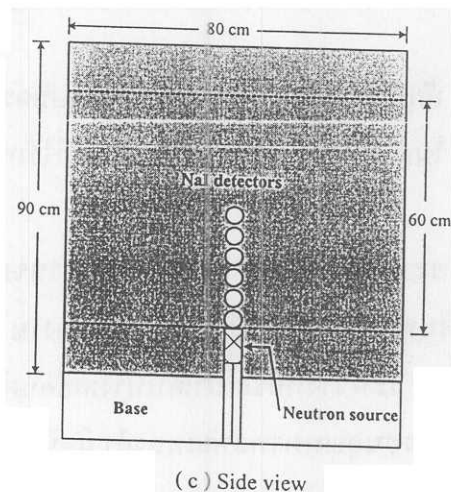
รูปที่ 4.1 ลักษณะและองค์ประกอบของระบบตรวจสอบคุณภาพเบ็ดเตล็ดและของผิดกฎหมายที่ใช้ในการกำจัดในบริการนี้ซึ่งเป็นระบบที่ใช้เทคโนโลยี TNA

ระบบที่ใช้ในการจำลองการทำงานของเทคโนโลยี TNA ครั้งนี้คือระบบของเครื่องตรวจระเบิดเดินทางนั่นเอง ซึ่งมีขั้นตอนการทำงานโดยเริ่มต้นที่กระเบิดเดินทางจะเคลื่อนผ่านระบบไปบนสายพาน ระหว่างที่กระเบิดเดินทางเคลื่อนผ่านระบบนั้นวัสดุที่อยู่ภายในกระเบิดจะถูกอาบด้วยอนุภาคนิวตรอนอุณหภูมิจากแหล่งกำเนิดนิวตรอน (^{252}Cf) ที่วางอยู่ด้านล่างของอุโมงค์ (cavity) ใต้สายพานแล้วทำให้เกิดรังสีแกมมาเมื่อชาตุองค์ประกอบของวัสดุภายในกระเบิดเดินทางถูกคลื่นอนุภาคนิวตรอน รังสีแกมมาที่เกิดขึ้นจะถูกตรวจจับโดยหัวรังสีแกมมาชนิดโซเดียมไออกไซด์ (NaI) ที่ฝังอยู่กับผนังของอุโมงค์ที่กระเบิดเคลื่อนที่ผ่าน หัวรังสีแกมมาดังกล่าวมีจำนวน 6 หัวโดยจัดวางเรียงกันในแนวตั้ง จากปลายด้านล่างสุดของผนัง โดยมีระยะห่างระหว่างหัววัดเท่า ๆ กัน อุโมงค์ของระบบจะถูกห้อมล้อมไว้ด้วยวัสดุคำนึงรังสี (shielding) ที่ทำด้วย พอลีเอธิลีน (polyethylene) ซึ่งมีขนาดดังแสดงในภาพที่ 4.2 (a) รูป 4.2 (b) แสดงรูปภาพตัดขวางของระบบตรวจกระเบิดเดินทาง เมื่อมองทางด้านบน ส่วนรูป 4.2 (c) นั้นแสดงรูปภาคตัดขวางเมื่อมองจากด้านซ้าย



รูปที่ 4.2 ภาคตัดขวางของระบบตรวจกระเบื้อง
เดินทาง

- (a) เมื่อมองจากทางด้านหน้า
- (b) เมื่อมองจากด้านบน
- (c) เมื่อมองทางในด้านข้าง



4.3 องค์ประกอบของระบบตรวจกระเบื้องเดินทางที่ใช้ในการจำลอง

ระบบตรวจกระเบื้องเดินทางที่ใช้ในการจำลองในการวิจัยครั้งนี้มีองค์ประกอบดังนี้

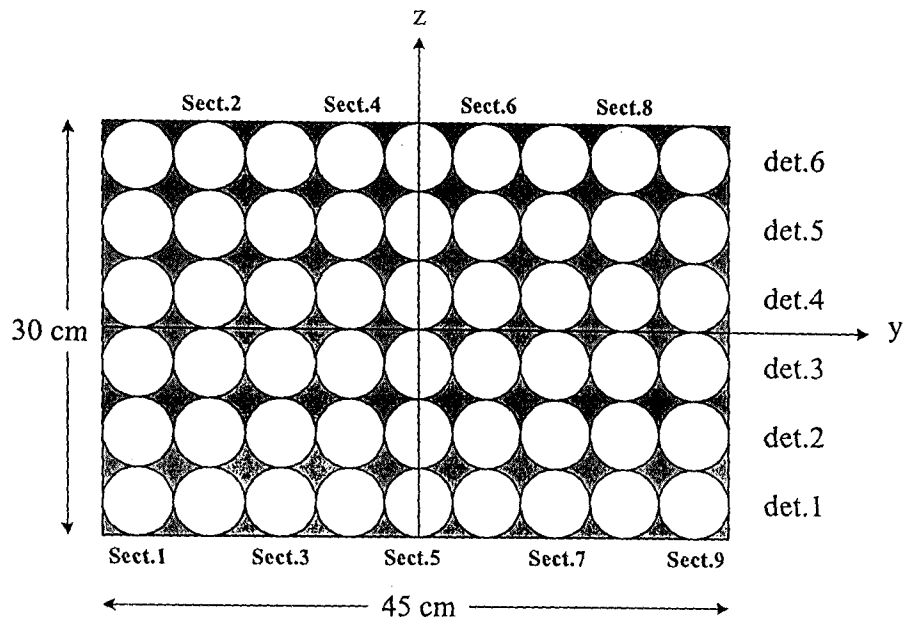
4.3.1 แหล่งกำเนิดนิวตรอน

ในการทดลองของ J. Bartko and F.H. Ruddy นั้น เขาใช้ ^{252}Cf เป็นแหล่งกำเนิดนิวตรอน ซึ่งปลดปล่อยนิวตรอนพลังงานสูง (14 MeV) ออกมานิวตรอนเหล่านี้จะถูกลดพลังงานลงเมื่อชนกับโพลีเอธิลีน (polyethylene) ที่อยู่ล้อมรอบกระเบื้องเดินทาง ทำให้กลไกเป็นนิวตรอนอุณหภูมิ (thermal neutron) ซึ่งมีพลังงาน 0.025 MeV ดังนั้น นอกจากโพลีเอธิลีนจะทำหน้าที่เป็นวัสดุกำบังรังสีแล้ว ยังเป็นวัสดุลดthonพลังงาน (moderator) ของนิวตรอนด้วย แต่เพื่อความง่ายในการจำลองของการ

วิจัยครั้งนี้ เรากำหนดให้แหล่งกำเนิดนิวตรอนผลิตเฉพาะนิวตรอนอุณหภูมิที่มีพลังงาน 0.025 MeV เท่านั้น โดยแหล่งกำเนิดรังสีนิวตรอนนี้มีลักษณะเป็นแผ่นวงกลมแบบเส้นผ่าศูนย์กลาง 1.3 เซนติเมตร วางอยู่ด้านล่างของอุโมงค์ได้สายพานที่ใช้ลำเลียงกระแสไฟฟ้าเคลื่อนผ่านอุโมงค์ แหล่งกำเนิดนิวตรอนนี้วางอยู่ในช่องเปิดที่ล้อมรอบด้วยวัสดุกำบังรังสีในตำแหน่งด้านล่าง ของ อุโมงค์และทิศทางของนิวตรอนที่ปลดปล่อยออกมากจากแหล่งกำเนิดนิวตรอนนั้นไม่จำกัดว่าต้องพุ่ง ตรงออกมายังแนวแกนดิ่ง(แกน z) หรือมีมุม 0 องศาเท่านั้น แต่นิวตรอนสามารถพุ่งไปได้ทุกทิศทาง (ยกเว้นด้านล่าง) หรือสามารถมีการกระจายของมุม (angular distribution) ตั้งแต่ $+90^\circ$ ถึง -90° ใน ลักษณะเช่นนี้จะเป็นหลักประกันได้ว่าทุก ๆ ส่วนของกระแสไฟเดินทางจะมีโอกาสที่จะถูกอาบด้วย นิวตรอน

4.3.2 หัววัดรังสีแกรมมา (Gamma-ray detector)

ในการวิจัยครั้งนี้เราใช้หัววัดรังสีแกรมมาเป็นหัววัดโซเดียมไโอลอไดน์ (Sodium Iodine, NaI) จำนวน 6 หัววัดวางอยู่ในแนวราบโดยฝังอยู่ในโพลีเอธิลีน ที่ทำหน้าที่เป็นวัสดุกำบังรังสีที่ด้านข้าง ของอุโมงค์ หัววัดเหล่านี้จะวางซ้อนกันในแนวดิ่ง (แกน z) มีระยะห่างเท่า ๆ กันและอยู่ในแนว เดียวกับแหล่งกำเนิดนิวตรอน (มีค่า y เท่ากัน) โดยหัววัดที่ 1 อยู่ด้านล่างสุดหัววัดอื่น ๆ จะเรียงตัว ซ้อนกันจนไป เนื่องจากเส้นผ่าศูนย์กลางของหัววัดเหล่านี้คือ 5 เซนติเมตร และกระแสไฟที่ใช้ในการ จำลองสูง 35 เซนติเมตร ดังนั้นหัววัดที่ 6 จะอยู่ในแนวเดียวกับขอบกระแสไฟด้านบนพอดี ในการ ทำงานจริงของระบบตรวจกระแสไฟเดินทางนั้นเพื่อให้สามารถทำการตรวจจุดต่างๆ ของกระแสไฟอย่าง ทั่วถึงจะต้องทำการเคลื่อนกระแสไฟผ่านแนวของแหล่งกำเนิดนิวตรอนและหัววัดซึ่งยังคงอยู่กับที่ เนื่องจากความยาวของกระแสไฟเป็น 45 เซนติเมตรและเส้นผ่าศูนย์กลางของหัววัดเป็น 5 เซนติเมตร ดังนั้น เมื่อต้องการผลการวัดที่จะสามารถครอบคลุมตลอดความยาวของกระแสไฟพอดีจะต้องทำการ เคลื่อนกระแสไฟไป 9 ครั้งโดยเดือนครั้งละ 5 เซนติเมตร รูปที่ 4.3 แสดงตำแหน่ง หัววัดรังสีแกรมมา 9 ตำแหน่ง ซึ่งครอบคลุมหน้ากว้างของกระแสไฟได้พอดี



รูปที่ 4.3 ตำแหน่งของระบบหัววัดรังสีแกมมา 9 ตำแหน่ง ที่ครอบคลุมหน้ากว้างของกระเบื้องดินทาง พอดี

4.3.3 ระบบกำบังรังสี (Radiation Shielding System)

วัสดุที่ใช้เป็นระบบกำบังรังสีเพื่อป้องกันการรั่วไหลของรังสีคือ โพลีเอธิลีน ซึ่งสามารถทำหน้าที่ป้องกันการรั่วไหลของนิวตรอนได้อย่างมีประสิทธิภาพ ดังปรากฏในรูปที่ 4.2 จะเห็นว่าระบบกำบังรังสีมีลักษณะเป็นกล่องสีเหลืองที่มีอุโมงค์อยู่ตรงกลาง เพื่อให้กระเบื้องดินทางเคลื่อนที่ผ่านไปบนสายพาน ระบบกำบังรังสีมีความหนา 15 เซนติเมตรในแต่ละด้าน และอุโมงค์ตรงกลางมีความกว้าง 40 เซนติเมตร และสูง 60 เซนติเมตร ในบริเวณอุโมงค์นี้จะเดินไปด้วยนิวตรอนอุณหภูมิในขณะที่ระบบทำงาน

4.4 การบรรจุวัสดุชนิดต่าง ๆ ในกระเบื้องดินทางเพื่อการจำลอง

ในการวิจัยครั้งนี้เราต้องการศึกษาข้อความสามารถของเทคโนโลยี TNA ใน การตรวจวัดถุร่วงเบิดและของผิดกฎหมายในด้านต่าง ๆ จึงบรรจุวัสดุหลาย ๆ ชนิด ซึ่งล้วนแล้วแต่มีในโครงสร้างเป็นองค์ประกอบในกระเบื้องดินทาง นอกจากจะบรรจุวัสดุร่วงเบิด (C-4) และยังบรรจุของใช้ประจำบ้านลงไปด้วย เช่น ผ้าไหม (silk) ผ้าขนสัตว์ (wool) และไนล่อน(nylon) เป็นต้น สูตรโครงสร้างทางเคมีของวัสดุเหล่านี้คือ (24)

C-4 : $C_4H_6O_6N_6$

Silk : $C_3H_{11}O_6N_3$

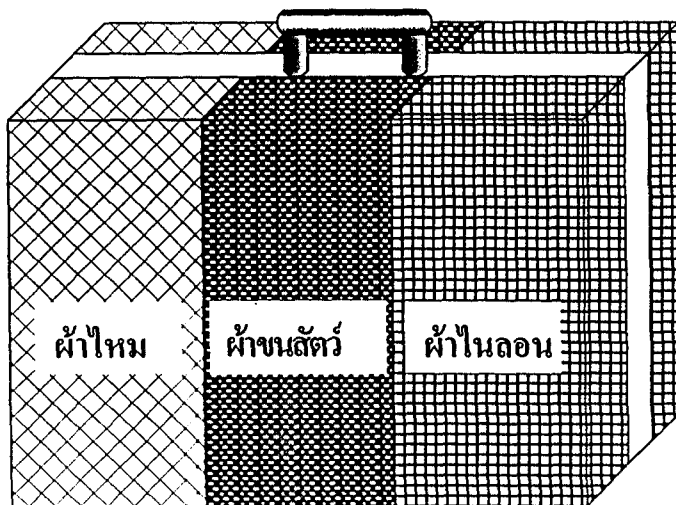
Wool : $C_{4.0}H_{6.69}N_{1.11}O_{1.65}S_{0.104}$

Nylon : $C_{11}H_{26}O_4N_2$

เป็นที่น่าสังเกตว่าสัดส่วนจำนวนอะตอนในสูตรโครงสร้างของสารประกอบของผ้าขนสัตว์ไม่เป็นเลขจำนวนเต็มการบรรจุวัสดุเหล่านี้ในกระเบื้องมีทั้งกรณีที่บรรจุอย่างเดียวและหลาย ๆ อย่างพร้อมกัน ซึ่งมีรายละเอียดดังต่อไปนี้

4.4.1 กรณีที่บรรจุเฉพาะของใช้ประจำวัน

ของใช้ประจำวันที่บรรจุในกระเบื้องมีเดินทางคือ ผ้าใบ ผ้าขนสัตว์และไนลอน โดยผ้าใบ
อยู่ด้านซ้ายของกระเบื้อง เป้าขนสัตว์อยู่ตรงกลางและไนลอนอยู่ทางด้านขวาเมื่อ วัดดูทั้ง 3 ชนิดนี้จะ^{จะ}
ครอบคลุมปริมาตรของกระเบื้องเท่า ๆ กัน ดังแสดงในรูปที่ 4.4



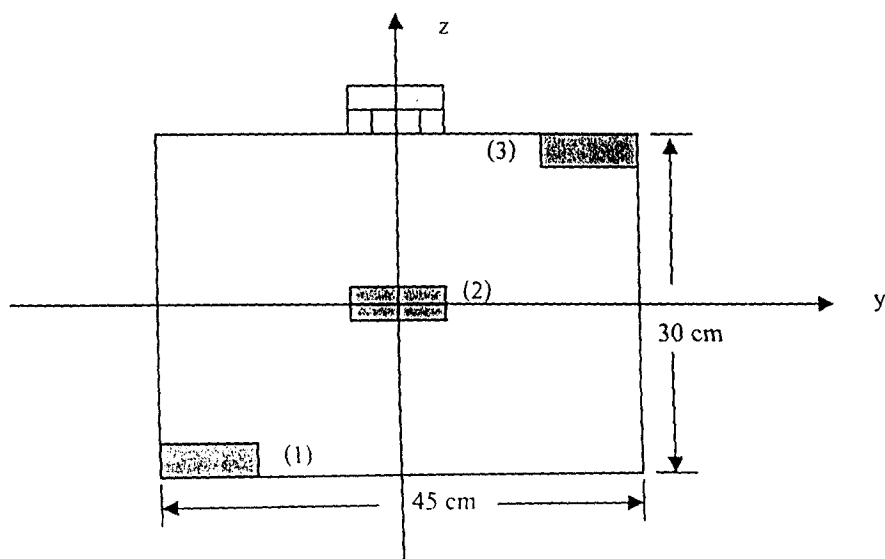
รูปที่ 4.4 กระเบื้องเดินทาง ที่บรรจุผ้าใบ ผ้าขนสัตว์ และไนลอนในปริมาตรที่เท่า ๆ กัน โดยมีผ้า
ใบอยู่ด้านซ้าย ผ้าขนสัตว์อยู่ตรงกลางและไนลอนอยู่ทางด้านขวาเมื่อ

4.4.2 กรณีที่บรรจุเฉพาะวัตถุระเบิด

วัตถุระเบิดที่บรรจุในกระเบื้อง C-4 ซึ่งมี 3 ขนาด (ใหญ่ กลาง เสิร์ก) ด้วยกัน โดยมีรูปร่างเป็นแท่งสี่เหลี่ยมที่มีหน้าตัด ความยาวและตำแหน่งที่วางในกระเบื้องดังนี้

ขนาด	หน้าตัด (cm^2)	ความยาว (cm)	น้ำหนัก (g)	ตำแหน่ง
ใหญ่	10 x 15	15	4117.5	ล่างซ้าย
กลาง	3 x 5	8	219.6	ล่างซ้าย/กลาง/ขวาบน
เสิร์ก	2.5 x 2.5	2.5	15.6	กลาง

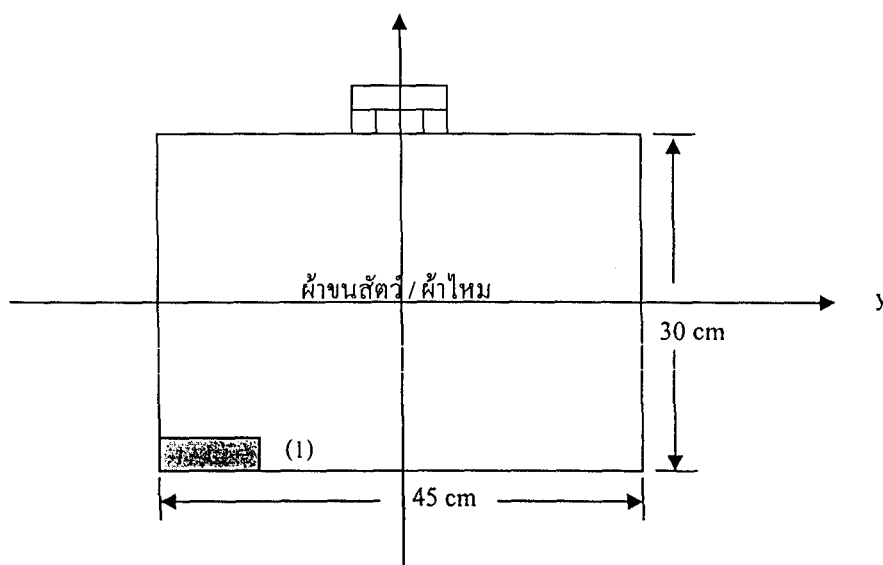
โปรดสังเกตว่าการวาง C-4 ขนาดใดขนาดหนึ่งนั้น ไม่ได้วางครบทุกตำแหน่ง ยกเว้นขนาดกลางซึ่งวางครบแต่วางทีละตำแหน่ง น้ำหนักของ C-4 หาได้จากการใช้ค่าความหนาแน่นของ C-4 เท่ากับ 1.83 g/cm^3 รูปที่ 4.5 แสดงตำแหน่งการวางวัตถุระเบิดในกระเบื้องเดินทาง โดยตำแหน่งที่ (1) คือขอบล่างซ้าย (2) คือกึ่งกลาง และ (3) คือขอบขวาบน ของกระเบื้องเดินทาง



รูปที่ 4.5 ตำแหน่งการวางวัตถุระเบิดในกระเบื้องเดินทางโดยวางกระเบื้องเดินทางซึ่งแสดงตำแหน่งของการวางวัตถุระเบิด 3 ตำแหน่งที่ (1) ขอบล่างซ้าย (2) กึ่งกลาง (3) ขอบขวาบน ของกระเบื้องเดินทาง

4.4.3 กรณีที่บรรจุห้องวัตถุระเบิดและของใช้ประจำวัน

เพื่อเป็นการตรวจสอบว่าฟลักซ์ของรังสีแกนมาที่จำลองได้ในหัววัดรังสีแกนมาจะเปลี่ยนแปลงไปหรือไม่ ถ้าบรรจุห้องสิ่งของอื่น ๆ ปะปนไปกับวัตถุระเบิด เราจึงบรรจุผ้าใบหนาและผ้าขนสัตว์ปะปนไว้กับ C-4 จึงเป็นเสมือนหนึ่งว่ามีการซุกซ่อนวัตถุระเบิดไว้ภายในได้วัสดุเหล่านี้ โดยให้ C-4 อยู่ที่ขอบล่างซ้ายของกระเบื้อง และมีผ้าขนสัตว์หรือผ้าใบหนาล้อมรอบ ดังแสดงในรูปที่ 4.6



รูปที่ 4.6 กระเบื้องเดินทางที่บรรจุผ้าใบหนาหรือผ้าขนสัตว์ไว้ล้อมรอบ C-4 ขนาดใหญ่หรือขนาดกลางซึ่งอยู่ที่ขอบล่างซ้ายของกระเบื้อง

4.5 ข้อมูลป้อนเข้าสำหรับการจำลองด้วยโปรแกรม MCNP

ในการวิจัยครั้งนี้มีกรณีของการจำลองด้วยโปรแกรม MCNP เป็นจำนวนมากจึงไม่สามารถแสดงข้อมูลป้อนเข้า (input data) สำหรับการจำลองได้ทุกรูปนิ แต่ได้แสดงตัวอย่างของข้อมูลดังกล่าว ให้คุณพิจารณา 1 ตัวอย่างซึ่งเป็นข้อมูลป้อนเข้าของกรณีที่บรรจุ C-4 ขนาดใหญ่เพียงอย่างเดียวไว้ที่ตำแหน่งของขอบล่างซ้ายของกระเบื้องเดินทางค้างแสดงในตารางที่ 4.1 ในความเป็นจริงในกระเบื้องเดินทางไม่ได้มีเฉพาะวัตถุระเบิด C-4 เท่านั้นแต่มีอาการซึ่งมีในโตรเจนเป็นองค์ประกอบอยู่ล้อมรอบวัตถุระเบิดด้วย

ตาราง 4.1 ข้อมูลป้อนเข้า (input data) สำหรับการจำลองด้วยโปรแกรม MCNP ในกรณีที่บรรจุ เนพะ C-4 ขนาดใหญ่ไว้ที่ตำแหน่งขอบล่างซ้ายของกระเบื้องเดินทาง

Explosive on left bottom D#1.1

```

1 1 -1.83 1 -2 3 -4 5 -6 imp:n,p=1 $ C-4
2 2 -0.0013 50 -51 52 -53 54 -55 #1 imp:n,p=1 $ Bag (Air)
3 2 -0.0013 101 -102 104 -105 107 -108 #1 #2 #11
    imp:n,p=1 $ Air
4 3 -1.19 106 -109 100 -103 104 -105
    #1 #2 #3
    #5 #6 #7 #8 #9 #10 #11 imp:n,p=1
5 4 -3.670 108 -109 -200 imp:n,p=1 $ detector
6 4 -3.670 108 -109 -201 imp:n,p=1 $ "
7 4 -3.670 108 -109 -202 imp:n,p=1 $ "
8 4 -3.670 108 -109 -203 imp:n,p=1 $ "
9 4 -3.670 108 -109 -204 imp:n,p=1 $ "
10 4 -3.670 108 -109 -205 imp:n,p=1 $ "
11 2 -0.0013 -235 245 -250 imp:n,p=1 $Source
12 0 -300 (-104:103:105:-100:-106:109)
    #5 #6 #7 #8 #9 #10 imp:n,p=1
13 0 300 imp:n,p=0

```

c C-4

1 pz -25

2 pz -10

3 py -2.5

4 py 12.5

5 px -5

6 px 5

c Bag

50 pz -25

51 pz 5

52 py -2.5

53 py 40

54 px -5

55 px 5

c Shielding

100 pz -45

101 pz -30

102 pz 30

103 pz 45

104 py -40

105 py 40

106 px -35

107 px -20

108 px 20

109 px 35

c Detector
200 c/x 0 -22.5 2.49
201 c/x 0 -17.5 2.49
202 c/x 0 -12.5 2.49
203 c/x 0 -7.5 2.49
204 c/x 0 -2.5 2.49
205 c/x 0 2.5 2.49
c Source Housing
235 pz -25
245 pz -33.3
250 cz 1.3
c Sphere
300 so 100

mode n p

c MATERIAL SPECIFICATION

m1 8016 6 6012 4 7014 6 1001 6 \$ C-4
c m1 7014 1
m2 8016 -0.000301 7014 -0.000976 \$air
c m2 082207 -1 \$Lead
m3 1001 -2.97 6012 -17.79 5010 -9.93 \$Borated Polyethylene
m4 11023 0.4995 53127 0.4995 \$ NaI detector 81000 0.001

c SOURCE SPECIFICATION

sdef sur=101 pos= 0 0 -25.05 rad=d1 dir=1 erg 2.5e-8 par=1
si1 1.3

c TALLY SPECIFICATION

f4:p 5
f24:p 6
f34:p 7
f44:p 8
f54:p 9
f64:p 10
e0 0 .001 .1 1 9 180i 12
nps100000000

4.6 ข้อมูลผลลัพธ์การจำลองด้วยโปรแกรม MCNP

เนื่องจากข้อมูลผลลัพธ์ (output data) จากการจำลอง โดยโปรแกรม MCNP สำหรับการจำลองในแต่ละกรณีนั้นประกอบด้วยข้อมูลตามราย ดังนั้นจึงไม่สามารถนำมาแสดงไว้ในรายงานนี้ได้เพียงแต่จะสรุปข้อมูลดังกล่าวในรูปของตารางเท่านั้น ตาราง 4.2 เป็นข้อมูลผลลัพธ์จากการจำลองในกรณีที่บรรจุผ้าไหม พืชชนิดตัวและผ้าใบในคอนไวนิคเดินทาง ข้อมูลในตารางนี้คือค่าฟลักซ์ของรังสี gamma ที่เกิดจากใน โครงเรนเมื่อถูกกีนิวตรอนอุณหภูมิและตรวจจับ ได้ด้วยหัววัดรังสี gamma แต่ละหัววัด (หัววัดที่ 1 - 6) เมื่อหัววัดเหล่านั้นวางอยู่ในตำแหน่งของตอน (section) ที่ 1 - 9 ของกระเบื้องเดินทาง ดังนั้นข้อมูลในคอนตั้นน์ที่ 2 ก็คือผลลัพธ์จากการจำลองเมื่อระบบหัววัดอยู่ในตำแหน่งของตอนที่ 2 และข้อมูลในคอนตั้นน์ที่ 3 - 9 ก็คือผลลัพธ์จากการจำลองเมื่อระบบหัววัดอยู่ในตำแหน่งของตอนที่ 3 - 9 ตามลำดับ ค่าฟลักซ์ของแต่ละหัววัดในคอนตั้นน์เหล่านี้คือค่าที่เกิดขึ้นต่อจำนวนอนุภาคนิวตรอนที่ใช้ในการจำลอง 1 อนุภาค โดยที่จำนวนอนุภาคนิวตรอนทั้งหมดที่ใช้ในการจำลองคือ 100 ล้านอนุภาค

รายการตารางข้างล่างนี้เป็นหมายเลขอ้างของข้อมูลผลลัพธ์และการบรรจุวัสดุในกระเบื้องเดินทางของแต่ละตาราง

ตารางหมายเลข	รายการการบรรจุวัสดุในกระเบื้องเดินทาง
4.2	บรรจุผ้าไหม พืชชนิดตัวและใบในคอนในกระเบื้องเดินทาง
4.3	บรรจุ C-4 ขนาดใหญ่ไว้ที่ขอบล่างซ้ายของกระเบื้องเดินทาง
4.4	บรรจุ C-4 ขนาดกลางไว้ที่ขอบล่างซ้ายของกระเบื้องเดินทาง
4.5	บรรจุ C-4 ขนาดกลางไว้ที่กึ่งกลางของกระเบื้องเดินทาง
4.6	บรรจุ C-4 ขนาดกลางไว้ที่ขอบบนขวาของกระเบื้องเดินทาง
4.7	บรรจุ C-4 ขนาดเล็กไว้ที่กึ่งกลางของกระเบื้องเดินทาง
4.8	บรรจุ C-4 ขนาดใหญ่และผ้าไหมไว้ที่ขอบล่างซ้ายของกระเบื้องเดินทาง
4.9	บรรจุ C-4 ขนาดกลางและผ้าชนิดตัวไว้ที่ขอบล่างซ้ายของกระเบื้องเดินทาง

ตารางที่ 4.2 คุณสมบัติพิเศษจากการจัดการในกรณีที่บรรจุภัณฑ์ห้ามผ่านสต็อกเวเตะผ่านตัวแทนในกระบวนการทาง

Detector	Section								
	No.1	No.2	No.3	No.4	No.5	No.6	No.7	No.8	No.9
6	1.12E-08	1.52E-08	1.88E-08	1.78E-08	1.74E-08	1.75E-08	9.10E-09	8.25E-09	6.63E-09
5	1.52E-08	2.13E-08	2.15E-08	2.23E-08	2.29E-08	2.34E-08	1.28E-08	1.23E-08	8.81E-09
4	2.21E-08	2.73E-08	2.50E-08	2.84E-08	2.64E-08	3.12E-08	1.81E-08	1.52E-08	1.02E-08
3	2.84E-08	3.25E-08	3.27E-08	3.10E-08	3.10E-08	3.06E-08	2.04E-08	1.61E-08	1.04E-08
2	2.77E-08	3.48E-08	3.50E-08	3.86E-08	3.77E-08	3.72E-08	2.29E-08	1.92E-08	1.56E-08
1	3.07E-08	3.59E-08	3.69E-08	3.99E-08	3.82E-08	3.63E-08	1.97E-08	1.80E-08	1.35E-08

ตารางที่ 4.3 ชื่อ拿出ผลลัพธ์จากการจำลองในกรณีที่บรรจุวัตถุระเบิดขนาดใหญ่ไว้ที่ช่องบ่อทางซ้ายของกระเบื้องดินเผา

Detector	Section								
	No.1	No.2	No.3	No.4	No.5	No.6	No.7	No.8	No.9
6	2.32006E-08	2.68948E-08	2.06631E-08	4.79050E-10	6.03637E-10	5.73083E-10	5.93722E-10	5.93722E-10	7.21435E-10
5	3.02595E-08	3.56293E-08	3.12884E-08	4.13801E-10	8.28865E-10	7.90229E-10	5.46651E-10	5.42811E-10	5.42811E-10
4	3.81463E-08	4.16453E-08	3.28397E-08	6.08275E-10	9.34032E-10	3.59773E-10	5.06230E-10	5.06230E-10	3.34642E-10
3	4.40066E-08	5.06861E-08	4.16607E-08	1.04638E-09	7.45434E-10	8.18950E-10	7.03513E-10	7.03513E-10	5.09527E-10
2	4.40240E-08	5.34164E-08	4.64935E-08	8.33188E-10	1.08757E-09	1.08757E-09	1.08757E-09	1.08757E-09	1.08757E-09
1	4.28465E-08	5.37517E-08	4.50974E-08	9.77043E-10	1.33144E-09	1.26619E-09	1.26619E-09	1.26619E-09	1.26619E-09

ตารางที่ 4.4 ข้อมูลผลตัวพารามิเตอร์จากการจำลองในกรณีที่บรรจุวัตถุระเบิดบนคาดถ่วงไว้ที่ขอบถ่างช้าของกระป๋องแก๊สเดินทาง

Detector	Section								
	No.1	No.2	No.3	No.4	No.5	No.6	No.7	No.8	No.9
6	1.145E-08	7.694E-09	4.451E-10	4.451E-10	4.451E-10	4.451E-10	5.937E-10	5.937E-10	7.214E-10
5	1.484E-08	1.012E-08	7.550E-10	7.550E-10	7.902E-10	7.902E-10	5.768E-10	5.768E-10	5.768E-10
4	1.759E-08	1.266E-08	5.314E-10	5.314E-10	5.314E-10	5.314E-10	5.062E-10	5.062E-10	5.062E-10
3	1.875E-08	1.186E-08	7.035E-10						
2	2.061E-08	1.367E-08	1.088E-09						
1	2.006E-08	1.295E-08	1.068E-09	1.068E-09	1.266E-09	1.266E-09	1.266E-09	1.266E-09	1.266E-09

ตารางที่ 4.5 ชื่อชุมชนผลลัพธ์จากการจำลองในกรณีที่บรรจุตัวบุรุษเป็นมาตรฐานตามมาตรฐานที่กำหนดของระบบเป้าหมาย

Detector	Section								
	No.1	No.2	No.3	No.4	No.5	No.6	No.7	No.8	No.9
6	5.87E-10	4.45E-10	4.45E-10	4.45E-10	1.56E-08	1.06E-08	5.94E-10	5.94E-10	7.21E-10
5	8.15E-10	7.55E-10	7.55E-10	7.55E-10	2.24E-08	1.31E-08	5.47E-10	5.47E-10	5.47E-10
4	5.31E-10	5.31E-10	5.31E-10	5.31E-10	2.62E-08	1.57E-08	5.06E-10	5.06E-10	5.06E-10
3	7.04E-10	7.04E-10	7.04E-10	7.04E-10	2.73E-08	2.05E-08	7.04E-10	7.04E-10	7.04E-10
2	1.09E-09	1.09E-09	1.09E-09	1.09E-09	2.22E-08	1.88E-08	1.09E-09	1.09E-09	1.09E-09
1	1.07E-09	1.07E-09	1.07E-09	1.07E-09	1.77E-08	1.26E-08	1.27E-09	1.27E-09	1.27E-09

ตารางที่ 4.6 ข้อมูลผลลัพธ์จากการจำลองในกรณีที่บรรจุวัตถุระเบิดขนาดกลางไว้ที่บนหน้าของกระเบื้องเดินทาง

Detector	Section								
	No.1	No.2	No.3	No.4	No.5	No.6	No.7	No.8	No.9
6	5.872E-10	4.451E-10	4.451E-10	5.937E-10	5.937E-10	4.451E-10	5.937E-10	1.969E-08	2.989E-08
5	8.154E-10	7.550E-10	7.550E-10	7.550E-10	7.902E-10	7.902E-10	5.467E-10	1.533E-08	2.591E-08
4	5.314E-10	5.314E-10	5.314E-10	5.314E-10	5.314E-10	5.314E-10	5.062E-10	1.521E-08	2.280E-08
3	7.035E-10	1.135E-08	1.737E-08						
2	1.088E-09	8.752E-09	1.418E-08						
1	1.068E-09	1.068E-09	1.068E-09	1.068E-09	1.266E-09	1.266E-09	1.266E-09	7.318E-09	1.240E-08

ตารางที่ 4.7 ชั้นมุกผลลัพธ์จากการจำลองในกรณีที่ปรับรูปแบบบีบนาดาติก “วิถีทึบกัลตางของกรอบเย้าเดินทาง

Section No.5		
Detector	No-Lead	Lead
6	8.01E-09	8.202E-09
5	1.35E-08	1.065E-08
4	1.81E-08	1.100E-08
3	1.51E-08	1.377E-08
2	1.35E-08	1.362E-08
1	9.78E-09	1.096E-08

ตารางที่ 4.8 ข้อมูลผลลัพธ์จากการจำลองในกรณีที่บรรจุหินทรายในห้องท่อหุ้มวัตถุระเบิดขนาดใหญ่ไว้ที่ขอบลำชากระยะเข้าด้านทาง

Detector	Section								
	No.1	No.2	No.3	No.4	No.5	No.6	No.7	No.8	No.9
6	2.80E-08	3.59E-08	3.32E-08	2.31E-08	1.63E-08	1.58E-08	1.52E-08	1.43E-08	1.40E-08
5	4.37E-08	5.32E-08	4.63E-08	2.81E-08	2.16E-08	2.09E-08	2.03E-08	2.02E-08	1.88E-08
4	5.98E-08	6.94E-08	6.14E-08	3.70E-08	3.10E-08	2.97E-08	2.88E-08	2.79E-08	2.40E-08
3	6.76E-08	7.73E-08	7.38E-08	4.66E-08	3.38E-08	3.28E-08	3.20E-08	3.18E-08	2.50E-08
2	7.53E-08	9.08E-08	8.45E-08	5.37E-08	3.87E-08	3.72E-08	3.52E-08	3.32E-08	2.90E-08
1	7.87E-08	8.97E-08	8.22E-08	5.36E-08	4.15E-08	3.85E-08	3.70E-08	3.72E-08	2.91E-08

ตารางที่ 4.9 ข้อมูลผลลัพธ์จากการจำลองในกรณีที่บรรจุสารตัวอักษร “ว” ทุกอย่างเข้าไปเดินทาง

Detector	Section	
	No.1	No.6
6	2.61E-08	1.89E-08
5	3.80E-08	2.26E-08
4	4.46E-08	2.94E-08
3	5.38E-08	3.05E-08
2	5.83E-08	3.71E-08
1	6.48E-08	3.85E-08

บทที่ 5

การวิเคราะห์ผลการจำลองและสรุปผล

เนื่องจากค่าฟลักซ์ในตารางของข้อมูลผลลัพธ์ในบทที่ 4 นั้น เป็นค่าฟลักซ์ต่อ 1 อนุภาค นิวตรอนที่ใช้ในการจำลองและเกิดจากการจำลองโดยใช้นิวตรอนทั้งหมด 100 ล้านอนุภาค ดังนั้น ถ้า ทำการเปรียบเทียบสัดส่วนของทุกค่ากับค่าที่น้อยที่สุด (หารแต่ละค่าด้วยค่าของหัววัดรังสีที่ 4 เมื่อ ระบบหัววัดอยู่ในตำแหน่งของตอนที่ 9 ของกระเบื้องเดินทาง) ก็จะได้ตัวเลขที่แสดงถึงการกระจาย (distribution) ของจำนวนรังสีแกรมมาที่วัดได้โดยหัววัดรังสีในแต่ละตอน ตัวเลขดังกล่าวจะเป็นข้อมูล ที่บอกให้ทราบว่าหัววัดที่ 1 - 6 วัดรังสีแกรมมาได้มากน้อยแตกต่างกันเพียงใด ตัวเลขเหล่านี้จะแสดง ถึงการกระจาย (Distribution) ของจำนวนรังสีแกรมมาของหัววัดตลอดหน้าตัดค้าน้ำทึบของกระเบื้องเดินทาง ลักษณะของการกระจายของรังสีแกรมมานี้จะเป็นดัชนีที่บอกให้ทราบว่าวัสดุที่อยู่ในกระเบื้อง เป็นวัตถุระเบิดหรือของผิดกฎหมายหรือไม่

5.1 กรณีที่บรรจุเฉพาะของใช้ประจำวันในกระเบื้องเดินทาง

ตารางที่ 5.1 เกิดจากการเปรียบเทียบโดยใช้ข้อมูลผลลัพธ์จากตารางที่ 4.2 ซึ่งเป็นกรณีที่บรรจุ ผ้าใบ ผ้าขนสัตว์ และผ้าในลอนไว้ในกระเบื้อง จะสังเกตเห็นว่าลักษณะของการกระจายของจำนวน รังสีแกรมมาเป็นไปอย่างกระชับกระจาย ไม่มีบริเวณใดของกระเบื้องมีค่าของจำนวนรังสีแกรมมา แตกต่างจากบริเวณอื่น ๆ อย่างเห็นได้ชัด เพียงแต่ค่าการกระจายในแนวคิ่งของแต่ละตอนลดลงอย่าง สม่ำเสมอ

การที่การกระจายของรังสีแกรมมาเป็นไปอย่างกระชับกระจายนี้ เพราะความหนาแน่นของ ในโครงสร้างในวัสดุทั้ง 3 นั้นมีค่าใกล้เคียงกัน ทำให้จำนวนนิวเคลียสของธาตุในตอนเงินที่มีโอกาส เกิดอันตรกิริยากับนิวตรอนอุณหภูมิจำนวนใกล้เคียงกัน การกระจายของรังสีจำนวนแกรมมาใน ลักษณะนี้แสดงว่าวัสดุที่อยู่ในกระเบื้องเดินทางนั้นไม่ใช้วัตถุระเบิด

ตารางที่ 5.1 การเปรียบเทียบจำนวนรังสีแกรมมาที่วัดได้โดยหัววัดรังสีที่ 1 - 6 ในกรณีที่บรรจุผ้าไหม
ผ้าขนสัตว์และผ้าในลอนไว้ในกระเบื้องเดินทาง

Detector	Section								
	No.1	No.2	No.3	No.4	No.5	No.6	No.7	No.8	No.9
6	37	53	57	57	55	56	57	52	42
5	50	67	67	71	67	65	68	66	56
4	62	78	83	88	86	83	83	85	72
3	69	86	88	91	94	94	92	88	75
2	83	98	114	116	112	110	107	104	87
1	90	110	111	118	117	118	113	114	87

5.2 กรณีที่บรรจุเฉพาะวัตถุระเบิดในกระเบื้องเดินทาง

5.2.1 เมื่อวัตถุระเบิดขนาดใหญ่ไว้ที่ขอบล่างซ้ายของกระเบื้องเดินทาง

ตารางที่ 5.2 เป็นการเปรียบเทียบโดยใช้ข้อมูลผลลัพธ์จากตารางที่ 4.2 ซึ่งเป็นกรณีที่บรรจุ C-4 ไว้ที่ขอบล่างซ้ายของกระเบื้องเดินทาง จะสังเกตเห็นว่าค่าจำนวนรังสีแกรมมามากจะสูงที่สุดเมื่อหัววัดอยู่ในตำแหน่งของตอนที่ 1 2 และ 3 ของกระเบื้องเดินทาง ทั้งนี้ เพราะตำแหน่งของตอนที่ 1 2 และ 3 เป็นตำแหน่งที่วัตถุระเบิด C-4 วางอยู่ (ตำแหน่งอื่น ๆ ของกระเบื้องนั้นเป็นอากาศ) และเนื่องจากวัตถุระเบิดนี้มีค่าความหนาแน่นของในโทรศัพท์สูงกว่าอากาศ จึงทำให้มีโอกาสเกิดอันตรายมากขึ้น นิวตรอนอุณหภูมแท็วทำให้เกิดรังสีแกรมมาที่มีพลังงาน 10.8 MeV สูงกว่า ส่วนในตอนที่ 4 - 9 นั้น จะมีค่าจำนวนของรังสีแกรมมาที่วัดได้โดยหัววัดต่าง ๆ ใกล้เคียงกันและน้อยมากเมื่อเทียบกับตอนที่ 1 2 และ 3

นอกจากนี้จะเห็นว่าการกระจายของจำนวนรังสีแกรมมาในหัววัดแต่ละหัววัดในแนวคิ่ง ในตอนที่ 1 2 และ 3 จะไม่สม่ำเสมอ โดยหัววัดที่ 1 2 และ 3 จะมีค่าสูงสุดและลดลงกลับไปในหัววัดที่ 4-6 ทั้งนี้ เพราะเหตุว่า หัววัดที่ 1 2 และ 3 อยู่ใกล้กับตำแหน่งที่วางวัตถุระเบิดมากที่สุด ดังนั้น จึงมีโอกาสตรวจจับรังสีแกรมมาที่เกิดขึ้นได้สูงที่สุด การกระจายของจำนวนรังสีแกรมมาในลักษณะนี้เป็นดัชนีชี้ให้เห็นว่าวัตถุระเบิดบรรจุอยู่ในกระเบื้องเดินทางและสามารถใช้ในการตัดสินใจได้

ตารางที่ 5.2 การเปรียบเทียบจำนวนรังสีแกรมมาที่วัดได้โดยหัววัดรังสีที่ 1 - 6 ในกรณีที่บรรจุ C-4
ขนาดใหญ่ไว้ที่ขอนล่างซ้ายของกระเบื้องเดินทาง

Detector	Section								
	No.1	No.2	No.3	No.4	No.5	No.6	No.7	No.8	No.9
6	69	80	62	1	2	2	2	2	2
5	90	106	93	1	2	2	2	2	2
4	114	124	98	2	3	1	2	2	1
3	132	151	124	3	2	2	2	2	2
2	132	160	139	2	3	3	3	3	3
1	128	161	135	3	4	4	4	4	4

5.2.2 เมื่อวงวัตถุระเบิดขนาดกลางวางไว้ที่ขอนล่างซ้ายของกระเบื้องเดินทาง

ตาราง 5-3 เป็นการเปรียบเทียบโดยใช้ข้อมูลผลลัพธ์จากตารางที่ 4.4 ซึ่งเป็นกรณีที่บรรจุหัววัตถุระเบิดขนาดกลางไว้ที่ขอนล่างซ้ายของกระเบื้องเดินทาง จะสังเกตเห็นว่ามีลักษณะการกระจายคล้ายกับการกระจายของรังสีแกรมมาในหัววัดรังสีในกรณีของหัวข้อ 5.2.1 โดยมีค่าสูงสุดเมื่อหัววัดอยู่ในตอนที่ 1 และ 2 ทั้งนี้ เพราะว่าเป็นตำแหน่งที่หัววัดอยู่ใกล้กับหัววัตถุระเบิดมากที่สุดส่วนในตอนที่ 3 - 9 นั้น จะมีค่าจำนวนรังสีแกรมมาที่วัดได้โดยหัววัดต่าง ๆ ใกล้เคียงกันและน้อยมากเมื่อเทียบกับตอนที่ 1 และ 2 ในทำนองเดียวกันกับกรณีของหัวข้อ 5.2.1 การกระจายของรังสีแกรมมาในหัววัดรังสีตามแนวคือจะมีค่าสูงสุดในหัววัดที่ 1 และ 2 ทั้งนี้ เพราะตำแหน่งของหัววัดที่ 1 และ 2 อยู่ใกล้กับตำแหน่ง C-4 มากที่สุด ส่วนหัววัดที่ 3 - 6 นั้นจะมีค่าลดหลั่นกันลงไป สิ่งหนึ่งที่แตกต่างจากกรณีของหัวข้อที่ 5.2.1 คือ ขนาดของจำนวนรังสีในแต่ละหัววัดคล่องประมวลครึ่งหนึ่ง ซึ่งเป็นการสะท้อนถึงขนาดของวัตถุระเบิด C-4 ที่ลดลง การจำลองในกรณีนี้แสดงให้เห็นว่าเมื่อลดขนาดของวัตถุระเบิดลงเป็น 219.6 g ก็ยังสามารถตรวจได้ว่ามีวัตถุระเบิดบรรจุในกระเบื้อง

ตารางที่ 5.3 การเปรียบเทียบจำนวนรังสีแกรมมาที่วัดได้โดยหัววัดรังสีที่ 1 - 6 ในกรณีที่บรรจุ C-4
ขนาดกล่องไว้ที่ขอบล่างซ้ายของกระเบื้องเดินทาง

Detector	Section								
	No.1	No.2	No.3	No.4	No.5	No.6	No.7	No.8	No.9
6	34	23	1	1	1	1	2	2	2
5	44	30	2	2	2	2	2	2	2
4	53	38	2	2	2	2	2	2	2
3	56	35	2	2	2	2	2	2	2
2	62	41	3	3	3	3	3	3	3
1	60	39	3	3	4	4	4	4	4

5.2.3 เมื่อวัดคุณภาพน้ำดื่มในกระเบื้องเดินทางไว้ที่กึ่งกลางของกระเบื้องเดินทาง

ตารางที่ 5.4 เป็นการเปรียบเทียบโดยใช้ข้อมูลผลลัพธ์จากตารางที่ 4.5 ซึ่งเป็นกรณีที่บรรจุ C-4 ขนาดกล่องไว้ที่ตำแหน่งกึ่งกลางกระเบื้องเดินทางเห็นว่ามีการกระจายในลักษณะคล้ายกันกับกรณีของหัวข้อ 5.2.1 และ 5.2.2 คร่าวนี้ค่าจำนวนรังสีแกรมมาที่สูงที่สุดจะอยู่ที่ตำแหน่งของตอนที่ 5 และ 6 ของกระเบื้องเดินทาง ทั้งนี้เพราะตำแหน่งของหัววัดเหล่านี้อยู่ใกล้กับตำแหน่งของ C-4 มากที่สุด ส่วนการกระจายของรังสีแกรมมาในแนวตั้งของหัววัดในตอนที่ 5 และ 6 นี้ จะมีค่าสูงสุดที่หัววัดที่ 3 และ 4 เนื่องจากเป็นหัววัดที่อยู่ใกล้กับมากที่สุด ส่วนหัววัดที่ 2 - 1 และ 5 - 6 นั้นจะมีค่าลดหลั่นกันลงไป ด้วยเหตุผลเดียวกันกับกรณีที่ผ่านมา การกระจายของรังสีแกรมมาในลักษณะนี้เป็นดังนี้ซึ่งให้เห็นว่ามีคุณภาพเบ็ดเตล็ดในกระเบื้องเดินทางและบอกตำแหน่งของวัตถุระเบิดอย่างคร่าวๆ ได้ด้วย

ตารางที่ 5.4 การเปรียบเทียบจำนวนรังสีแกรมมาที่วัดได้โดยหัววัดรังสีที่ 1 - 6 ในกรณีที่บรรจุ C-4 ขนาดกลาง ไว้ที่กึ่งกลางของกระป๋าเดินทาง

Detector	Section								
	No.1	No.2	No.3	No.4	No.5	No.6	No.7	No.8	No.9
6	2	1	1	1	46	32	2	2	2
5	2	2	2	2	67	39	2	2	2
4	2	2	2	2	78	47	2	2	2
3	2	2	2	2	82	61	2	2	2
2	3	3	3	3	66	56	3	3	3
1	3	3	3	3	53	38	4	4	4

5.2.4 เมื่อวางวัตถุระเบิดขนาดกลางวางไว้ที่ขอบขวนของกระป๋าเดินทาง

ตารางที่ 5.5 เป็นการเปรียบเทียบโดยใช้ข้อมูลผลลัพธ์จากตารางที่ 4.6 ซึ่งเป็นกรณีที่บรรจุ C-4 ขนาดกลาง ไว้ที่ขอบขวนของกระป๋า จะเห็นว่ามีการกระจายของรังสีแกรมมากถ้าหากในกรณีของหัวข้อ 5.2.1 - 5.2.3 คราวนี้ค่าจำนวนรังสีแกรมมาที่สูงที่สุดจะอยู่ที่ตำแหน่งของตอนที่ 8 และ 9 ของกระป๋าเดินทาง ทั้งนี้ เพราะตำแหน่งของหัววัดเหล่านี้อยู่ใกล้กับตำแหน่งของ C-4 มากที่สุด ส่วนการกระจายของจำนวนรังสีแกรมมาในแนวคิ่งของหัววัดในตำแหน่งของตอนที่ 8 และ 9 นี้จะมีค่าสูงสุดที่หัววัดที่ 5 และ 6 เนื่องจากเป็นหัววัดที่อยู่ใกล้กับหัววัดที่ 4 - 1 จะมีค่าลดหลั่นกันลงไป

ตารางที่ 5.5 การเปรียบเทียบจำนวนรังสีแกรมมาที่วัดได้โดยหัววัดรังสีที่ 1 - 6 ในกรณีที่บรรจุ C-4
ขนาดกลาง ไว้ที่ขอบขวางของกระเบื้องเดินทาง

Detector	Section								
	No.1	No.2	No.3	No.4	No.5	No.6	No.7	No.8	No.9
6	2	1	1	2	2	1	2	59	89
5	2	2	2	2	2	2	2	46	77
4	2	2	2	2	2	2	2	45	68
3	2	2	2	2	2	2	2	34	52
2	3	3	3	3	3	3	3	26	42
1	3	3	3	3	4	4	4	22	37

5.2.5 เมื่อวางวัตถุระเบิดขนาดเล็กไว้ที่กึ่งกลางของกระเบื้องเดินทาง

ตารางที่ 5.6 เป็นการเปรียบเทียบโดยใช้ข้อมูลผลลัพธ์จากตารางที่ 4.7 ซึ่งเป็นกรณีที่บรรจุวัตถุระเบิดขนาดเล็ก (15.6 g) ไว้ในกระเบื้องเดินทาง คอลัมน์ที่ 2 เป็นผลลัพธ์ของกรณีที่ระบบหัววัดรังสีอยู่ในตำแหน่งของตอนที่ 5 ซึ่งเป็นตอนที่วาง C-4 ไว้สำหรับตอนอื่น ๆ นั้น (1 - 4 และ 6 - 9) เราไม่ได้ทำการจำลองเนื่องจากได้เห็นประจักษ์แล้ว (จากหัวข้อ 5.2.1 - 5.2.4) ว่าตอนไม่มีวัตถุระเบิดวางอยู่จะมีค่าจำนวนรังสีแกรมมาในหัววัดต่ำ ดังนั้นค่าที่ปรากฏในตอนที่ 5 นี้จึงควรเป็นค่าการกระจายของจำนวนรังสีสูงที่สุด ส่วนค่าการกระจายของรังสีแกรมมาในหัววัดในแนวตั้งควรมีค่าสูงสุดในหัววัดที่ 3 และ 4 และที่เป็นเช่นนั้นจริงๆ ดังปรากฏในตาราง ผลลัพธ์ในคอลัมน์ที่ 3 นั้น เป็นกรณีที่ใส่แผ่นตะกั่วขนาด $5 \times 5 \times 0.5$ ซม.³ กันระหว่างแหล่งกำเนิดนิวตรอนกับ C-4 ผลลัพธ์ของกรณีนี้ลักษณะคล้ายกับกรณีที่ไม่มีแผ่นตะกั่วกัน การจำลองในหัวข้อนี้ได้ข้อสรุปที่มีนัยสำคัญเพื่อเดินขึ้นมา 2 ประการคือ 1. ระบบสามารถตรวจสอบวัตถุระเบิดขนาดเล็ก ๆ ได้ (15.6 g) และ 2. ระบบสามารถตรวจจับวัตถุระเบิดที่ซุกซ่อนในโลหะ (ตะกั่ว) ได้

ตารางที่ 5.6 การเปรียบเทียบจำนวนรังสีแกรมนาที่วัดได้โดยหัววัดรังสีที่ 1 - 6 ในกรณีที่บรรจุ C-4 ขนาดเล็กไว้ที่ตำแหน่งกึ่งกลางของกระเบื้องเดินทาง

Detector	Section No.5	
	No-Lead	Lead
6	24	25
5	40	32
4	54	33
3	45	41
2	40	41
1	29	33

5.3 กรณีที่บรรจุวัตถุระเบิดและของใช้ประจำวันในกระเบื้องเดินทาง

จากหัวข้อที่ 5.2 เรายพบว่าถ้าบรรจุเฉพาะวัตถุระเบิดไว้ในบริเวณโดยบริเวณหนึ่งของกระเบื้องเดินทาง โดยบริเวณที่เหลือเป็นอากาศนั้น ระบบตรวจวัตถุระเบิดและของผิดกฎหมายที่ใช้เทคโนโลยี TNA จะสามารถวิเคราะห์ได้ว่ากระเบื้องเดินทางนั้นมีวัตถุระเบิดบรรจุอยู่หรือไม่ ในหัวข้อนี้เราต้องการทดสอบว่าถ้าบรรจุของใช้ประจำวัน เช่น ผ้าใบหรือผ้าขนสัตว์ปะปนไว้กับวัตถุระเบิดระบบดังกล่าวจะสามารถวิเคราะห์ได้เช่นเดียวกันหรือไม่ ดังนั้นหัวข้อต่อไปนี้จะเป็นกรณีการทดสอบดังกล่าว

5.3.1 เมื่อวางวัตถุระเบิดขนาดใหญ่กับผ้าใบไว้ที่ขอบซ้ายล่างของกระเบื้องเดินทาง

ตารางที่ 5.7 เป็นการเปรียบเทียบโดยใช้ข้อมูลผลลัพธ์จากตารางที่ 4.8 ซึ่งเป็นกรณีที่บรรจุ C-4 ขนาดใหญ่ไว้ที่ขอบล่างซ้ายของกระเบื้องเดินทางและส่วนที่เหลือของกระเบื้องเป็นผ้าใบ จะสังเกตเห็นว่าจำนวนรังสีแกรมมากของหัววัดรังสีในตอนที่ 1 - 3 จะมีค่าสูงเกินเป็น 2 เท่าของจำนวนรังสีในหัววัดเดียวกันที่อยู่ในตอนที่ 4 - 9 ทั้งนี้ เพราะเหตุว่า C-4 วางอยู่ในตำแหน่งของตอนที่ 1 - 3 ของกระเบื้องเดินทาง ดังนั้นในบริเวณนี้จึงมีความหนาแน่นของในตอนแรกสูงกว่าบริเวณอื่น ๆ จึงทำให้เกิดอันตราริบາที่ให้รังสีแกรมพลังงาน 10.8 MeV มากกว่าบริเวณอื่น ๆ ดังนั้นจึงอาจสรุปได้ว่าถึงแม้จะมีของใช้ประจำวันปนอยู่กับ C-4 ระบบก็ยังสามารถวิเคราะห์ได้ว่ากระเบื้องบรรจุวัตถุระเบิดหรือไม่

ตารางที่ 5.7 การเปรียบเทียบจำนวนรังสีแกรมมาที่วัดได้โดยหัววัดรังสีที่ 1 - 6 ในกรณีที่บรรจุ C-4 ขนาดใหญ่กับผ้าใบใหม่ไว้ที่ขอบล่างซ้ายของกระเบื้องเดินทาง

Detector	Section								
	No.1	No.2	No.3	No.4	No.5	No.6	No.7	No.8	No.9
6	84	107	99	69	49	47	45	43	42
5	131	159	138	84	65	62	61	60	56
4	179	208	184	111	93	89	86	83	72
3	202	231	221	139	101	98	96	95	75
2	225	271	252	160	116	111	105	99	87
1	235	268	246	160	124	115	111	111	87

5.3.2 เพื่อวัดอัตราเบิดขนาดกลางกับผ้าใบสัตว์ไว้ขอบล่างซ้ายของกระเบื้องเดินทาง

เพื่อเป็นการทดสอบว่าถ้าเปลี่ยนผ้าใบมาเป็นผ้าใบสัตว์ และลดขนาดของวัตถุระเบิดให้เล็กลงระบบจะสามารถตรวจพบวัตถุระเบิดหรือไม่ เราจึงนำผ้าใบสัตว์มาแทนผ้าใบและลดขนาด C-4 ลงให้เป็นขนาดกลาง (219.6 g) ผลการจำลองปรากฏดังตาราง 5.8 ซึ่งได้มามากการเปรียบเทียบโดยใช้ข้อมูลผลลัพธ์จากตาราง 4.9 ในกรณีนี้เราทำการจำลองเฉพาะกรณีที่ระบบหัววัดรังสีอยู่ในตำแหน่งของตอนที่ 1 และ 6 เท่านั้น ทั้งนี้เราได้ประจักษ์จากการณีของหัวข้อที่ 5.3.1 แล้วว่าผลลัพธ์ของตอนที่ 2 จะคล้ายกับตอนที่ 1 และตอนที่ 3 - 5 และ 7 - 9 จะคล้ายกับตอนที่ 6 ดังนั้น เมื่อทำการเปรียบเทียบการกระจายของจำนวนรังสีแกรมมาในตอนที่ 1 กับตอนที่ 6 ก็เพียงพอสำหรับการวิเคราะห์ดังปรากฏในตาราง 5.8 นั้นเราจะเห็นว่าจำนวนรังสีแกรมมากของหัววัดรังสีในตอนที่ 1 มีค่าเกือบเป็น 2 เท่าของจำนวนรังสีแกรมมากของหัววัดรังสีในตอนที่ 6 เป็นที่น่าสังเกตว่าค่าจำนวนรังสีแกรมมากของหัววัดในตอนที่ 6 ก็มีขนาดใกล้เคียงกับค่าจำนวนรังสีแกรมมากของหัววัดในกรณีที่บรรจุผ้าใบ ผ้าใบสัตว์และผ้าใบล่อนในกระเบื้องเดินทาง (ดูหัวข้อที่ 5.1 ตาราง 5.1 ตอนที่ 4 - 6 ซึ่งเป็นตอนที่บรรจุผ้าใบสัตว์ไว้ในกระเบื้องเดินทาง) ดังนั้นย้อนสรุปได้ว่ามีวัตถุระเบิด C-4 บรรจุในกระเบื้องเดินทางในตำแหน่งของตอนที่ 1 - 2 โดยอยู่ใกล้กับหัววัดรังสีที่ 1 และ 2

ตารางที่ 5.8 การเปรียบเทียบจำนวนรังสีแกรมมาที่วัดได้โดยหัววัดรังสีที่ 1 - 6 ในกรณีที่บรรจุ C-4 ขนาดกลางกับผ้าใบไว้ที่ขอบล่างซ้ายของกระเบื้องเดินทาง

Detector	Section	
	No.1	No.6
6	78	56
5	113	68
4	133	88
3	161	91
2	174	111
1	194	115

5.4 สรุปผล

เนื่องจากการวิจัยครั้งนี้มีวัตถุประสงค์เพื่อทำการศึกษา 2 ประการ ดัง ได้แก่ ลำวิธีในตอนท้ายของบทที่ 1 ดังนั้น จึงขอสรุปผลการวิจัยครั้งนี้ ดังต่อไปนี้

5.4.1 พัฒนาการและชนิดของเทคโนโลยีที่ใช้ในการตรวจวัดอุตสาหกรรมเบิดและของผิดกฎหมาย

ในปัจจุบันนี้มีเทคโนโลยีที่ใช้ในระบบตรวจวัดอุตสาหกรรมเบิดและของผิดกฎหมาย 2 ชนิด คือ ชนิดที่ไม่ใช้เทคโนโลยีทางนิวเคลียร์และชนิดที่ใช้เทคโนโลยีทางนิวเคลียร์ โดยแต่ละชนิดก็มีหลักประเภท ซึ่งมีรายละเอียดของแต่ละประเภทดังปรากฏในบทที่ 2 และ 3 ระบบตรวจวัดอุตสาหกรรมเบิดและของผิดกฎหมายชนิดที่ไม่ใช้เทคโนโลยีทางนิวเคลียร์นั้นจะมีข้อดีที่มีราคาถูก มีขนาดเล็กและมีทั้งแบบที่เคลื่อนที่ได้และติดตั้งอยู่กับที่ ไม่ค่อยมีปัญหาในเรื่องของอันตรายจากรังสี แต่ก็มีข้อเสียที่มีข้อจำกัดในการด้านการตรวจวัดอุตสาหกรรมเบิดที่มีขนาดเล็ก หรือคัดแปลงรูปทรงให้เป็นแผ่นบาง ๆ รวมทั้งไม่สามารถทำให้เป็นระบบที่ทำการตรวจแบบอัตโนมัติได้ (ต้องอาศัยผู้ควบคุม) ทั้งนี้ เพราะเหตุว่าระบบตรวจวัดอุตสาหกรรมเบิดและของผิดกฎหมายชนิดนี้ใช้หลักการการตรวจหาส่วนประกอบของวัตถุเบิดโดยไม่ได้ตรวจหาเนื้อวัตถุเบิดจริง ๆ ดังนั้นจึงมีโอกาสตรวจพลาดได้ง่ายหรือมีอัตราของการตรวจพบ (detection rate) ต่ำ

ในกรณีของระบบตรวจวัดอุตสาหกรรมเบิดและของผิดกฎหมายที่ใช้เทคโนโลยีทางนิวเคลียร์นั้น จะมีข้อดีที่สามารถตรวจวัดอุตสาหกรรมเบิดได้ทุกชนิด ทั้งนี้ เพราะใช้หลักการตรวจหาเนื้อวัตถุเบิดจริง ๆ นอกจากนี้ยังสามารถใช้ตรวจวัสดุที่มีขนาดใหญ่ ๆ เช่น ใช้ตรวจของที่บรรจุในถุงสินค้าหรือบรรจุภัณฑ์ในรถบรรทุกขนาดใหญ่ได้ แต่ระบบนี้จะมีข้อเสียที่มีราคาแพง ขนาดใหญ่ และมีอัตราของการตรวจพบมากกว่า

5.4.2 ความเป็นไปไดของการใช้เทคโนโลยีทางนิวเคลียร์ในการตรวจวัดอุรูระเบิดและของผิดกฎหมาย

ดังได้กล่าวมาแล้วในหัวข้อที่ 3.2 ว่าเทคโนโลยีทางนิวเคลียร์ที่ใช้ในระบบตรวจวัดอุรูระเบิด และของผิดกฎหมายนั้นมี 2 ประเภท คือประเภทที่ใช้รังสีแกมมาและประเภทที่ใช้อุปกรณ์นิวตรอน ในการวิจัยครั้งนี้เราสนใจที่จะศึกษาถึงความเป็นไปไดของการใช้ระบบตรวจวัดอุรูระเบิดและของผิดกฎหมายประเภทที่ใช้อุปกรณ์นิวตรอน จึงเลือกเทคโนโลยี TNA เป็นแบบของการจำลองด้วยโปรแกรมคอมพิวเตอร์ MCNP ทั้งนี้ เพราะเทคโนโลยีนี้มีประสิทธิภาพในการตรวจสูงและไม่ซับซ้อน การจำลองดังกล่าวได้ใช้การทดลองของระบบตรวจระเบิดเดินทางของ J. Bartko and F.H. Ruddy จาก Westing house Science & Technology Center เป็นต้นแบบ ซึ่งได้ผลของการจำลอง สอดคล้องกับการทดลองดังกล่าว ความสอดคล้องนี้คือการจำลองแสดงให้เห็นว่าเทคโนโลยี TNA สามารถตรวจหาวัตถุระเบิดในระยะเดินทางได้

ความสอดคล้องนี้มี 2 ประเด็นคือ 1 สามารถบอกได้ว่ามีวัตถุระเบิดบรรจุอยู่ในสิ่งที่นำมาตรวจสอบ และ 2 สามารถบอกตำแหน่งของวัตถุระเบิดที่บรรจุในสิ่งนั้น ดังนั้นจึงอาจสรุปได้ว่ามีความเป็นไปได้ที่จะใช้เทคโนโลยี TNA ในการตรวจวัดอุรูระเบิดและของผิดกฎหมาย และควรทำการศึกษาเพิ่มเติมเพื่อนำไปสู่การพัฒนาระบบตรวจวัดอุรูระเบิดและของผิดกฎหมายที่ใช้เทคโนโลยี TNA อย่างไรก็ตามในการจำลองครั้งนี้ ใช้อุปกรณ์นิวตรอนอุณหภูมิซึ่งไม่ตรงกับเงื่อนไขที่ใช้ในการทดลองของ J. Bartko and F.H. Ruddy ดังนั้นจึงอาจเป็นประโยชน์ด้านการทำการจำลองโดยใช้อุปกรณ์นิวตรอนพลังงานสูงในโอกาสต่อไป

บรรณานุกรม

- (1) คณะกรรมการป้องกันและปราบปรามยาเสพติด, สำนักงาน. สำนักป้องกันและปราบปรามยาเสพติด. รายงานสรุปผลการป้องกันและปราบปรามยาเสพติดทั่วประเทศประจำปี พ.ศ. 2543. หน้า 77.
- (2) คณะกรรมการป้องกันและปราบปรามยาเสพติด, สำนักงาน. สำนักป้องกันและปราบปรามยาเสพติด. รายงานสรุปผลการป้องกันและปราบปรามยาเสพติดทั่วประเทศประจำปี พ.ศ. 2543. หน้า 2.
- (3) Landmine Survivors Network: <http://www.landminesurvivors.org/heritage/landmines.php>
- (4) Michael C. Smith and Roger L. Hoopengardner. Science Application International Corporation (1992). A system Approach to The Explosive Detection Problem. In Tsahi Gozani. Advanced Technology For Contraband Detection. 31-43.
- (5) Sandia National Laboratories. (1998). Explosive Detection Equipment. In Jeremy Travis. Surrey of Commercially Available Explosives Detection Technologies and Equipment. 24-25.
- (6) Sandia National Laboratories. (1998). Explosive Detection Equipment. In Jeremy Travis. Surrey of Commercially Available Explosives Detection Technologies and Equipment. 7-13.
- (7) Sandia National Laboratories. (1998). Explosive Detection Equipment. In Jeremy Travis. Surrey of Commercially Available Explosives Detection Technologies and Equipment. 13-15.
- (8) Kristoph D. Krug and Jay A. Stein. Advanced Dual Energy X-Ray For Explosive Detection. Vivid Technology. Waltham. Ma. (private communication)
- (9) Steven W. Smith. Ph.D. IRT Corporation. Detection of Objects Concealed Under Person's Clothing Using the "Secure System". (private communication)
- (10) Gerald J. Smith. Detection Of Contraband On the Body Using X-Ray Imaging. American Science and Engineering, Inc. Billerica, Ma. (private communication)
- (11) K. W. Dulan, R. W.Ryon, D. J. Schneberly, H.E. Martz, and R.D. Rikard, Explosive Detection Limitations Using Dual-Energy Radiography and Computed Tomography. Lawrence Livermore National Laboratory. (private communication)

- (12) Robert A. Armistead. (1999). Advanced X-Ray System For Non-destructive Inspection and Contraband Detection. Invited Paper SPIE Conference on Penetrating Radiation System and Application. (July 1999) SPIE Vol. 3769, 98-105.
- (13) T. J. Rayner, B. D. Thorson, S. Beevor, R. West and R. A. Krauss. (1996). Explosives Detection Using Quadrupole Resonance Analysis. Physics-Based Technology For the Detection of Contraband. Proceedings, SPIE Vol. 2936. 22-30.
- (14) Andy Buffler. Contraband Detection by Fast Neutron Scattering. Paper Present at the 2nd National Nuclear Technology Conference. NAC. South Africa. 13-15 May 2001. (private communication)
- (15) Victor V. Verbinski and Victor J. Ophan. (1996). Gamma Radiography Cargo Vehicle Scanner. Physics-Based Technology For the Detection of Contraband. Proceedings, SPIE Vol. 2936. 112-123.
- (16) T. Gozani. (1996). Inspection Technique Based On Neutron Interrogation. Physics-Based Technology For the Detection of Contraband. Proceedings, SPIE Vol. 2936. 9-20.
- (17) D. R. Brow and T. Gozani. (1996). Thermal Neutron Analysis Technologies. Physics-Based Technology For the Detection of Contraband. Proceedings, SPIE Vol. 2936. 85-94.
- (18) Sandia National Laboratories. (1998). Explosive Detection Equipment. In Jeremy Travis. Survey of Commercially Available Explosives Detection Technologies and Equipment. 19-20.
- (19) D. R. Brown A. Coats S. N. Kuo R. A. Loveman E. A. Pentaleri and J. C. Rynes. (1996). Cargo Inspection System Based on Pulsed Fast Neutron Analysis. Physics-Based Technology For the Detection of Contraband. Proceedings, SPIE Vol. 2936. 76-84.
- (20) Buffler et. al. (2001). Material Classification by Fast Neutron Scattering. Nucl. Instr. and Meth. B173 (2001). 483-502.
- (21) Miller et. al. (1996). Contraband Detection Using Neutron Transmission. Physics-Based Technology For the Detection of Contraband. Proceedings, SPIE Vol. 2936. 102-109.

- (22) Oak Ridge National Laboratory. Radiation Shielding Information Center. (1993). MCNP 4A Monte Carlo N-Particle Transport Code System. RSIC Computer Code Collection.
- (23) J. Bratko and F. H. Ruddy. A Review Of the Development Of A Luggage Explosive Detection. Westinghouse Science & Technology Center. Pittsburgh. PA. (private communication)
- (24) W. V. Nunes et. al. (2002). Explosives Detection Using Prompt-Gamma Neutron Activation and Neural Networks. Applied Radiation and Isotopes. 56 (2002). 937-943.

ประวัตินักวิจัย

ชื่อ – สกุล : พันเอก ดร. วรศิษย์ อุชัย

ตำแหน่ง : หัวหน้าสาขาวิชาพิสิกส์

วัน เดือน ปีเกิด : 9 กรกฎาคม 2492

สถานที่เกิด : จังหวัดนครพนม

วุฒิการศึกษา :

<u>ปริญญาบัตร</u>	<u>สถานศึกษา</u>	<u>ปีที่สำเร็จการศึกษา</u>
วท.บ. (ทบ.)	โรงเรียนนายร้อยพระจุลจอมเกล้า	2517
M.Sc.	Emory University (U.S.A.)	2524
Ph.D.	Emory University (U.S.A.)	2528

ประสบการณ์ :

- พ.ศ. 2517 – พ.ศ. 2520 อาจารย์กองพิสิกส์ โรงเรียนนายร้อยพระจุลจอมเกล้า
- พ.ศ. 2528 – พ.ศ. 2535 อาจารย์กองพิสิกส์ โรงเรียนนายร้อยพระจุลจอมเกล้า
- พ.ศ. 2536 – พ.ศ. 2537 ผู้จัดการแผนกวิเคราะห์ห่วงโครงการ สถานีดาวเทียมไทยคุณ
- พ.ศ. 2537 – พ.ศ. 2538 ผู้จัดการฝ่ายปฏิบัติการดาวเทียม สถานีดาวเทียมไทยคุณ
- พ.ศ. 2538 – พ.ศ. 2541 ผู้จัดการทั่วไป บริษัทกัมพูชาชินวัตร
- พ.ศ. 2541 – ปัจจุบัน อาจารย์สาขาวิชาพิสิกส์ สำนักวิชาวิทยาศาสตร์ มหาวิทยาลัยเทคโนโลยี-ศรีนาครี

ผลงานทางวิชาการ :

เขียนตำราและเอกสารประกอบการสอนไม่น้อยกว่า 8 เรื่อง
เขียนบทความทางวิชาการและงานวิจัย 5 เรื่อง